

SKRIPSI

**ANALISIS PENEMPATAN DAN KAPASITAS KAPASITOR
PADA JARINGAN DISTRIBUSI PRIMER 20 KV TYPE RADIAL
DENGAN MENGGUNAKAN METODE *HYBRID
MICROGENETIC ALGORITHMS DAN FUZZY LOGIC* DI
GI. PAKIS, MALANG**



Disusun Oleh :
ARIS DIAN S
01.12.152



**JURUSAN TEKNIK ELEKTRO S-1
KONSENTRASI TEKNIK ENERGI LISTRIK
FAKULTAS TEKNOLOGI INDUSTRI
INSTITUT TEKNOLOGI NASIONAL MALANG**

Maret 2008

બોર્ડિંગ

મુખ્યમાન દાત્રાજીની વારાણસી કૃષ્ણ
માર્ગમાં હવે એ એ સુધી રહેતું રહેતું હોયાં અને
ગ્રામીણ બોર્ડિંગ માનુષીય લાગેથી
ની જોકી યેદી વાં બનીએ તો જોકી નાના
ભાજાન જાણે છો

• શેરી જીના જીન
૩ બાળ જીન
સરજાનો

૧૫ કોણેલે આજીની પ્રાણી
સુધીની રેખાની આજીની પ્રાણી
નિર્માણ કરી રહેલી આજીની
સુધીની રેખાની આજીની પ્રાણી

અનુભૂતિ

LEMBAR PERSETUJUAN

**ANALISIS PENEMPATAN DAN KAPASITAS KAPASITOR PADA
JARINGAN DISTRIBUSI PRIMER 20 KV TYPE RADIAL DENGAN
MENGGUNAKAN METODE HYBRID MICROGENETIC ALGORITHMS
DAN FUZZY LOGIC DI GI PAKIS, MALANG**

SKRIPSI

*Disusun dan Diajukan Untuk Melengkapi dan
Memenuhi Syarat-Syarat Guna Mencapai Gelar Sarjana Teknik*

Disusun Oleh :

ARIS DIAN S

01.12.095

Mengetahui,

Ketua Jurusan Teknik Elektro



IL. F. YUDI LIMPRAPTONO, MT

NIP.Y. 1039500274

Diperiksa dan disetujui,

Dosen Pembimbing I

Ir. H. CHOIRUL SALEH, MT

NIP.Y. 1018800190

Diperiksa dan disetujui,

Dosen Pembimbing II

Ir. DJOJO PRIATMONO, MT

NIP.Y. 1018500107

**KONSENTRASI TEKNIK ENERGI LISTRIK
JURUSAN TEKNIK ELEKTRO S-1
FAKULTAS TEKNOLOGI INDUSTRI
INSTITUT TEKNOLOGI NASIONAL MALANG**

A B S T R A K S I

ANALISIS PENEMPATAN DAN KAPASITAS KAPASITOR PADA JARINGAN DISTRIBUSI PRIMER 20 KV TYPE RADIAL DENGAN MENGGUNAKAN METODE *HYBRID MICROGENETIC ALGORITHMS* *DAN FUZZY LOGIC* DI GI PAKIS, MALANG

(ARIS DIAN S, Nim 01.12.152, Teknik Elektro/T.Energi Listrik S-1)

(Dosen Pembimbing I : Ir. H. Choirul Saleh, MT)

(Dosen Pemimpin II : Ir. Djojo Priatmono, MT)

Kata Kunci : Penempatan Kapasitor, Rugi-rugi Daya, Profil Tegangan, *Microgenetic Algorithms, Fuzzy Logic*.

Dengan meningkatnya usaha di sektor industri dan meningkatnya taraf hidup masyarakat maka kebutuhan akan energi listrik semakin meningkat pula, sehingga diperlukan penyediaan energi listrik beserta jaringan dan penyaluran yang sangat baik. Bertambahnya industri-industri menyebabkan peran penggunaan alat-alat listrik akan semakin luas, misalnya motor-motor listrik, trafo, AC, lampu-lampu penerangan dan lain-lain. Beban industri sangat banyak membutuhkan daya reaktif induktif. Dengan meningkatnya beban-beban induktif, maka memperbesar komponen rugi-rugi daya, disamping itu dapat memperburuk kondisi tegangan.

Pada skripsi ini akan dibahas penyelesaian masalah perbaikan profil tegangan dan pengurangan rugi-rugi daya pada sistem distribusi primer 20 kV dengan mengkompensasi daya reaktif dengan cara penempatan kapasitor yang optimal menggunakan *Metode Hybryd Microgenetic Algorithms dan Fuzzy Logic*. Hasil yang dicapai diharapkan dapat memperbaiki kualitas sistem pendistribusian tenaga listrik yaitu rugi-rugi daya dapat direduksi dan memperbaiki profil tegangan dimana tegangan yang diijinkan berada pada batas minimum 0,95 pu dan maksimum 1,05 pu.

Dengan menggunakan data jaringan sistem distribusi 20 kV pada GI. Pakis penyulang Tumpang hasil penempatan dan kapasitas kapasitor dengan menggunakan *Metode Hybryd Microgenetic Algorithms dan Fuzzy Logic* yaitu pada bus 20 dengan kapasitas 700 kVAR , bus 38 dengan kapasitas 700 kVAR, bus 43 dengan kapasitas 600 kVAR, bus 47 dengan kapasitas 700 kVAR, bus 81 dengan kapasitas 600 kVAR dan bus 105 dengan kapasitas 800 kVAR. Tegangan terendah terjadi pada bus 121 yaitu sebesar 0,93783 pu atau 18,7566 kV setelah penempatan kapasitor dapat diperbaiki menjadi 0,96799 pu atau 19,3598 kV. Penurunan rugi daya aktif sebesar 62,2259 kW dari 201,5692 kW menjadi 139,3433 kW sedangkan rugi daya reaktif berkurang sebesar 95,1226 kVAR dari 308,1321 kVAR menjadi 213,0095 kVAR.

KATA PENGANTAR

Dengan mengucapkan puji syukur kehadirat ALLAH SWT, atas rahmat dan karunia-Nya memungkinkan penulis dapat menyelesaikan skripsi yang berjudul, **“ANALISIS PENEMPATAN KAPASITOR SHUNT PADA JARINGAN DISTRIBUSI PRIMER 20 KV TYPE RADIAL DENGAN MENGGUNAKAN METODE HYBRID MICROGENETIC ALGORITHMS DAN FUZZY LOGIC DI GI PAKIS, MALANG”**

Skripsi ini bertujuan untuk memenuhi kurikulum akademik yang harus ditempuh oleh setiap mahasiswa ITN Malang guna menyelesaikan pendidikan pada jenjang strata satu jurusan Teknik Elektro konsentrasi Teknik Energi Listrik di Institut Teknologi Nasional Malang.

Atas segala bimbingan, pengarahan dan bantuan yang diberikan, sehingga tersusunnya skripsi ini, maka penulis menyampaikan terima kasih kepada :

1. **Ir. Mochtar Asroni, MSME**, selaku Dekan FTI ITN Malang.
2. **Ir. F Yudi Limpraptono, MT**, selaku Ketua Jurusan Teknik Elektro (S1) ITN Malang.
3. **Yusuf Ismail Nakhoda, ST. MT**, selaku Sekretaris Jurusan Teknik Elektro (S1) ITN Malang.
4. **Ir. H. Choirul Saleh, MT**, selaku dosen pembimbing I.
5. **Ir. Djojo Priyatmono, MT**. selaku dosen pembimbing II.

Akhirnya penulis mengharapkan skripsi dapat berguna dan bermanfaat bagi rekan-rekan mahasiswa khususnya pada jurusan Teknik Elektro S-1 konsentrasi Teknik Energi Listrik.

Malang, Maret 2008

Penulis

DAFTAR ISI

	Halaman:
HALAMAN JUDUL	i
LEMBAR PERSETUJUAN	ii
ABSTRAKSI.....	iii
KATA PENGANTAR	iv
DAFTAR ISI.....	vi
DAFTAR GAMBAR	x
DAFTAR TABEL.....	xiii
DAFTAR GRAFIK	xiv
 BAB I PENDAHULUAN	
1.1. Latar Belakang	1
1.2. Rumusan Masalah	2
1.3. Tujuan	3
1.4. Batasan Masalah.....	3
1.5. Metodologi Penelitian	4
1.6. Sistematika Penulisan	5
 BAB II SISTEM DISTRIBUSI TENAGA LISTRIK DAN APLIKASI KAPASITOR	
2.1. Sistem Tenaga Listrik	7
2.2. Sistem Distribusi Tenaga Listrik.....	8

INTRODUCTION

Background

The study of the relationship between the environment and health has been a major concern of public health agencies for many years. In 1970, the U.S. Environmental Protection Agency (EPA) was established to protect human health and the environment from the effects of pollution. The agency has since conducted numerous studies to assess the risks associated with various environmental pollutants. One such pollutant is lead, which can have serious health effects, particularly on children. This report provides an overview of the current understanding of lead exposure and its health effects.

Definition of Lead

Lead is a heavy metal that is found in the environment in both natural and man-made sources. It is a soft, silvery metal that is malleable and ductile. Lead has a high melting point and is a good conductor of heat and electricity. It is also a potent neurotoxin, capable of causing damage to the nervous system, particularly in children. Lead can enter the body through inhalation, ingestion, or absorption through the skin.

Health Effects of Lead Exposure

Lead exposure can have a wide range of health effects, depending on the level of exposure and the duration of exposure. In children, lead exposure can cause developmental delays, learning difficulties, and behavioral problems. In adults, lead exposure can cause hypertension, kidney damage, and reproductive problems. Lead exposure can also contribute to cardiovascular disease and stroke.

2.2.1. Sistem Distribusi Primer (Jaringan Tegangan Menengah)	10
2.2.2. Sistem Distribusi Sekunder (Jaringan Tegangan Rendah).....	10
2.3. Struktur Jaringan Distribusi Tenaga Listrik	10
2.3.1. Sistem Jaringan Distribusi Radial	10
2.3.2. Sistem Jaringan Distribusi Tertutup (Loop)	12
2.3.3. Sistem Jaringan Distrionbusi <i>Mesh</i>	12
2.4. Daya Dalam Sistem Tenaga Listrik	13
2.4.1. Daya Nyata (<i>Real Power</i>)	13
2.4.2. Daya Reaktif (<i>Reaktive Power</i>).....	14
2.4.3 Daya Semu (<i>Apparentl Power</i>)	14
2.5. Daya Reaktif dan Faktor Daya.....	14
2.6. Kapasitor Daya.....	17
2.6.1. Kapasitor Seri dan Kapasitor <i>Shunt</i>	17
2.6.2. Faktor-Faktor Pemilihan Kapasitor Seri dan Kapasitor Shunt..	18
2.7. Pengaruh Pemasangan Kapasitor <i>Shunt</i>	19
2.7.1. Pengurangan Rugi-Rugi Saluran dengan Kapasitor <i>Shunt</i>	21
2.7.2. Perbaikan Tegangan	22
2.7.3. Perbaikan Faktor Daya dan Kenaikan Kapasitas Sistem	23
2.7.4. Perhitungan Pengaruh Perbaikan Faktor Daya	24
2.7.5. Penentuan Rating Kapasitor untuk Perbaikan Faktor Daya Beban	26
2.8. Sistem <i>Per-Unit</i>	27
2.9. Variasi Tegangan	28

BAB III METODE *HYBRID MICROGENETIC ALGORITHMS* DAN *FUZZY LOGIC* UNTUK MENENTUKAN LETAK DAN KAPASITAS KAPASITOR PADA JARINGAN DISTRIBUSI PRIMER 20 KV TYPE RADIAL

3.1.	Analisa Aliran Daya Jaringan Radial.....	30
3.1.1.	Tujuan	30
3.1.2.	Metode <i>Newton Raphson</i>	31
3.1.3.	<i>Flowchart</i> Algoritma Aliran Daya <i>Newton Raphson</i>	35
3.2.	Metode Penempatan Kapasitor	36
3.2.1.	<i>Microgenetic Algoritma</i>	36
3.2.2	<i>Fuzzy Logic</i>	39
3.2.3	Konsep <i>Microgenetic Algoritma</i> dan <i>Fuzzy Logic</i>	41
3.3.	Fungsi Tujuan (<i>Objective Function</i>)	42
3.4.	Algoritma Program.....	43
3.4.1	Algoritma Pemecahan Masalah.....	43
3.4.2.	Algoritma Program <i>Hybrid MGA</i> dan <i>Fuzzy Logic</i>	44
3.4.3.	<i>Flowchart</i> Program	46
3.4.3.1	<i>Flowchart</i> Algoritma Pemecahan Masalah	46
3.4.3.2 .	<i>Flowchart</i> Algoritma <i>Hybrid MGA</i> dan <i>Fuzzy Logic</i>	47

BAB IV ANALISA KAPASITAS DAN PENEMPATAN KAPASITOR PADA JARINGAN DISTRIBUSI PRIMER 20 KV PENYULANG TUMPANG, MALANG

4.1.	Analisis Penempatan Kapasitor Dengan <i>Microgenetis Algorithms</i> dan <i>Fuzzy Logic</i>	48
4.2.	Data Perhitungan	50
4.2.1.	Data Saluran	50
4.2.2.	Data Pembelahan.....	54
4.3.	Data Harga Kapasitor	58
4.4.	Analisa Perhitungan	59
4.5.	Prosedur Pelaksanaan Program Perhitungan.....	60

BAB V KESIMPULAN

5.1.	Kesimpulan	92
5.2.	Saran.....	93

DAFTAR PUSTAKA

LAMPIRAN

DAFTAR GAMBAR

Gambar :	Halaman :
2.1 Skema Penyaluran Energi Listrik.....	7
2.2. Jaringan Distribusi Tegangan Menengah (JTM), Jaringan Tegangan Rendah (JTR) dan Sambungan Rumah ke Pelanggan.....	9
2.3. Jaringan Tegangan Menengah Sistem Distribusi Radial	11
2.4. Jaringan Tegangan Menengah Struktur Loop yang dipasok dari satu sumber	12
2.5. Jaringan Tegangan Menengah Struktur <i>Mesh</i>	13
2.6. Segi Tiga Daya	15
2.7. Segi Tiga Arus.....	16
2.8. Saluran Primer Dengan Beban Tepusat	17
2.9. Kapasitor Shunt Yang Dipasang Pada Saluran	18
2.10. Vektor arus dan tegangan sebelum dan setelah pemasangan kapasitor	21
2.11. Diagram vektor pada rangkaian dengan pf <i>lagging</i> (a) dan (c) tanpa kapasitor shunt, (b) dan (d) dengan kapasitor <i>shunt</i>	22
2.12. Perbaikan Faktor Daya.....	23
2.13. Diagram Fasor dan Sudut Daya Beban Distribusi	25
3.1. <i>Flowchart</i> Aliran Daya <i>Newton Raphson</i>	35

MANAGEMENT

MANAGEMENT

Management is the process of planning, organizing, directing, and controlling resources to achieve specific goals. It involves the application of various techniques and principles to ensure the efficient and effective operation of an organization. Management is a broad field that encompasses a wide range of activities, including financial management, human resource management, marketing, and operations management.

Management is often divided into several sub-fields, each focusing on a specific aspect of the organization's operations. For example, financial management deals with the allocation and use of financial resources, while human resource management focuses on the management of people within the organization. Marketing management is concerned with the development and implementation of marketing strategies to meet customer needs and preferences. Operations management, on the other hand, deals with the efficient and effective delivery of products or services to customers.

The management process typically involves several key steps. First, management begins with planning, which involves setting clear objectives and determining the best way to achieve them. Once the plan is in place, management moves on to organizing, which involves structuring the organization's resources and responsibilities to support the plan. Next, management directs the organization's resources and activities to achieve the desired results. Finally, management controls the organization's performance by monitoring progress and making adjustments as needed to ensure that the organization remains on track.

Effective management requires a deep understanding of the organization's internal and external environment. It also requires strong leadership skills, the ability to communicate effectively, and the ability to work well with others. In addition, management must be adaptable and able to respond to changing circumstances and challenges.

In conclusion, management is a critical function of any organization. It involves the application of various techniques and principles to ensure the efficient and effective operation of an organization. By understanding the management process and its sub-fields, organizations can better manage their resources and achieve their goals.

3.2.	Input Relationship Function.....	40
3.3.	Relationship Function dari Alokasi Sensibilitas Bus	40
3.4.	Struktur Kromosom.....	42
4.1.	<i>Single Line Diagram</i> Penyalang Tumpang Sebelum Penempatan Kapasitor	49
4.2.	Tampilan Utama Program Matlab 7.0.4.....	60
4.3.	Tampilan Inputan Data (General)	61
4.4.	Tampilan Inputan Data (Data Pembebanan)	62
4.5.	Tampilan Inputan Data (Data Saluran)	63
4.6.	Tampilan Untuk Menjalankan Program.....	64
4.7.	Tampilan Hasil Untuk Mengetahui Tegangan Dan Sudut Fasa Tiap Bus Sebelum Kompensasi	65
4.8.	Tampilan Hasil Aliran Daya Untuk Daya tiap Saluran Sebelum Kompensasi	68
4.9	Tampilan Hasil Rugi Days Antar Saluran Sebelum Optimasi	72
4.10.	Tampilan Hasil Jumlah Pembangkitan, Pembebanan, Rugi-rugi Sebelum Optimasi	75
4.11.	Tampilan Hasil Penempatan Kapasitor Dengan Menggunakan Metode <i>Hybrid MGA-FUZZY LOGIC</i>	76
4.12.	Gambar Single line Diagram Penyalang Tumpang Setelah Penempatan Kapasitor.....	77
4.13.	Tampilan Hasil Untuk Mengetahui Tegangan Dan Sudut Fasa Tiap Bus Setelah Optimasi.....	78

the first time in the history of the world, a man has been able to control the forces of nature in this way. He has also shown that he can do it without any help from God. This is a very important discovery. It will change the world forever.

Now, let me tell you about the second part of the book. In the second part, the author talks about the future of the world. He says that the world is facing many problems, such as global warming, pollution, and poverty. He suggests that we should work together to solve these problems. He also says that we should respect the environment and live in harmony with nature. He believes that if we do this, the world will become a better place for everyone.

The third part of the book is about the author's personal experiences. He talks about his childhood, his education, and his work. He also describes his travels around the world and the people he met. He says that these experiences have shaped him into the person he is today.

In conclusion, "The Discovery of the Universe" is a very interesting book. It is well-written and informative. I highly recommend it to anyone who is interested in science, history, or philosophy. It is a must-read for anyone who wants to understand the world we live in.

4.14. Tampilan Hasil Aliran Daya Untuk Daya Antar Saluran Setelah Optimas	81
4.15. Tampilan Hasil Rugi Days Antar Saluran Setelah Optimasi	85
4.16. Tampilan Hasil Jumlah Pembangkitan, Pembebanan, Rugi-rugi Setelah Optimasi Menggunakan Metode <i>Hybrid MGA-FUZZY LOGIC</i>	88

DAFTAR TABEL

Tabel :	Halaman :
2-1 Pemilihan Kapasitor Seri dan Kapasitor Shunt.....	19
3-1 Hasil dari Fuzzy Rules	41
4-1 Spesifikasi Saluran	51
4-2. Data Saluran Penyulang Tumpang.....	51
4-3. Data Pembebatan Penyulang Tumpang.....	55
4-4. Harga Kapasitor	58
4-5. Tegangan dan Sudut Fasa Tiap Bus Penyulang Tumpang Sebelum Kompensasi	66
4-6. Daya Tiap Saluran Penyulang Tumpang Sebelum optimasi.....	69
4-7. Rugi Daya Tiap Saluran Penyulang Tumpang Sebelum Kompensasii....	73
4-8. Tegangan dan Sudut Fasa Tiap Bus Penyulang Tumpang Setelah Optimasi	79
4-9. Daya Tiap saluran Penyulang Tumpang Setelah Optimasi	82
4-10. Rugi Daya Tiap Saluran penyulang Tumpang Setelah Kompensasi	86
4-11. Hasil program Metode <i>Hybrid MGA-FUZZY LOGIC</i>	89

DAFTAR GRAFIK

Grafik :	Halaman :
4-1 Tegangan Tiap-tiap Bus Terhadap Asumsi Tegangan Awal, Tegangan Sebelum Dan Setelah Kompensasi.....	90
4-2 Harga Rugi Daya Sebelum Dan Sesudah Kompensasi	91

BAB I

PENDAHULUAN

1.1 LATAR BELAKANG

Bertambahnya permintaan akan kebutuhan energi listrik mengakibatkan peran penggunaan alat-alat listrik akan semakin luas, terutama dibidang industri yang sangat banyak membutuhkan daya reaktif, dalam hal ini diperlukan penyediaan energi listrik beserta jaringan dan penyalurannya yang sangat baik. Kapasitor adalah suatu peralatan listrik yang berfungsi memperbaiki faktor daya dan bisa menaikkan tegangan serta mengurangi rugi-rugi daya. Tetapi pada penempatan yang tidak optimum maka kapasitor tidak akan bekerja dengan maksimal. Jika hal ini terus berlanjut maka PT. PLN selaku produsen listrik dan masyarakat selaku konsumen akan mengalami kerugian.

Untuk mengetahui penempatan kapasitor yang optimum pada jaringan distribusi diperlukan analisis penempatan kapasitor yang optimum dan benar, pada hal ini sulit dicapai. Pada umumnya sudah banyak yang membahas tentang penempatan kapasitor dengan menggunakan metode-metode konvensional tetapi pembahasan-pambahasan yang dilakukan masih kurang dan masih dilakukan analisis yang lebih mendalam lagi.

Hal ini mendorong penulis untuk mengangkat permasalahan dengan menggunakan metode *Hybrid Microgenetic Algorithms dan Fuzzy Logic* yang dapat menjadi salah satu alternatif yang efektif untuk penempatan kapasitor shunt pada jaringan distribusi primer. Didalam skripsi ini mengemukakan suatu

pendekatan terhadap penempatan kapasitor shunt dalam sistem distribusi radial dengan menggunakan metode *Hybrid Microgenetic Algorithms dan Fuzzy Logic* ini memiliki kelebihan yaitu dapat menentukan letak dan kapasitas dari kapasitor berdasarkan dua fungsi sasaran yang dicapai yaitu dari keuntungan teknis dan keuntungan ekonomis.

1.2 RUMUSAN MASALAH

Kapasitor shunt yang dipasang pada jaringan distribusi primer dapat mengurangi rugi-rugi saluran, dengan menentukan letak dan kapasitas kapasitor yang optimal pada jaringan distribusi primer maka rugi-rugi saluran dan biaya instalasi kapasitor tersebut dapat dikurangi sehingga didapat keuntungan dari segi teknis maupun ekonomis.

Oleh karena itu pada skripsi ini akan menganalisa hal tersebut dengan suatu metode yaitu dengan menggunakan Metode *Hybrid Microgenetic Algorithms dan Fuzzy Logic*. Dari permasalahan yang timbul diatas, maka skripsi ini diberi judul :

**“ANALISIS PENEMPATAN KAPASITOR SHUNT PADA JARINGAN
DISTRIBUSI PRIMER 20 KV TYPE RADIAL DENGAN
MENGGUNAKAN METODE HYBRID MICROGENETIC ALGORITHMS
DAN FUZZY LOGIC DI GI PAKIS, MALANG”**

1.3 TUJUAN PEMBAHASAN

Tujuan penelitian ini adalah :

1. Untuk mangetahui kondisi tegangan dan rugi-rugi saluran sebelum dan sesudah kompensasi.
2. Untuk menentukan letak dan kapasitas kapasitor yang optimal.

1.4 BATASAN MASALAH

Untuk menyederhanakan masalah yang akan dibahas, maka diberikan asumsi-asumsi serta batasan-batasan sebagai berikut :

1. Jaringan yang akan dianalisa adalah jaringan distribusi primer tipe radial 20 kV di penyulang Tumpang, GI Pakis, Malang.
2. Metode yang digunakan dalam perhitungan aliran daya adalah Metode Newton Raphson.
3. Hanya Kapasitor Shunt yang digunakan dalam perbaikan tegangan dan pengurangan rugi daya.
4. Analisa penentuan letak dan kapasitas kapasitor shunt menggunakan Metode *Hybrid Microgenetic Algorithms dan Fuzzy Logic*.
5. Tidak membahas secara mendetail masalah metode aliran daya yang digunakan yaitu metode *Newton Raphson*.
6. Tidak membahas penyebab gangguan.
7. Tidak membahas masalah biaya.
8. Nilai faktor daya diasumsikan 0.85.

1.5 METODOLOGI PEMBAHASAN

Metode yang digunakan dalam pembahasan skripsi ini dilakukan dengan langkah-langkah :

1. Studi Literatur

Yaitu kajian pustaka dengan mempelajari teori-teori yang terkait melalui literatur yang ada, yang berhubungan dengan pengaruh yang terjadi akibat penggunaan kapasitor shunt pada sistem distribusi radial.

2. Pengumpulan data

Pengumpulan data lapangan yang dipakai dalam objek penelitian yakni pada PT. PLN (persero) Area Pelayanan Jaringan Malang, penyulang Tumpang GI Pakis.

- Data kuantitatif yaitu data yang dapat dihitung atau data yang berbentuk angka-angka.
- Data kualitatif yaitu data yang berbentuk diagram. Dalam hal ini adalah single line diagram penyulang.

3. Melakukan analisa dengan menggunakan bahasa program Matlab 7.0.4

a) Analisa Aliran Daya pada penyulang Tumpang sistem 20 kV menggunakan *Metode Newton Raphson*.

b) Analisa penentuan letak, kapasitas dan jumlah kapasitor menggunakan Metode *Hybrid Microgenetic Algorithms dan Fuzzy Logic*.

c) Analisa pengaruh pemasangan kapasitor terhadap sistem distribusi radial diantaranya perbaikan profil tegangan, pengurangan rugi-rugi

dan menganalisa aliran daya kembali sistem menggunakan Metode Newton Raphson.

1.6 SISTEMATIKA PENULISAN

Untuk mendapat arah yang tepat mengenai hal-hal yang akan dibahas maka dalam skripsi ini disusun sebagai berikut :

BAB I : PENDAHULUAN

Merupakan pendahuluan yang meliputi latar belakang yang melandasi skripsi yang dibahas, rumusan masalah, tujuan yang ingin dicapai, batasan masalah, metodologi penulisan dan sistematika penulisan.

BAB II : SISTEM DISTRIBUSI TENAGA LISTRIK DAN APLIKASI KAPASITOR

Disini akan menguraikan mengenai sistem jaringan distribusi, pengertian jatuh tegangan, pengaruh rendahnya faktor daya dan penjelasan teori tentang kapasitor.

BAB III : METODE *HYBRID MICROGENETIC ALGORITHMS DAN FUZZY LOGIC* UNTUK MENENTUKAN LETAK DAN KAPASITAS KAPASITOR PADA JARINGAN DISTRIBUSI PRIMER 20 KV

Pada bab ini akan dibahas sedikit metode aliran daya Newton Raphson, teori tentang Metode *Hybrid Microgenetic Algorithms dan Fuzzy Logic* untuk menentukan penempatan dan kapasitas kapasitor.

BAB IV : ANALISA KAPASITAS DAN PENEMPATAN KAPASITOR PADA JARINGAN DISTRIBUSI PRIMER 20 KV

Pada bab ini akan dibahas penempatan kapasitor yang akan dianalisis menggunakan program komputer dengan menggunakan pendekatan Metode *Hybrid Microgenetic Algorithms dan Fuzzy Logic* serta perbandingan profil tegangan sebelum dan sesudah pemasangan kapasitor.

BAB V : KESIMPULAN

Merupakan bab terakhir yang merupakan intisari dan hasil pembahasan, berisikan kesimpulan dan saran yang dapat digunakan sebagai pertimbangan untuk pengembangan penulisan selanjutnya.

DAFTAR PUSTAKA

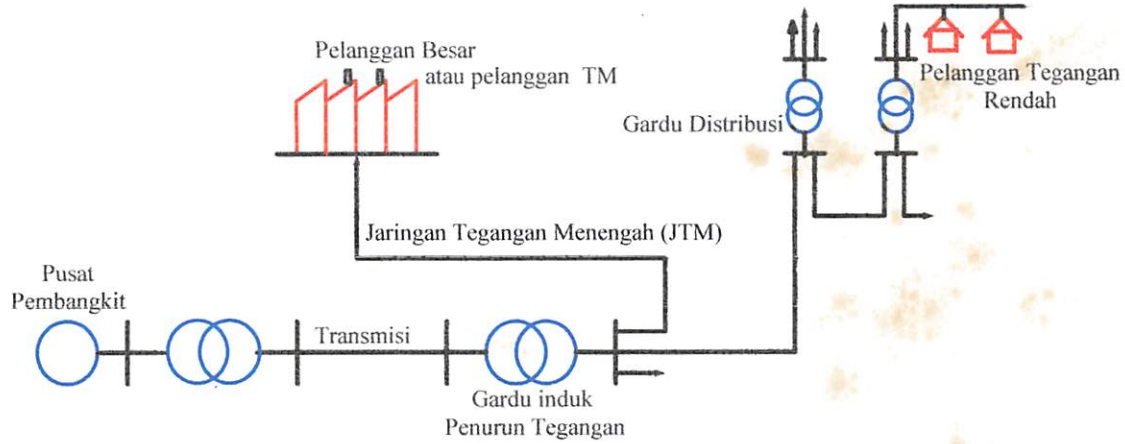
BAB II

SISTEM DISTRIBUSI TENAGA LISTRIK DAN APLIKASI

KAPASITOR

2.1. Sistem Tenaga Listrik^[2]

Sistem tenaga listrik merupakan suatu sistem terpadu yang terbentuk oleh hubungan-hubungan peralatan dan komponen-komponen listrik. Sistem tenaga listrik ini mempunyai peranan utama untuk menyalurkan energi listrik yang dibangkitkan oleh generator ke konsumen yang membutuhkan energi listrik.



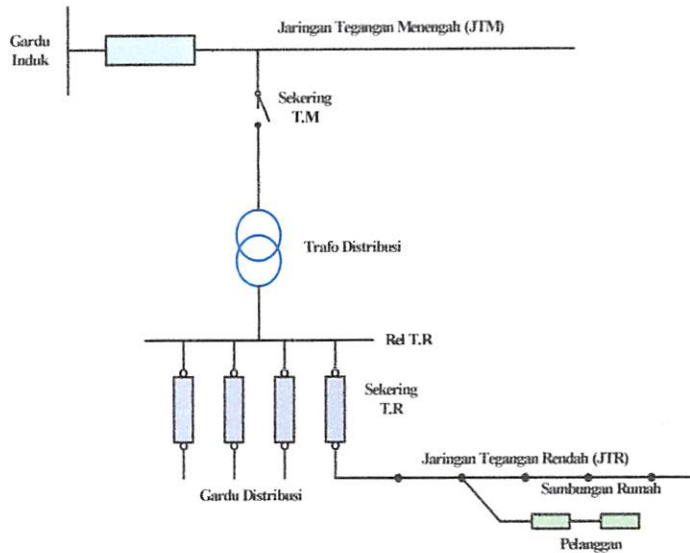
GAMBAR 2-1 SKEMA PENYALURAN ENERGI LISTRIK^[2]

Secara garis besar suatu sistem tenaga listrik dapat dikelompokkan menjadi 3 sub sistem, yaitu :

1. Sistem Pembangkitan : Berperan sebagai sumber daya tenaga listrik dan disebut juga produsor energi.
2. Sistem Transmisi atau Penyaluran : Berfungsi sebagai penyalur daya listrik secara besar-besaran dari pembangkit ke bagian sistem distribusi atau konsumen.
3. Sistem Distribusi dan Beban : Berperan sebagai distributor energi ke konsumen yang memerlukan energi tersebut.

2.2. Sistem Distribusi Tenaga Listrik^[3]

Jaringan distribusi berada pada akhir dari sistem tenaga listrik, perannya mendistribusikan tenaga listrik dari gardu Induk ke konsumen melalui gardu distribusi. Jaringan setelah keluar dari gardu induk bisa disebut jaringan distribusi. Setelah tenaga listrik disalurkan melalui jaringan distribusi primer maka kemudian tenaga listrik diturunkan tegangannya dalam gardu-gardu distribusi menjadi tegangan rendah, kemudian disalurkan melalui jaringan tegangan rendah untuk selanjutnya disalurkan kerumah-rumah pelanggan (konsumen) PLN melalui sambungan rumah.



GAMBAR 2-2 JARINGAN DISTRIBUSI TEGANGAN MENENGAH (JTM), JARINGAN TEGANGAN RENDAH (JTR) DAN SAMBUNGAN RUMAH KE PELANGGAN^[3]

Dalam pendistribusian tenaga listrik ke konsumen, tegangan yang digunakan bervariasi tergantung dari jenis konsumen yang membutuhkan. Untuk konsumen industri biasanya digunakan tegangan menengah 20 kV sedangkan untuk konsumen perumahan digunakan tegangan rendah 220/380 Volt, yang merupakan tegangan siap pakai untuk peralatan-peralatan rumah tangga. Dengan demikian maka sistem distribusi tenaga listrik dapat diklasifikasikan menjadi dua bagian sistem yaitu:

1. Sistem Distribusi Primer (Jaringan Tegangan Menengah)
2. Sistem Distribusi Sekunder (Jaringan Tegangan Rendah)

Pengklasifikasian sistem distribusi tenaga listrik menjadi dua ini bedasarkan tingkat tegangan distribusinya.

2.2.1. Sistem Distribusi Primer (Jaringan Tegangan Menengah)

Tingkat Tegangan yang digunakan pada sistem distribusi primer adalah meliputi tegangan 20 kV, Oleh karena itu sistem distribusi ini sering disebut dengan sistem distribusi tegangan menengah.

2.2.2. Sistem distribusi Sekunder (Jaringan Tegangan Rendah)

Tingkat Tegangan yang digunakan pada sistem distribusi sekunder adalah tegangan rendah yaitu 127/220 volt atau 220/380 volt, oleh karena itu sistem distribusi ini sering disebut dengan sistem distribusi tegangan rendah.

Sistem jaringan yang digunakan untuk menyalurkan dan mendistribusikan tenaga listrik tersebut dapat menggunakan sistem satu fasa dengan dua kawat maupun sistem tiga fasa dengan empat kawat.

2.3. Struktur Jaringan Distribusi Tenaga Listrik^[2]

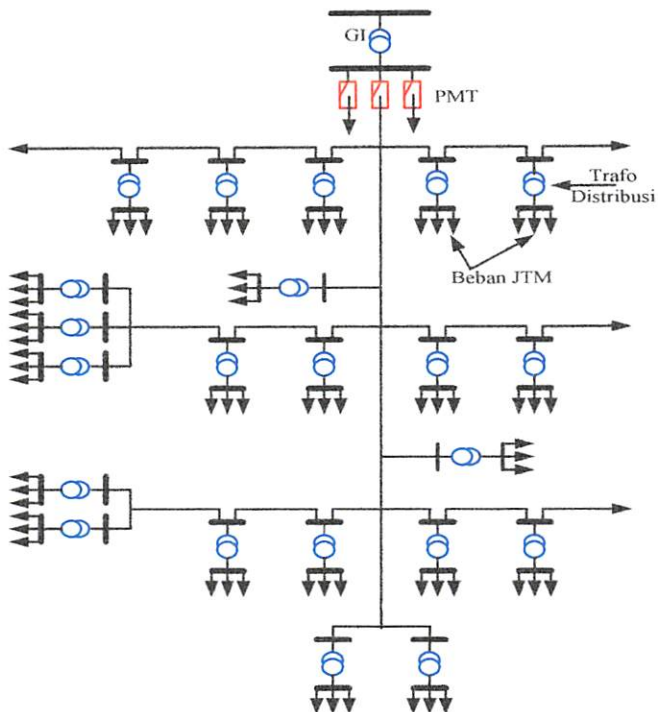
Ada beberapa bentuk jaringan yang umum digunakan untuk menyalurkan dan mendistribusikan tenaga listrik, yaitu :

1. Sistem jaringan distribusi radial
2. Sistem jaringan distribusi rangkaian tertutup (*loop*)
3. Sistem jaringan distribusi mesh

2.3.1. Sistem Jaringan Distribusi Radial

Bentuk jaringan ini merupakan bentuk dasar yang paling sederhana dan paling banyak dipergunakan. Sistem ini dikatakan radial karena dari kenyataannya bahwa jaringan ini ditarik secara radial dari gardu induk ke pusat-

pusat beban atau konsumen yang dilayani. Sistem ini terdiri dari saluran utama (*tunk line*) dan saluran cabang (*lateral*) seperti pada gambar 2.3.



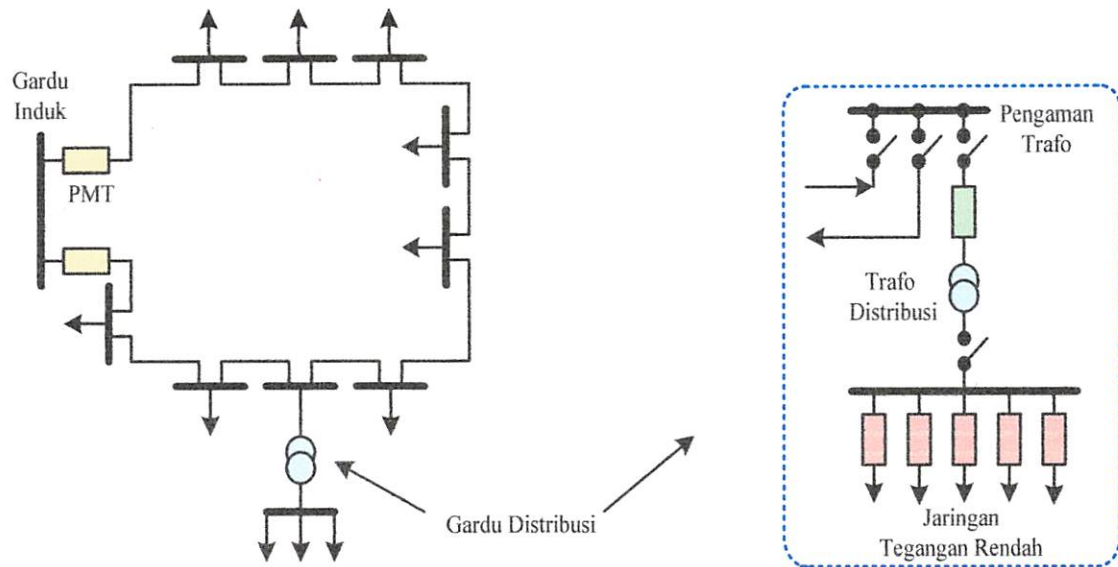
**GAMBAR 2-3 JARINGAN TEGANGAN MENENGAH SISTEM
DISTRIBUSI RADIAL^[2]**

Pelayanan tenaga listrik untuk suatu daerah beban tertentu dilaksanakan dengan memasang transformator pada sembarang titik pada jaringan yang sedekat mungkin dengan daerah beban yang dilayani. Untuk daerah beban yang menyimpang jauh dari saluran utama maupun saluran cabang, maka akan ditarik lagi saluran tambahan yang dicabangkan pada saluran tersebut.

Kelemahan yang dimiliki oleh sistem radial adalah jatuh tegangan yang cukup besar dan bila terjadi gangguan pada salah satu *feeder* maka semua pelanggan yang terhubung pada *feeder* tersebut akan terganggu.

2.3.2. Sistem Jaringan Distribusi Tertutup (Loop).

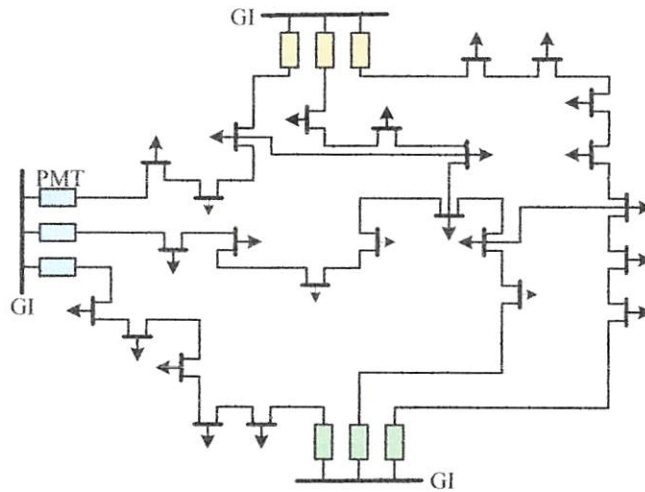
Sistem ini disebut jaringan distribusi *loop* karena saluran primer yang menyalurkan daya sepanjang daerah beban yang dilayani, membentuk suatu rangkaian *loop*.



GAMBAR 2-4 JARINGAN TEGANGAN MENENGAH STRUKTUR LOOP YANG DIPASOK DARI SATU SUMBER^[2]

2.3.3. Sistem Jaringan Distribusi *Mesh*.

Jaringan Distribusi *Mesh* merupakan jaringan yang strukturnya kompleks, dimana kelangsungan penyaluran dan pelayanannya diutamakan. Struktur jaringan ini umumnya digunakan pada jaringan tegangan rendah yang kepadatan bebannya cukup tinggi.



GAMBAR 2-5 JARINGAN TEGANGAN MENENGAH STRUKTUR MESH^[2]

2.4. Daya Dalam Sistem Tenaga Listrik^[2]

Dalam sistem tenaga listrik, pembangkit-pembangkit tenaga listrik harus mampu menyediakan tenaga listrik kepada pelanggan sesuai dengan permintaan beban listrik yang ada. dan hal yang harus diperhatikan adalah sistem yang tetap konstan, dalam hal ini tegangan dan frekuensi harus tetap konstan karena berhubungan dengan daya.

Daya listrik yang dibangkitkan dikenal dengan istilah:

2.4.1. Daya Nyata (Real Power)

Daya Nyata dinyatakan dalam persamaan :

$$P = [V] [I] \cos \varphi \dots \dots \dots \dots \dots \dots \quad (2.1)$$

Daya nyata untuk beban 3 fasa seimbang

$$P = \sqrt{3} | V_{jala-jala} | | I_{jala-jala} | \cos \varphi \dots \dots \dots \dots \dots \dots \quad (2.2)$$

2.4.2. Daya Reaktif (*Reactive power*)

Daya reaktif adalah daya yang timbul karena adanya pembentukan medan magnet pada beban-beban induktif (KVAR).

Daya reaktif dinyatakan dalam persamaan :

$$Q = |V| |I| \sin \phi \dots \quad (2.3)$$

Daya reaktif untuk beban 3 fasa seimbang :

$$Q = \sqrt{3} |V_{jala-jala}| |I_{jala-jala}| \sin \phi \dots \quad (2.4)$$

2.4.3. Daya Semu (*Apparent Power*)

Daya semu dinyatakan dalam persamaan :

$$S = |V| |I| \dots \quad (2.5)$$

Daya semu untuk beban 3 fasa seimbang :

$$S = \sqrt{3} |V_{jala-jala}| |I_{jala-jala}| \dots \quad (2.6)$$

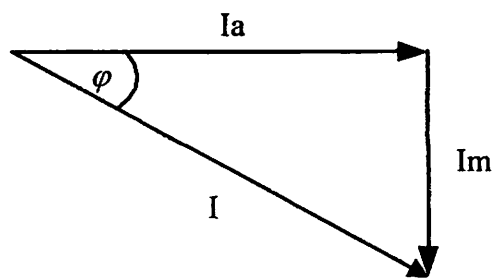
2.5. Daya Reaktif dan Faktor Daya^[2]

Setiap pemakaian daya reaktif akan menyebabkan turunnya faktor daya yang kemudian menyebabkan memburuknya karakteristik kerja peralatan-peralatan sistem pada umumnya, baik dari segi teknik operasional maupun segi ekonomisnya, faktor daya adalah perbandingan antara daya nyata dan daya semu.

$$\text{Faktor daya} = \frac{\text{Daya Nyata}(kW)}{\text{Daya semu}(kVA)} \dots \quad (2.7)$$

- Arus nyata (I_a) adalah arus yang dibeban dan diubah kedalam energi panas.
- Arus magnetisasi (I_m) adalah arus yang mengalir dibeban untuk menimbulkan medan magnet.
- Arus total (I) adalah arus yang mengalir dijaringan dan merupakan penjumlahan vektor dari arus nyata dengan arus magnetisasi.

Dalam bentuk vektor hubungan tersebut digambarkan sebagai berikut :



GAMBAR 2-7 SEGITIGA ARUS^[2]

Beberapa sebab sistem distribusi mempunyai faktor daya yang rendah, yaitu :

- Banyaknya pemakaian motor asinkron terutama pada industri.
- Makin meningkatnya pemakaian lampu TL untuk penerangan.
- Pemakaian pemanas air.

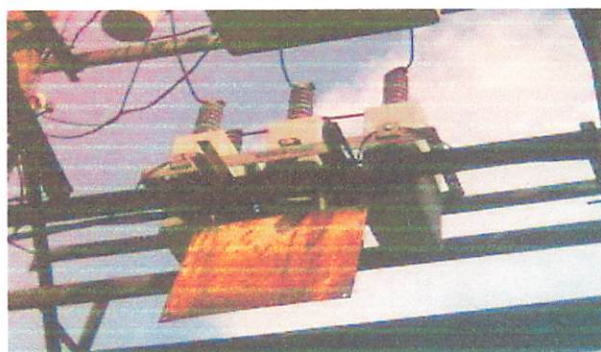
Menurunnya faktor daya berarti mengecilnya perbandingan antara daya nyata dengan daya sumbu atau berarti semakin membesarnya kebutuhan beban dan daya aktif.

untuk pemasangan kapasitor seri lebih mahal daripada biaya pemasangan kapasitor paralel atau biasa disebut kapasitor *shunt*.

b. Kapasitor *Shunt*

Kapasitor *shunt* adalah kapasitor yang dihubungkan paralel dengan saluran dan secara intensif digunakan pada saluran distribusi. Kapasitor *shunt* mencatat daya reaktif atau arus yang menentang komponen arus beban induktif.

Dengan dipasangnya kapasitor *shunt* pada jaringan distribusi akan dapat memperbaiki profil tegangan, memperbaiki faktor daya dan menaikkan kapasitas sistem serta dapat mengurangi rugi saluran.



GAMBAR 2-9 KAPASITOR SHUNT YANG DIPASANG PADA SALURAN

2.6.2. Faktor-faktor pemilihan kapasitor Seri dan kapasitor shunt^[2] :

Faktor-faktor yang mempengaruhi pemilihan kapasitor *shunt* dan seri ditabelkan sebagai berikut :

TABEL 2-1
KAPASITOR SERI DAN KAPASITOR SHUNT

No	Tujuan	Kapasitor	
		Seri	Shunt
1	Memperbaiki faktor daya	Kedua	Pertama
2	Memperbaiki tingkat tegangan pada sistem saluran udara dengan faktor daya nomal dan rendah	Petama	Kedua
3	Memperbaiki tingkat tegangan pada sistem saluran udara dengan faktor daya yang tinggi	Tidak Dipakai	Pertama
4	Memperbaiki tingkat tegangan pada sistem saluran udara bawah tanah dengan faktor daya yang tinggi	Tidak Dipakai	Tidak Dipakai
5	Memperbaiki tingkat tegangan pada sistem saluran bawah tanah dengan faktor daya normal dan rendah	Pertama	Tidak Dipakai
6	Mengurangi rugi-rugi daya dan rugi-rugi energi pada saluran	Kedua	Pertama
7	Mengurangi fluktuasi tegangan	Pertama	Tidak Dipakai

2.7. Pengaruh Pemasangan Kapasitor *Shunt*^[2]

Kapasitor *shunt* adalah kapasitor yang dihubungkan pararel dengan saluran dan secara intensif digunakan pada sistem distribusi. Kapasitor *shunt* mencatu daya reaktif atau yang menentang komponen arus beban induktif. Dengan dipasang kapasitor *shunt* pada jaringan distribusi akan dapat memperbaiki profil tegangan, memperbaiki faktor daya dan menaikkan kapasitas sistem serta dapat mengurangi rugi saluran.

Adapun dua cara dalam pemakaian kapasitor *shunt* :

- Kapasitor Tetap (*Fixed Capacitor*)
- Kapasitor Saklar (*Switched Capacitor*)

a. Kapasitor Tetap

Adalah kapasitor untuk kompensasi daya reaktif yang kapasitasnya tetap dan selalu terpasang di jaringan. Penggunaan kapasitor jenis ini harus memperhatikan kenaikan tegangan yang terjadi pada saat beban ringan agar tidak melebihi tegangan yang ditetapkan

b. Kapasitor Saklar

Adalah kapasitor untuk kompensasi daya reaktif yang dapat dihubungkan dan dilepaskan dari jaringan dan dapat diatur besar kapasitasnya sesuai dengan kondisi beban.

Proses membuka-menutup dari saklar kapasitor *shunt* dapat dilakukan dengan cara manual maupun dengan cara otomatis. Pengendalian secara manual (Pada lokasi atau lokasi jarak jauh) dapat dilakukan pada G.I.

Untuk pengendalian secara otomatis, termasuk didalamnya peralatan pengendali tegangan, arus dan suhu. Tipe yang paling populer adalah pengendalian saklar waktu (*time-switch control*), pengendali tegangan dan pengendali tegangan arus.

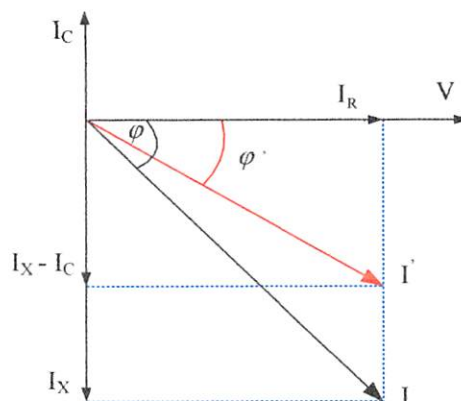
2.7.1. Pengurangan Rugi-Rugi Saluran dengan Kapasitor *Shunt*

Rugi-rugi saluran sebelum ada pengaruh pemasangan kapasitor adalah seperti pada persamaan (2.9) diatas.

Sedangkan setelah pemasangan kapasitor, maka sebagian daya reaktif yang dibutuhkan oleh beban akan disuplai oleh kapasitor tersebut, sehingga arus yang mengalir dijaringan akan lebih kecil. Persamaan rugi daya dan rugi energi setelah pemasangan kapasitor adalah :

$$P_L' = (I \cos \theta)^2 R + (I \sin \theta - I_C)^2 R \quad \dots \dots \dots (2.10)$$

Dalam bentuk diagram vektor adalah :



GAMBAR 2-10 VEKTOR ARUS DAN TEGANGAN SEBELUM DAN SETELAH PEMASANGAN KAPASITOR^[2]

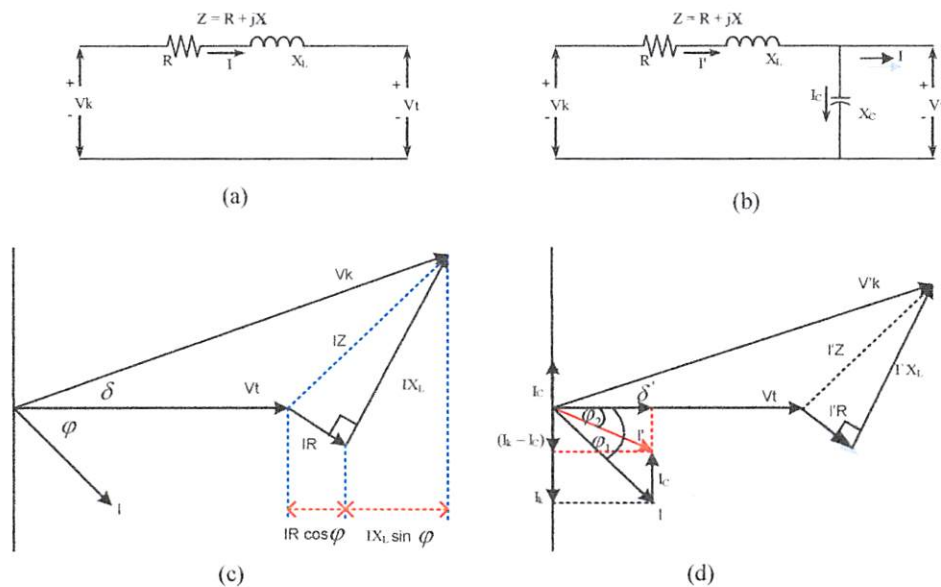
Sehingga pengurangan rugi daya dengan adanya pemasangan kapasitor *shunt*

adalah :

$$\begin{aligned}\Delta_{pls} &= I^2 R - I_1^2 R \\ &= (I \cos \theta)^2 R + (I \sin \theta)^2 R - (I \cos \theta)^2 R + (I \sin \theta - I_c)^2 R \\ &= 2 (I \sin \theta) I_c R - I_c^2 R \quad \dots \dots \dots \quad (2.11)\end{aligned}$$

2.7.2. Perbaikan Tegangan^[2]

Pemakaian kapasitor *shunt* dalam sistem tenaga listrik selain untuk perbaikan faktor daya juga bertujuan menaikkan tegangan. Dan secara vektoris dapat digambarkan sebagai berikut :



GAMBAR 2-11 DIAGRAM VEKTOR PADA RANGKAIAN DENGAN PF LAGGING (a) DAN (c) TANPA KAPASITOR SHUNT, (b) DAN (d) DENGAN KAPASITOR SHUNT^[2]

Jatuh tegangan pada jaringan dengan pf *lagging* dapat dihitung sebagai berikut :

Sebelum pemasangan kapasitor :

$$\delta V = IR \cos \phi + IX_L \sin \phi \quad \text{volt} \quad \dots \dots \dots \dots \quad (2.12)$$

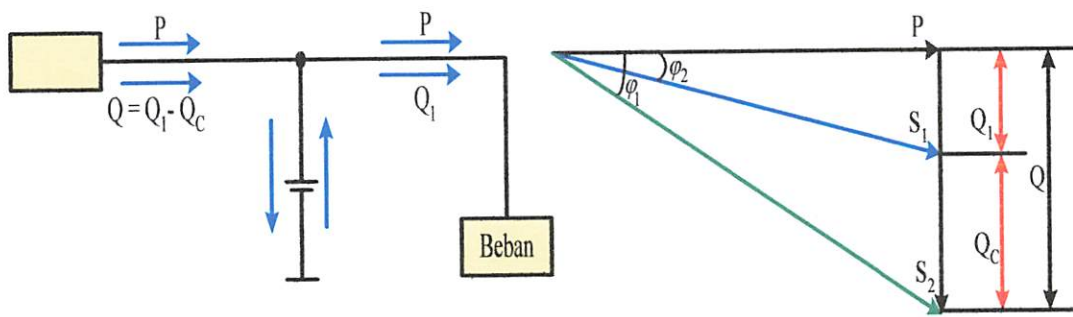
Bila kapasitor dipasang pada ujung penerima dari saluran, seperti yang terlihat pada gambar 2-11b, secara pendekatan jatuh tegangannya menjadi :

$$\delta V = IR \cos \phi + (IX_L - I_C) \sin \phi \quad \text{volt} \quad \dots \dots \dots \dots \quad (2.13)$$

2.7.3. Perbaikan Faktor Daya dan Kenaikan Kapasitas Sistem

Manfaat terbesar yang diperoleh dari perbaikan faktor daya berasal dari pengurangan daya reaktif dalam sistem. Hal ini menghasilkan pengurangan biaya pemakaian daya yang lebih rendah, kenaikan kapasitas sistem, perbaikan tegangan dan pengurangan rugi-rugi dalam sistem. Satu-satunya jalan untuk memperbaiki faktor daya adalah mengurangi daya reaktif di jaringan. Jika komponen arus reaktif dapat dikurangi, maka total arus akan berkurang sedangkan komponen daya aktif tidak berubah, maka faktor daya akan lebih besar sebagai akibat berkurangnya daya reaktif. Faktor daya akan mencapai 100 % jika komponen daya reaktif sama dengan nol (0).

Dengan menambah kapasitor, daya reaktif Q akan berkurang, gambar 2.12 menunjukkan perbaikan faktor daya pada sistem, kapasitor mensuplai daya reaktif ke beban.



GAMBAR 2-12 PERBAIKAN FAKTOR DAYA^[2]

Diasumsikan bahwa beban disuplai oleh daya nyata P , daya reaktif (Lagging) Q dan daya semu S , pada faktor daya tertinggal $\cos \varphi$

$$\cos \varphi_1 = \frac{P}{S_1} \quad \dots \dots \dots \quad (2.14)$$

Bila suatu kapasitor Q_c kVAR dipasang pada beban, faktor daya dapat diperbaiki dari $\cos \varphi_1$ menjadi $\cos \varphi_2$ dimana:

$$\cos \varphi_2 = \frac{P}{S_2}$$

$$\cos \varphi_2 = \frac{P}{\sqrt{(P^2 + Q_1^2)}}$$

$$\cos \varphi_2 = \frac{P}{\sqrt{P^2 + (Q_1 - Q_c)^2}} \quad \dots \dots \dots \quad (2.15)$$

Sehingga daya semu dan daya reaktif berkurang dari S_2 (kVA) ke S_1 (kVA) dan dari Q (kVAR) ke Q_2 (kVAR) sehingga kapasitas beban akan meningkat. Dengan demikian dapat diambil kesimpulan bahwa *persentase pengurangan rugi-rugi daya jaringan*

dapat dihitung menggunakan rumus berikut:

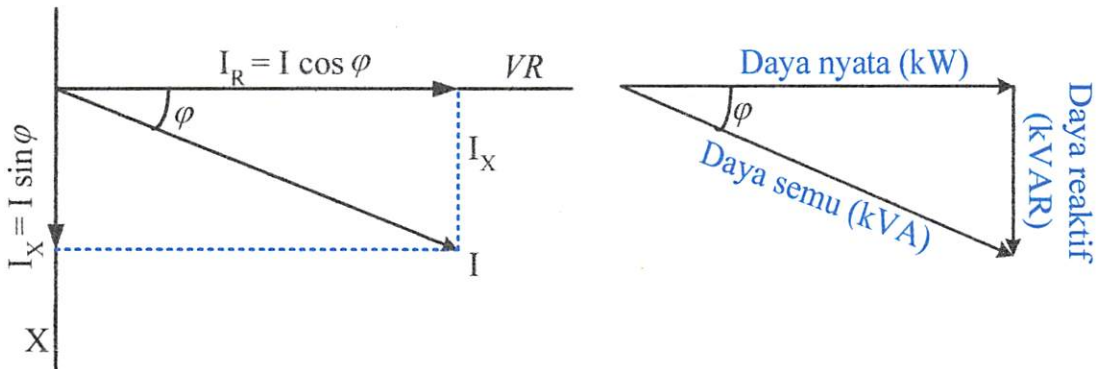
$$\% \text{ Rugi Daya} = 100 \left(\frac{\text{Faktor daya mula-mula}(\cos \varphi_1)}{\text{Faktor daya baru}(\cos \varphi_2)} \right) \dots \dots \dots (2.16)$$

%Pengurangan Rugi Daya

$$= 100 \left(1 - \left(\frac{\text{Faktor daya mula-mula}(\cos \varphi_1)}{\text{Faktor daya baru}(\cos \varphi_2)} \right)^2 \right) \dots \dots \dots (2.17)$$

2.7.4. Perhitungan Pengaruh Perbaikan Faktor Daya

Diagram *phase* dari dua komponen arus nyata itu arus aktif dan reaktif dapat dilihat pada gambar 2-13 berikut:



GAMBAR 2-13 DIAGRAM FASOR DAN SUDUT DAYA BEBAN DISTRIBUSI^[2]

Penjumlahan secara vektor dari arus aktif dan reaktif menghasilkan arus-arus total yang dapat dinyatakan dengan persamaan :

$$\begin{aligned} I &= \text{Arus Semu} = \sqrt{(\text{arus.aktif})^2 + (\text{arus.reaktif})^2} \\ &= \sqrt{(I \cdot \text{Cos.}\varphi)^2 + (I \cdot \text{Sin.}\varphi)^2} \dots \dots \dots (2.18) \end{aligned}$$

Pada suatu tegangan V, daya aktif, daya reaktif, dan daya nyata, adalah sebanding dengan arus, dimana hubungannya dapat dinyatakan sebagai berikut:

Daya reaktif pada daya mula-mula = Daya aktif x Tan φ_1

$$= (\text{kW}) \times \text{Tan } \varphi_1$$

Daya reaktif pada faktor daya baru = Daya aktif x Tan φ_2

$$= (\text{kW}) \times \text{Tan } \varphi_2$$

Dengan φ_1 = Sudut dari faktor daya mula-mula

φ_2 = Sudut dari faktor daya yang telah diperbaiki

Rating kapasitor yang dibutuhkan perbaikan faktor daya:

$$\begin{aligned} \text{Daya reaktif (kVAR)} &= \text{Daya aktif} \times (\text{Tan } \varphi_1 - \varphi_2) \\ &= (\text{kW}) \times (\text{Tan } \varphi_1 - \varphi_2) \dots \dots \dots \dots \dots \dots \dots \quad (2.24) \end{aligned}$$

Untuk penyederhanaan ($\text{Tan } \varphi_1 - \varphi_2$) sering ditulis ΔTan , yang merupakan suatu faktor pengali untuk menentukan daya reaktif.

Daya reaktif (kVAR) = Daya aktif x ΔTan

$$(\text{kVAR}) = (\text{kW}) \times \Delta \text{Tan} \dots \dots \dots \dots \dots \dots \dots \quad (2.25)$$

2.8. Sistem Per-Unit^[4]

Untuk memudahkan perhitungan-perhitungan dalam sistem tenaga listrik digunakan p.u (per unit) yang didefinisikan sebagai perbandingan harga yang sebenarnya dengan harga dasar (base value), sehingga dapat dirumuskan sebagai berikut :

$$\text{Besar per - unit} = \frac{\text{besaran sesunguhnya}}{\text{besaran dasar dengan dimensi yang sama}} \dots \dots \dots \dots \dots \dots \dots \quad (2.26)$$

Rumus-rumus yang digunakan untuk penentuan arus dasar dan impedansi dasar adalah :

- Untuk data 1 fasa

Arus dasar:

$$I_d = \frac{kVA \text{ dasar } 1 \text{ fasa}}{kV \text{ dasar } L - N} \dots \dots \dots \dots \quad (2.27)$$

Impedansi dasar:

$$\begin{aligned} Z_d &= \frac{(kV \text{ dasar } L - N)^2 \times 1000}{kVA \text{ dasar } 1 \text{ fasa}} \dots \dots \dots \dots \quad (2.28) \\ &= \frac{(kV \text{ dasar } L - N)^2}{MVA \text{ dasar } 1 \text{ fasa}} \end{aligned}$$

Dalam persamaan diatas nilai-nilai besaran diberikan untuk rangkaian satu fasa. Jadi tegangannya adalah tegangan antara fasa ke tanah dan daya setiap fasa.

Setelah besaran-besaran dasar telah ditentukan maka besaran-besaran itu dinormalisasikan terhadap besaran dasar. Dengan demikian impedansi per satuan didefinisikan sebagai berikut :

$$Z = \frac{\text{Impedansi sebenarnya } Z (\Omega)}{\text{Impedansi dasar } Z_d} \dots \dots \dots \dots \quad (2.29)$$

2.9. Variasi Tegangan^[2]

Seperti diketahui, pen-cautan tenaga listrik kepada para pelanggan tegangannya (tegangan pelayanan), tidak dapat konstan, karena adanya impedansi dari jaringan yang mencatu. Dengan kata lain tegangan pelayanan bervariasi pada setiap pelanggan.

Variasi tegangan pelayanan ini, tentu saja ada batas-batas toleransinya. Untuk Indonesia, toleransi tegangan yang diizinkan, didasarkan pada standar PLN, yaitu SPLN 1:1978, dimana ditentukan bahwa variasi tegangan pelayanan, sebagai akibat jatuh tegangan, karena adanya perubahan beban, maksimum +5% dan minimum -10% dari tegangan nominalnya.

BAB III

METODE HYBRID MICROGENETIC ALGORITHMS DAN FUZZY LOGIC UNTUK MENENTUKAN LETAK DAN KAPASITAS KAPASITOR PADA JARINGAN DISTRIBUSI PRIMER 20 KV TYPE RADIAL

3.1 Analisa Aliran Daya Jaringan Radial

Dalam analisis dengan menggunakan metode MGA dan Fuzzy Logic diperlukan suatu proses aliran daya untuk mengetahui rugi-rugi daya pada saluran. Oleh karena itu pembahasan selanjutnya sebelum proses menggunakan metode MGA dan Fuzzy Logic adalah analisis aliran daya dengan menggunakan Metode Newton Raphson.

3.1.1 Tujuan

Tujuan mempelajari analisa aliran daya ini adalah.

1. Untuk mengetahui keadaan tegangan pada setiap bus dari sistem jaringan.
2. Untuk mengetahui besarnya daya yang mengalir pada setiap cabang dari struktur jaringan.
3. Untuk mengetahui besar rugi-rugi daya aktif dan daya reaktif pada setiap cabang jaringan.

$$P_p = \sum_{q=1}^n |V_p V_q Y_{pq}| \cos(\delta_p - \delta_q + \theta_{pq}) \dots \quad (3.5)$$

$$Q_p = \sum_{q=1}^n |V_p V_q Y_{pq}| \sin(\delta_p - \delta_q + \theta_{pq}) \dots \quad (3.6)$$

Kedua persamaan diatas akan menghasilkan suatu kumpulan persamaan serempak (simultan) yang tidak linier untuk setiap simpul sistem tenaga listrik. Untuk mengetahui magnitude tegangan (V) dan sudut fasa (δ) disetiap simpul dapat diselesaikan dengan menggunakan persamaan (3.5) dan (3.6) yang dilinierkan dengan metode Newton Raphson yang dapat dilihat dari persamaan dibawah ini :

$$\begin{bmatrix} \Delta P \\ \Delta Q \end{bmatrix} = \begin{bmatrix} H & N \\ M & L \end{bmatrix} \begin{bmatrix} \Delta \delta \\ \Delta |V| \end{bmatrix} \dots \quad (3.7)$$

Dimana :

ΔP = Selisih injeksi bersih daya nyata dengan penjumlahan aliran daya nyata tiap saluran yang menghubungkan simpul dengan V yang didapat dari perhitungan iterasi ke-k

ΔQ = Selisih injeksi bersih daya reaktif dengan penjumlahan aliran daya reaktif tiap saluran yang menghubungkan simpul dengan V yang didapat dari perhitungan iterasi ke-k

$\Delta \delta$ = Vektor koreksi sudut fasa tegangan

$\Delta |V|$ = Vektor koreksi magnitude tegangan

H, L, M, N merupakan elemen-elemen off diagonal dari sub matriks Jaqobian yang dibentuk dengan mendefinisikan persamaan (3.5) dan (3.6), dimana :

$$H_{pq} = \frac{\partial P_p}{\partial \delta_q} \quad N_{pq} = \frac{\partial P_p}{\partial |V_q|}$$

$$N_{pq} = \frac{\partial P_p}{\partial |V_q|}$$

$$M_{pq} = \frac{\partial Q_p}{\partial \delta_q}$$

$$L_{pq} = \frac{\partial Q_p}{\partial |V_q|}$$

Persamaan diselesaikan untuk menghitung vektor koreksi magnitude tegangan $\Delta(|V|)$ dan sudut fasa tegangan ($\Delta\delta$) yang baru. Sehingga diperoleh harga magnitude tegangan dan sudut fasa yang baru, yaitu :

$$|V|^{k+1} = |V|^k + \Delta|V|^k$$

$$\delta^{k+1} = \delta^k + \Delta\delta^k$$

proses perhitungan akan berulang sampai selisih daya nyata dan daya reaktif antara yang dijadwalkan dengan yang dihitung, yaitu ΔP dan ΔQ untuk semua simpul mendekati nilai toleransi atau proses perhitungn iterasi mencapai konvergen.

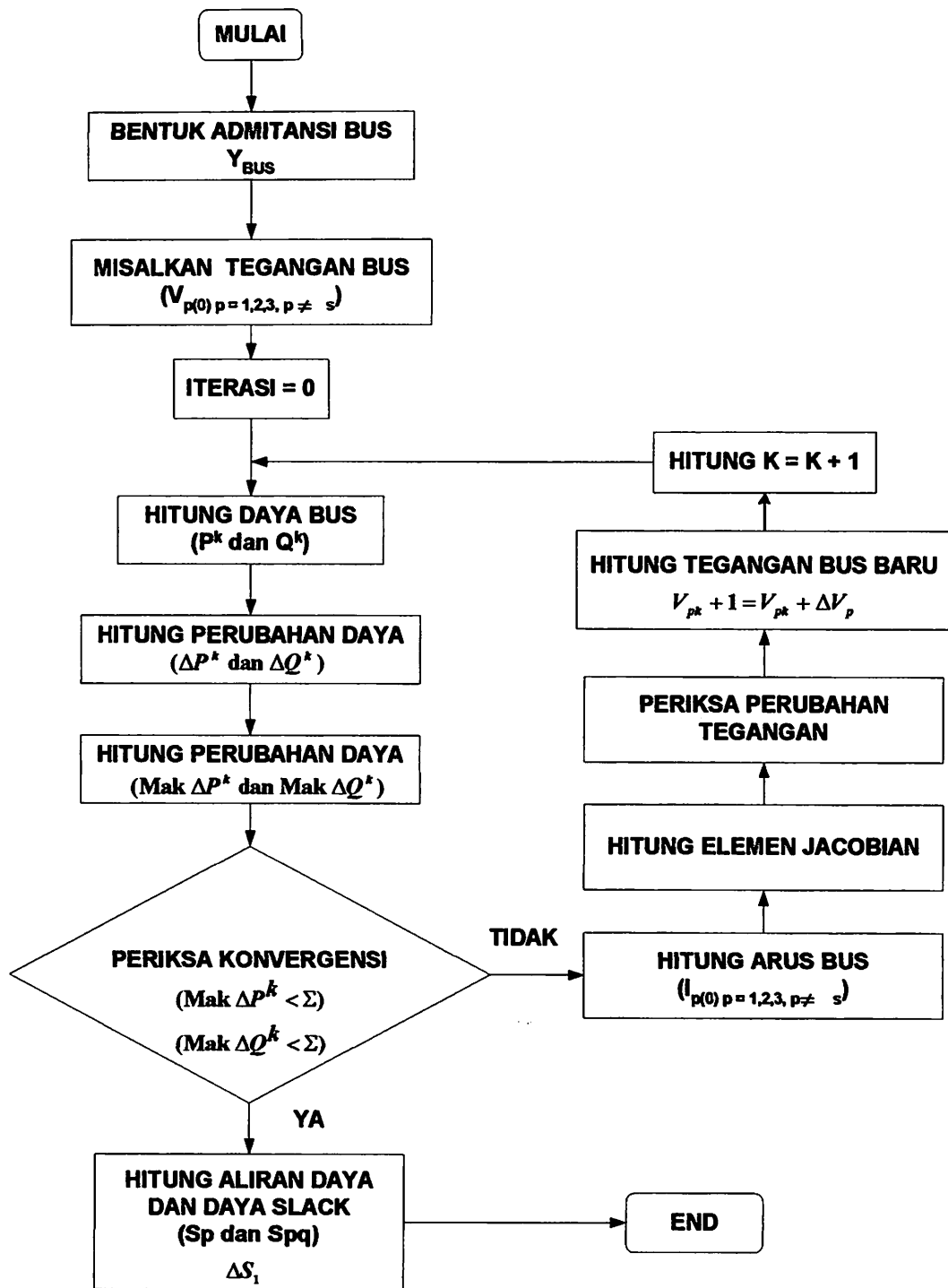
Algoritma Aliran Daya Newton Raphson

1. Tentukan nilai $P_{p(\text{ditetapkan})}$ dan $Q_{p(\text{ditetapkan})}$ yang mengalir kedalam sistem pada setiap rel untuk nilai yang ditentukan atau perkiraan dari besar dan sudut tegangan untuk iterasi pertama atau tegangan yang ditentukan paling akhir untuk iterasi berikutnya.
2. Hitung ΔP pada setiap rel.
3. Hitung nilai-nilai matriks Jaqobian dengan menggunakan nilai-nilai perkiraan atau yang ditentukan dari besar dan sudut tegangan dalam

persamaan untuk turunan parsial yang ditentukan dengan differensiasi persamaan (3.5) dan (3.6).

4. Balikkan Jaqobian itu dan hitung koreksi-koreksi tegangan $\Delta\delta_q$ dan $\Delta|V_q|$ pada nilai sebelumnya.
5. Hitung nilai baru dari δ_q dan $|V_q|$ dengan menambah $\Delta\delta_p$ dan $\Delta|V_q|$ pada nilai sebelumnya.
6. Kembali kelangkah pertama dan ulangi proses itu dengan menggunakan nilai untuk besar dan sudut tegangan yang ditentukan paling akhir sehingga semua nilai ΔP dan ΔQ atau semua nilai $\Delta\delta$ dan $\Delta|V|$ lebih kecil dari suatu indeks ketetapan yang dipilih.

3.1.3 Diagram Alir Aliran Daya Newton Raphson



Gambar 3-1.

Diagram Alir Aliran Daya Newton Raphson

3.2 Metode Penempatan Kapasitor

3.2.1 Microgenetic Algorithms^[2]

GA(Algoritma genetika) adalah suatu algoritma yang meniru prinsip evolusi alam sebagai metode untuk memecahkan optimasi parameter. Prinsip yang mendasari algoritma genetika pertama kali dikembangkan oleh John Holland 1962. Teori algoritma genetika didasari oleh teori Darwin. Landasan algoritma genetika terinspirasi dari mekanisme alam, dimana individu yang lebih kuat memiliki kemungkinan untuk menjadi pemenang dan mempunyai kesempatan hidup yang lebih besar di dalam lingkungan yang kompetitif. *GA* merupakan algoritma yang simpel, sempurna, fleksibel dan mampu menemukan solusi optimal yang global. *GA* didasari oleh penciptaan acak dari suatu populasi awal dan siklus dengan tiga langkah yaitu :

- Evaluasi tiap kromosom
- Penyeleksian kromosom untuk reproduksi
- Manipulasi genetik untuk menciptakan populasi baru yang meliputi crossover dan mutasi

Tahap 1. Seleksi

Pada algoritma genetika terdapat proses seleksi yaitu proses pemilihan kromosom yang akan di-crossover-kan dengan kromosom dari individu lain. Masalah yang paling mendasar pada proses ini adalah bagaimana proses penyelesiannya. Menurut teori evolusi Darwin proses seleksi individu adalah :

“Individu terbaik akan tetap hidup dan menghasilkan keturunan”. Pada proses seleksi ini dapat menggunakan banyak metode seperti Roulette Wheel Selection.

Tahap 2. Eletism

Selama membuat populasi baru dengan crossover dan mutasi, kemungkinan akan terjadi kehilangan kromosom terbaik (best/few best). Elitism adalah nama metode yang pertama kali mengkopikan kromosom terbaik (best/few best) ke dalam populasi baru. Sisanya dikerjakan dengan cara biasa, yaitu melalui seleksi, crossover dan mutasi. Elitism dapat secara cepat meningkatkan performasi dari algoritma genetika karena elitism menghindarkan hilangnya solusi terbaik (best/few best) yang telah ditemukan.

Tahap 3. Crossover (pindah silang)

Fungsi dari cadalah menghasilkan kromosom anak dari kombinasi materi-materi gen dua kromosom induk. Cara kerjanya dengan membangkitkan sebuah nilai random r_k dimana $k = 1,2\dots\text{popsize}$. Probabilitas crossover (p_c) ditentukan dan digunakan untuk mengendalikan frekwensi crossover. Apabila nilai $r_k < p_c$ maka kromosom ke-k terpilih untuk mengalani crossover.

Tahap 4. Mutation (mutasi)

Operasi mutasi digunakan untuk memodifikasi satu atau lebih nilai gen dalam satu individu. Cara kerjanya dengan membangkitkan sebuah nilai random r_k dimana $k = 1,2\dots,\text{nVAR}$ (panjang kromosom). Probabilitas mutasi (p_m)

ditentukan dan digunakan untuk mengendalikan frekwensi mutasi. Apabila nilai random $r_k < p_m$ maka gen ke- k kromosom tersebut terpilih untuk mengalami mutasi. Mutasi dengan menggantikan 0 dengan 1 atau sebaliknya gen 1 ke 0 biasanya disebut dengan proses flip yaitu dengan membalik nilai 0 ke 1 atau 1 ke 0.

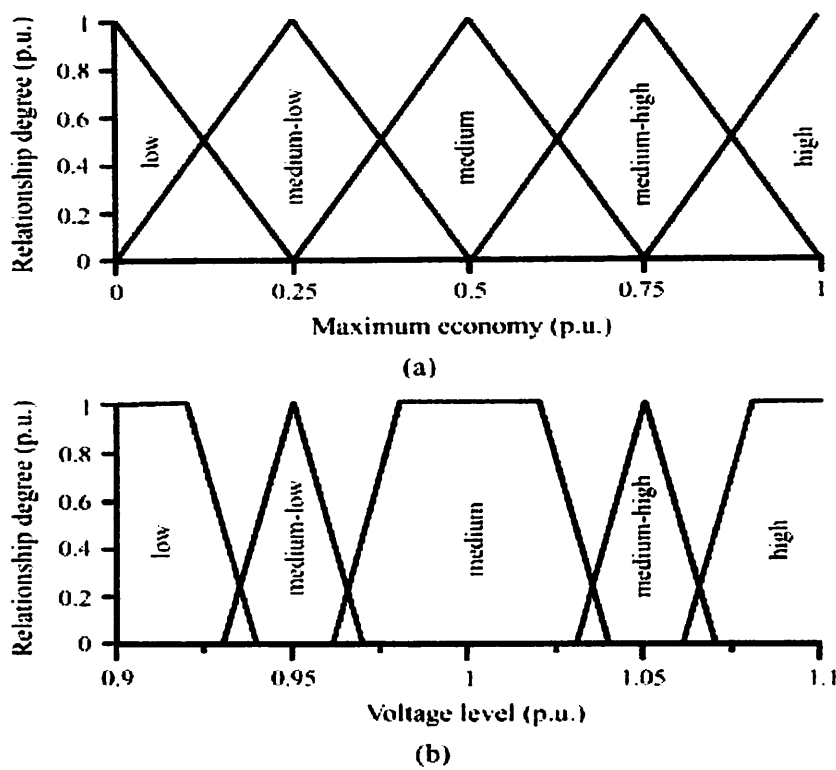
Kerugian dari **GA** adalah proses atau eksekusinya memerlukan waktu yang lama karena disebabkan oleh konsep evolusinya yang berdasarkan pada proses acak yang membuat algoritmanya cukup lambat. Namun metode lain untuk mengurangi waktu pemrosesan salah satunya adalah ***Microgenetic Algorithm(MGA)***.

Kebanyakan **GA** menghasilkan hasil yang buruk ketika populasinya kecil, karena permasalahan diproses dengan informasi yang tidak cukup dan sebagai konsekuensinya jumlah maksimum lokalnya konvergen yang prematur. Ukuran populasi **GA** secara umum bervariasi dari 30 sampai 300 individual yang kontras dengan **MGA** yang menjelajahi kemungkinan untuk bekerja dengan populasi yang kecil (biasanya 5 sampai 20 individual) yang mana untuk mengurangi waktu pemrosesan. Jumlah populasi yang kecil dapat berfungsi sebagai laboratorium alami dimana karakteristik dari genetika yang diinginkan dapat cepat muncul. Pada **MGA**, mutasi tidak diperlukan karena setelah beberapa generasi kromosom yang terbaik dirawat dan sisanya diganti dengan kromosom yang dihasilkan secara acak. Namun, dilain pihak, diperlukan pengadopsian beberapa strategi pencegahan terhadap hilangnya keanekaragaman dalam populasi.

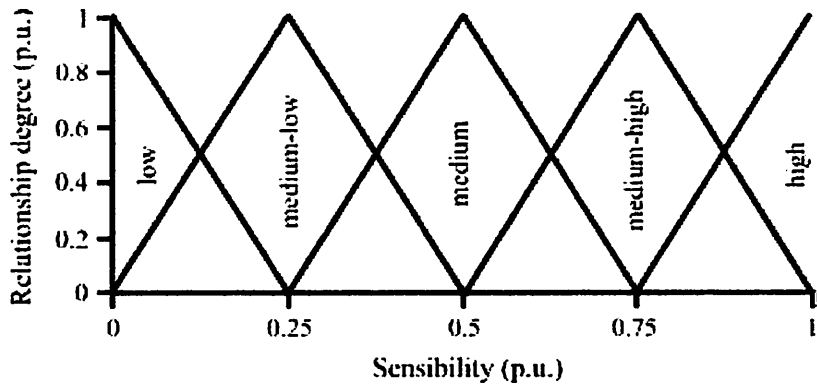
3.2.2 Fuzzy Logic^[3]

Fuzzy Logic(FL) memungkinkan suatu penyajian komputasi pengetahuan heuristik tentang permasalahan yang spesifik. Sejak 1965 ketika Zadeh mengusulkannya, *Fuzzy Logic* ini secara ekstensif telah diaplikasikan dalam beberapa area pengetahuan untuk memecahkan sebagian besar permasalahan kontrol dan optimasi. Di dalam power system, *Fuzzy Logic* diaplikasikan untuk studi stabilitas, untuk memecahkan permasalahan suplai energi listrik, untuk kompensasi daya reaktif pada jaringan distribusi dan lain sebagainya. *Fuzzy Logic* juga menunjukkan hasil yang baik ketika dikombinasikan dengan *Genetic Algorithms*.

Pada dasarnya, sangat perlu untuk mengidentifikasi variable utama yang mempunyai pengaruh pada pengambilan keputusan dan mengukur nilai-nilai dalam level yang relevan. Di dalam persoalan penempatan kapasitor, rule (peraturan) dibuat untuk menentukan apakah menguntungkan atau tidak untuk dipasang kapasitor pada bus tertentu. Bus voltage dan Maksimum ekonomi adalah variable yang digunakan untuk menetapkan grup dari Fuzzy rules (peraturan fuzzy). *Relationship function* dari variable-variabel ini ditunjukkan pada Gambar 3-2. Variabel-variabel tersebut mengindikasikan kekurangan kapasitif reaktif dalam jaringan distribusi dan menetapkan alokasi derajat sensibilitas dari tiap bus, seperti yang ditunjukkan pada Gambar 3-3. Hasil dari fuzzy rules ditunjukkan pada Tabel 3-1.

**Gambar 3-2**

Input Relationship Function : (a) maksimum ekonomi, (b) tegangan bus

**Gambar 3-3**

Relationship Function dari Alokasi Sensibilitas Bus

Tabel 3-1
Hasil dari Fuzzy Rules

Voltage \Rightarrow Economy \oplus	low	medium low	medium	medium high	high
Low	medium low	medium low	low	low	low
Medium low	medium	medium low	medium low	low	low
Medium	medium	medium	medium low	low	low
Medium high	medium high	medium high	medium	medium low	low
High	high	medium high	medium	medium low	medium low

3.2.3. Konsep Microgenetic Algorithm dan Fuzzy Logic

Untuk menemukan solusi yang optimal dari persoalan kompensasi daya reaktif dilakukan dengan menggunakan 2 langkah metode. Inisialisasi menggunakan fuzzy logic dimana seluruh bus yang ada di system dihitung untuk menentukan bus mana yang lebih menguntungkan untuk dipasang kapasitor. Kemudian pada langkah selanjutnya ruang pencarian atau jumlah dari solusi-solusi yang tersedia akan dipersempit oleh microgenetic algorithm. Microgenetic algorithm menggunakan kode biner untuk menampilkan solusinya.

Disini, informasi dari tiap bus dikodekan dalam satu byte. Contoh dari kromosom seperti pada gambar 3-4. Pada bus 1 tidak terdapat kapasitor, kemudian pada bus 2 terdapat dua kapasitor saklar pada beban sedang dan tiga pada beban puncak. Pada bus n terdapat dua kapasitor tetap pada beban rendah, lima kapasitor saklar pada beban sedang dan dua kapasitor saklar pada beban puncak.

bus 1			bus 2			bus n		
1	2	3	1	2	3			
0 0 0	0 0 0	0 0 0	0 1 0	1 1 0	0 0 0	0 1 0	1 0 1	1 0 0

Gambar 3-4

Struktur kromosom**3.3 Fungsi Obyektif.^[3]**

Pada persoalan kompensasi daya reaktif, fungsi objektif yang dimaksimalkan adalah keuntungan teknis dan ekonomis yang diperoleh dengan pemasangan kapasitor pada jaringan distribusi. Kapasitor biasanya mempunyai kapasitas nominal dengan standard unit (sebagai contoh, 50, 150 atau 300 kvar). Di lain pihak, titik-titik pemasangan yang mungkin adalah pada bus-bus feeder (penyalur) dan oleh karena titik-titik pemasangan itu juga membentuk grup yang terbatas. Maka dengan jelas ini adalah persoalan optimisasi kombinasi yang fungsinya disajikan sebagai berikut :

$$f(s) = k_p \Delta P_m(s) + \sum_{i=1}^3 \Delta P_i(s) k e_i \Delta t_i - C [n_f(s) k_f + n_c(s) k_c] \dots \dots \dots \quad (3-8)$$

dimana:

- s = grup parameter yang menggambarkan titik-titik pemasangan dan kontrol dari kapasitor.
- k_p = biaya dari rugi-rugi daya beban puncak dalam \$/kW
- ke_i = biaya rugi-rugi energi untuk tiap level ($i = 1, 2, 3$) dalam \$/kWh
- k_f = biaya kapasitor tetap (\$/kvar)
- kc = biaya kapasitor saklar (\$/kvar)
- n_f = jumlah kapasitor tetap
- n_c = jumlah kapasitor saklar
- C = ukuran dari kapasitor (kvar)
- ΔP_m = reduksi rugi-rugi beban puncak dalam kW
- ΔP_i = reduksi rugi-rugi daya pada tiap level ($i = 1, 2, 3$) dalam kW
- Δt_i = jangka waktu tahunan dari tiap level ($i = 1, 2, 3$) dalam jam

3.4 Algoritma Program^[3]

3.4.1 Algoritma Pemecahan Masalah

1. Masukan Data Beban P , Q , Data Saluran R , X , Daya Dasar (P) dan Tegangan Dasar (V) dan Data Kapasitas Kapasitor
2. Melakukan proses Aliran Daya dengan Menggunakan Metode Newton Raphson
3. Mengecek apakah ada pelanggaran tegangan
 - a. ‘Ya’ lanjutkan ke langkah 4
 - b. ‘Tidak’ Langsung ke langkah 5

4. Melakukan Sub Routine Algoritma *MGA dan Fuzzy Logic*
5. Cetak hasil
6. Stop

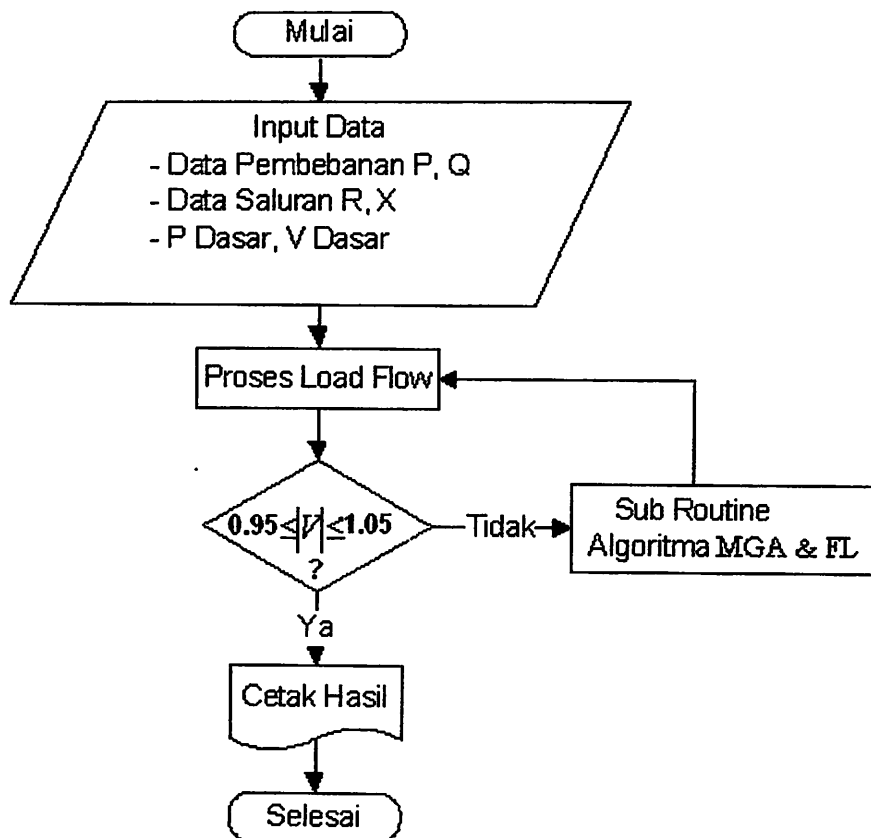
3.4.2 Algoritma Program Penyelesaian Masalah Pemasangan Kapasitor Dengan Metode *Hybrid Microgenetic dan Fuzzy Logic*.

1. Menghitung tegangan bus, daya dan rugi-rugi daya tanpa adanya kapasitor yang terpasang.
2. Menghitung penghematan maksimum yang diperoleh dengan penempatan kapasitor pada satu bus.
3. Menghitung penghematan maksimum yang diperoleh dengan pemasangan kapasitor pada beberapa bus.
4. Aplikasikan *fuzzy heuristik* untuk menentukan subgroup dari bus-bus yang terpasang kapasitor yang lebih menguntungkan
5. Adopsi penghematan ekonomi pada (3-8) sebagai fitness function.
6. Berdasarkan pada subgroup yang ditentukan pada langkah 4, secara acak bentuk n ukuran inisial populasi dan lanjutkan ke langkah 8.
7. Berdasarkan pada subgroup yang ditentukan pada langkah 4, secara acak bentuk $n-1$ populasi dan tambahkan pada kromosom terbaik dari generasi sebelumnya.
8. Tentukan fitness function dari tiap kromosom.
9. Pilih m kromosom dari populasi sekarang menggunakan metode turnamen. Buat operasi crossover menggunakan pasangan kromosom dari subgroup ini:

10. Menghitung index adaptasi dari kromosom baru:
11. Ulangi langkah 9 dan 10 sampai populasi mencapai derajat keseragaman dari yang terpilih sebelumnya:
12. Dapatkan kromosom terbaik, simpan dan buang yang lain
13. Ulangi langkah 7 sampai 12 sebanyak g kali atau sampai individu terbaik teridentifikasi setelah h generasi yang berurutan.
14. Stop.

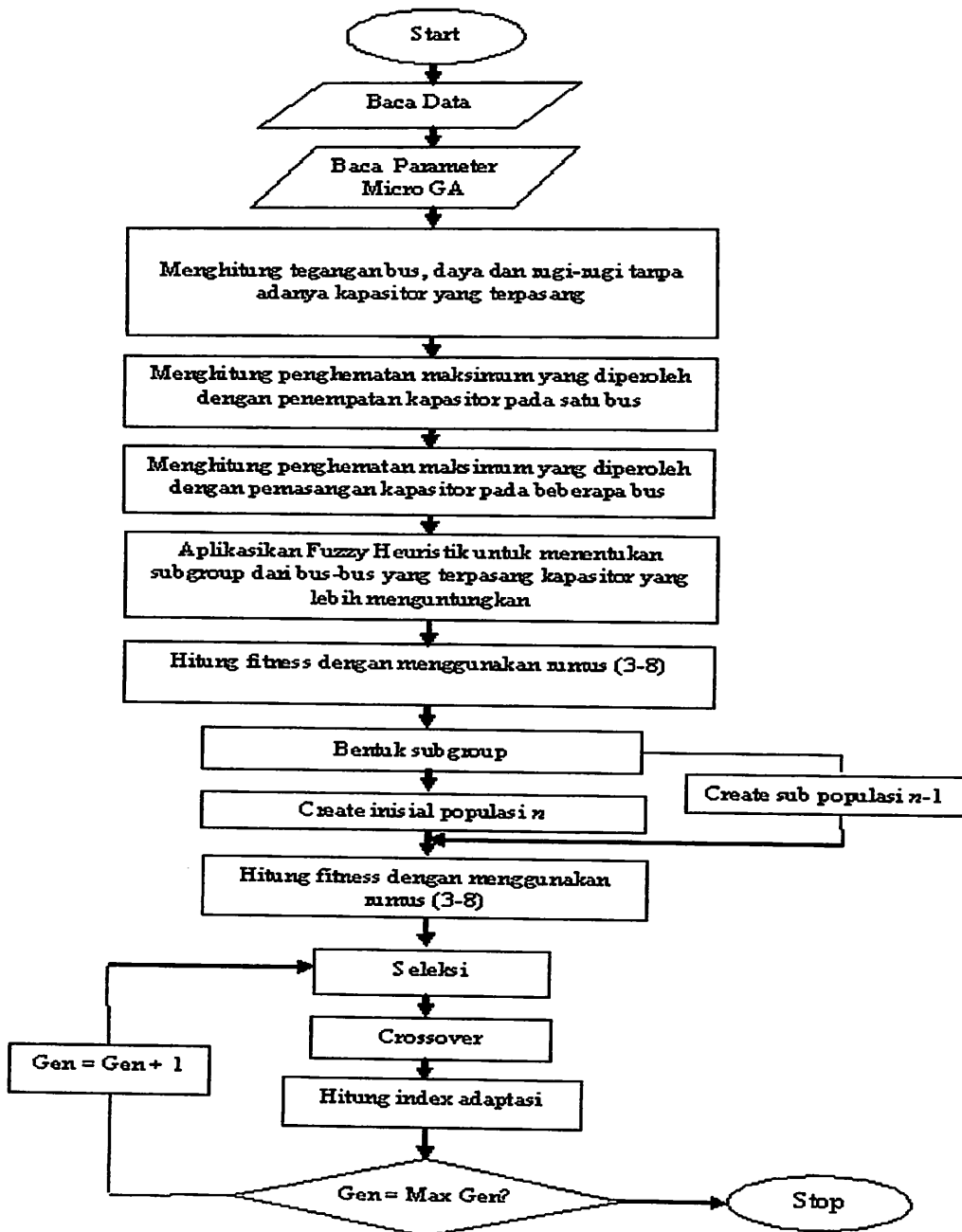
3.4.3 Flowchart Program

3.4.3.1 Flowchart Algoritma Pemecahan Masalah



Gambar 3-5
Flowchart Algoritma Pemecahan Masalah

3.4.3.2 Flowchart Algoritma *Hybrid Microgenetic Algorithms dan Fuzzy Logic.*



Gambar 3-6
Flowchart Metode MGA dan Fuzzy Logic

BAB IV

ANALISA KAPASITAS DAN PENEMPATAN KAPASITOR PADA JARINGAN DISTRIBUSI PRIMER 20 KV PENYULANG TUMPANG, MALANG

4.1 Analisis Penempatan Kapasitor Dengan *Microgenetic Algorithm* dan *Fuzzy Logic*

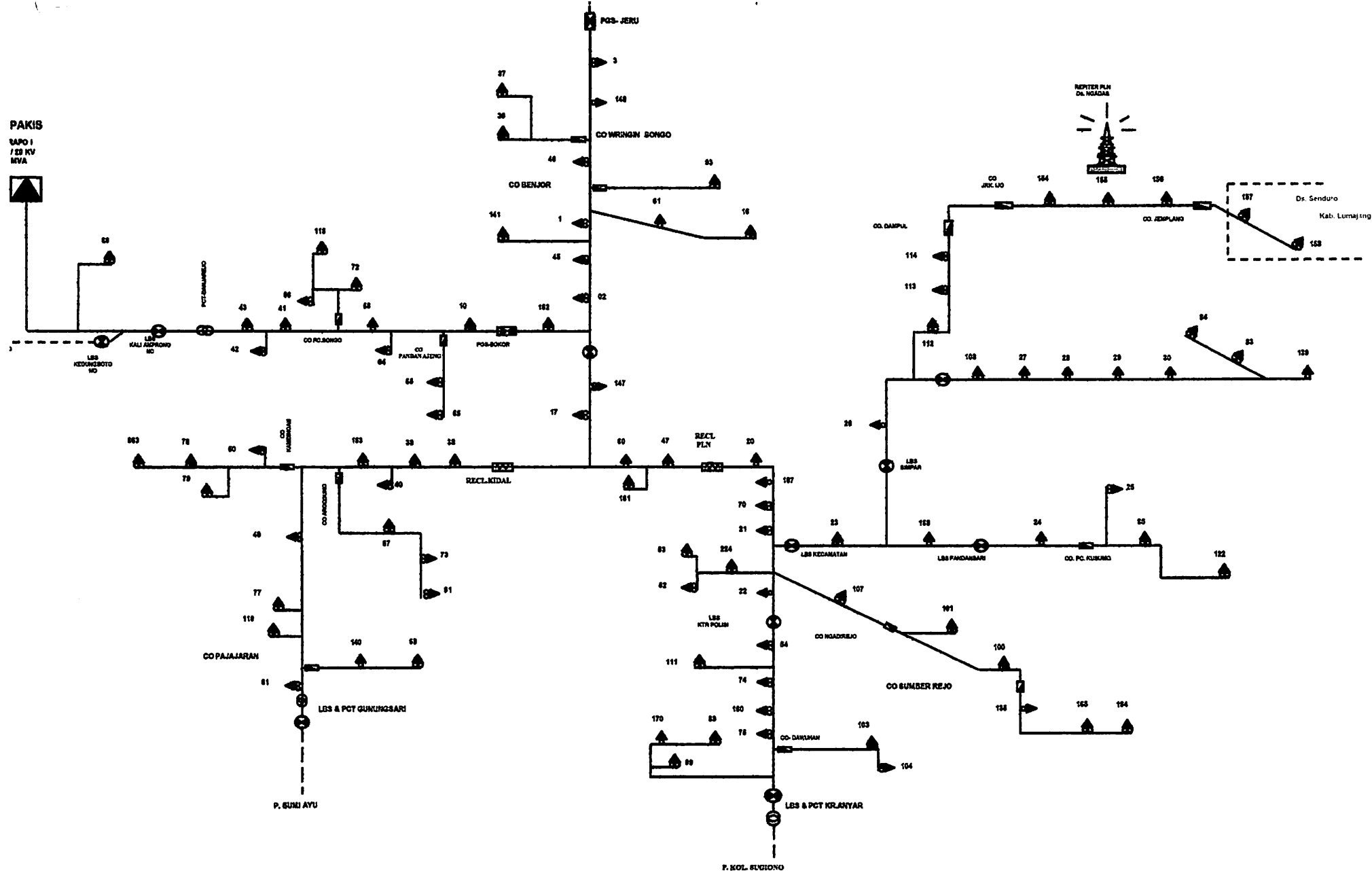
Pilihan suatu metode solusi untuk aplikasi praktis sering sulit, pilihan itu memerlukan analisis yang cermat atas kelebihan-kelebihan dan kekurangan-kekurangan pada banyak metode yang tersedia. Untuk solusi dari permasalahan-permasalahan diatas maka digunakan suatu alternatif yaitu metode *Microgenetic Algorithm* dan *Fuzzy Logic* yang menyediakan cara yang lebih baik dalam menganalisis penempatan kapasitor.

Pada skripsi ini aringan yang dibahas adalah jaringan distribusi primer 20 kV dengan mengambil data dari penyulang Tumpang GI PAKIS, Malang. Pada penyulang tumpang ini terdapat 129 *node* yang terpasang sepanjang saluran. Panjang saluran penyulang ini sejauh $\pm 125,1165$ km. Untuk *single line digram* dari penyulang Tumpang ini dapat dilihat pada gambar 4-1 dan dapat diketahui bahwa penyulang ini menggunakan jaringan distribusi type radial.

Dalam menganalisa penempatan kapasitor, disini menggunakan program komputer. Pada prinsipnya penggunaan program komputer dapat menganalisa sebuah jaringan distribusi radial dengan jumlah cabang atau jumlah bus yang tidak terbatas tergantung dari tersedianya jumlah memori yang tersedia pada komputer yang digunakan.

PAKIS

TAPO I
/22 KV
MVA



Gambar 4-1 Single Line Diagram Penyulang Tumpang

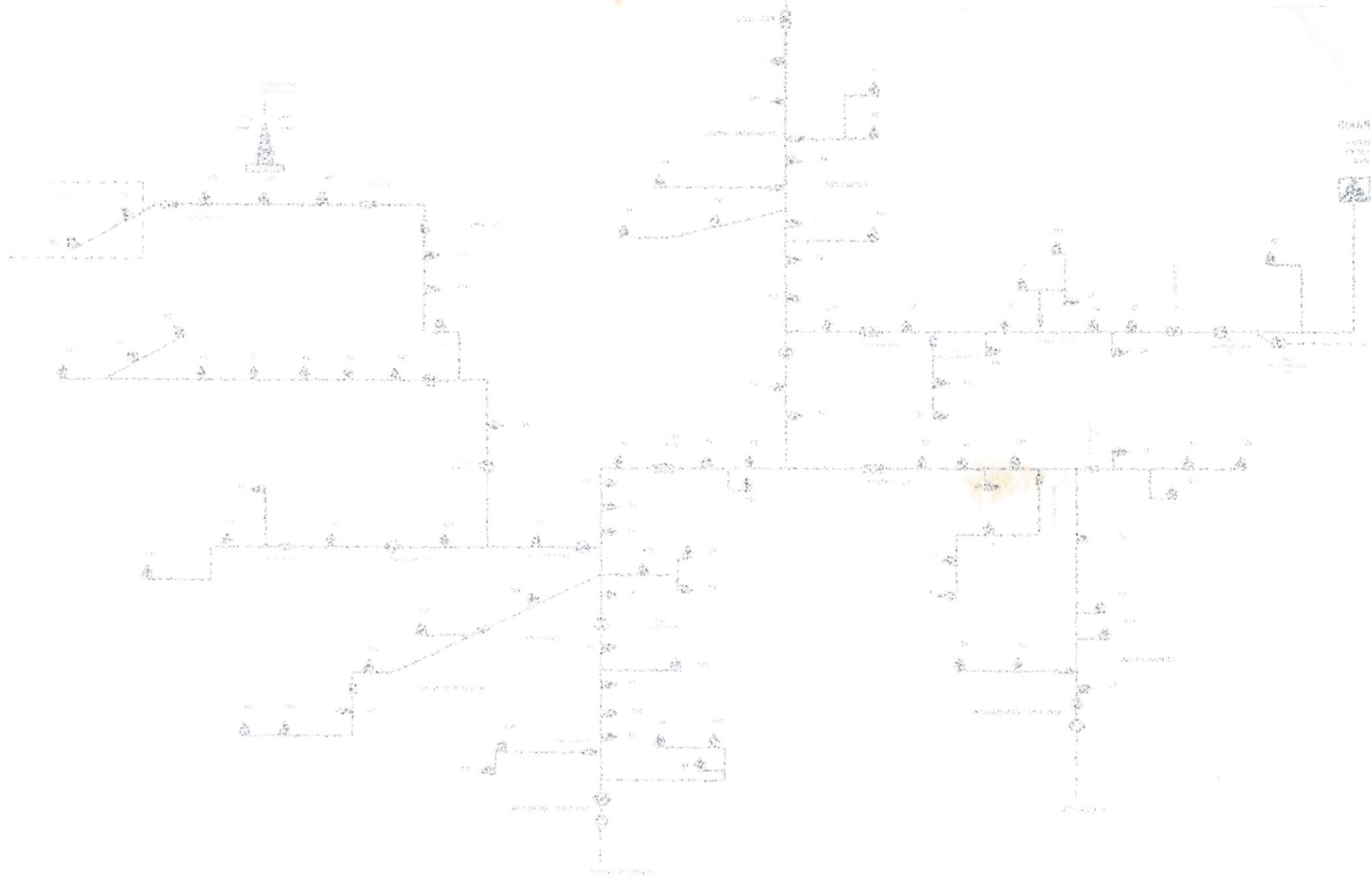


Figure 1. Phylogenetic tree of Drosophila melanogaster

4.2. Data Perhitungan

Perhitungan aliran daya ini mengambil data dari GI Pakis Malang yang melayani 5 (lima) buah penyulang dengan 1 (satu) buah trafo yang berkapasitas 150/20 kV-30 MVA. Namun pada skripsi ini hanya menganalisa satu penyulang saja, yaitu pada penyulang Tumpang.

Sistem distribusi radial GI Pakis memakai tegangan distribusi 20 kV. Untuk menyelesaikan perhitungan aliran daya terlebih dahulu ditetapkan *single line diagram* yang akan dianalisa. Agar perhitungan lebih mudah maka digunakan system per-unit (pu), dimana dasar yang digunakan :

- Tegangan dasar : 20 kV
- Daya dasar : 100 kVA

Selanjutnya node-node yang ada diklasifikasikan, yaitu Busbar GI Pakis diasumsikan sebagai slack bus, sedangkan node-node yang lain sepanjang saluran radial dipandang sebagai load bus. Dalam hal ini tidak ada bus generator karena sepanjang saluran tidak terdapat pembangkitan.

4.2.1. Data Saluran

Jaringan distribusi primer GI Pakis menggunakan saluran kabel udara dengan spesifikasi seperti pada tabel 4-1.

Tabel 4-1
Spesifikasi Saluran

Jenis Konduktor	Penampang Nominal (mm) ²	Impedansi Saluran (Ω/km)	GMR (mm)	Kuat Hantar Arus (A)
AAAC	150	0,2162+j 0.3305	5,2365	425

Adapun data saluran penyulang Tumpang seperti pada tabel 4-2.

Tabel 4-2
Data Saluran Penyulang Tumpang

Dari Bus	Ke Bus	Jenis Kabel	Jarak (km)	R(ohm)	X(ohm)
1	2	AAAC 150	1,80414	0,39006	0,59627
2	3	AAAC 150	0,82665	0,17872	0,27321
2	4	AAAC 150	0,65357	0,1413	0,216
4	5	AAAC 150	0,32118	0,06944	0,10615
5	6	AAAC 150	0,45644	0,09868	0,15085
5	7	AAAC 150	0,61128	0,13216	0,20203
7	8	AAAC 150	0,35097	0,07588	0,11600
8	9	AAAC 150	0,66696	0,14420	0,22043
9	10	AAAC 150	0,41766	0,09030	0,13804
9	11	AAAC 150	0,91795	0,19846	0,30338
11	12	AAAC 150	0,04103	0,00887	0,01356
11	13	AAAC 150	0,41039	0,08873	0,13563
8	14	AAAC 150	0,1754	0,03792	0,05797
14	15	AAAC 150	0,19514	0,04219	0,06449
15	16	AAAC 150	1,10235	0,23833	0,36433
15	17	AAAC 150	0,62622	0,13539	0,20697
17	18	AAAC 150	1,24697	0,26959	0,41212
18	19	AAAC 150	1,05759	0,22865	0,34953
17	20	AAAC 150	1,12091	0,24234	0,37046
20	21	AAAC 150	1,63111	0,35265	0,53908
21	22	AAAC 150	0,38403	0,08303	0,12692

22	23	AAAC 150	0,10687	0,02311	0,03532
23	24	AAAC 150	0,14463	0,03127	0,04780
24	25	AAAC 150	0,21983	0,04753	0,07265
25	26	AAAC 150	0,21553	0,04660	0,07123
25	27	AAAC 150	0,05738	0,01241	0,01896
27	28	AAAC 150	0,09667	0,02090	0,03195
28	29	AAAC 150	0,1432	0,03096	0,04733
29	30	AAAC 150	0,7055	0,15253	0,23317
28	31	AAAC 150	0,09171	0,01983	0,03031
31	32	AAAC 150	5,81678	1,25759	1,92245
31	33	AAAC 150	0,13107	0,02834	0,04332
33	34	AAAC 150	0,28721	0,06209	0,09492
34	35	AAAC 150	1,40329	0,30339	0,46379
35	36	AAAC 150	0,20561	0,04445	0,06795
35	37	AAAC 150	0,6874	0,14862	0,22719
34	38	AAAC 150	0,44708	0,09666	0,14776
38	39	AAAC 150	0,45447	0,09826	0,15020
22	40	AAAC 150	0,3683	0,07963	0,12172
40	41	AAAC 150	0,37527	0,08113	0,12403
41	42	AAAC 150	0,07926	0,01714	0,02620
42	43	AAAC 150	1,36049	0,29414	0,44964
43	44	AAAC 150	1,0827	0,23408	0,35783
44	45	AAAC 150	0,09054	0,01957	0,02992
45	46	AAAC 150	0,13481	0,02915	0,04455
45	47	AAAC 150	0,31916	0,06900	0,10548
47	48	AAAC 150	0,07734	0,01672	0,02556
48	49	AAAC 150	1,98504	0,42917	0,65606
49	50	AAAC 150	0,8712	0,18835	0,28793
50	51	AAAC 150	1,02611	0,22184	0,33913
48	52	AAAC 150	2,27173	0,49115	0,75081
52	53	AAAC 150	0,26156	0,05655	0,08645
53	54	AAAC 150	0,07325	0,01584	0,02421
53	55	AAAC 150	1,88792	0,40817	0,62396
55	56	AAAC 150	1,6756	0,36226	0,55379
55	57	AAAC 150	0,48563	0,10499	0,16050
57	58	AAAC 150	2,1451	0,46377	0,70896
52	59	AAAC 150	0,49853	0,10778	0,16476
59	60	AAAC 150	0,25835	0,05586	0,08538
60	61	AAAC 150	1,62653	0,35166	0,53757
60	62	AAAC 150	0,85873	0,18566	0,28381

62	63	AAAC 150	1,04437	0,22579	0,34516
62	64	AAAC 150	0,2175	0,04702	0,07188
64	65	AAAC 150	0,30139	0,06516	0,09961
64	66	AAAC 150	1,20862	0,26130	0,39945
66	67	AAAC 150	0,21159	0,04575	0,06993
42	68	AAAC 150	0,42204	0,09125	0,13948
68	69	AAAC 150	0,46147	0,09977	0,15252
69	70	AAAC 150	0,59644	0,12895	0,19712
69	71	AAAC 150	0,14444	0,03123	0,04774
71	72	AAAC 150	0,36326	0,07854	0,12006
72	73	AAAC 150	0,06005	0,01298	0,01985
73	74	AAAC 150	1,2255	0,26495	0,40503
74	75	AAAC 150	0,54189	0,11716	0,17909
75	76	AAAC 150	0,53488	0,11564	0,17678
76	77	AAAC 150	0,04909	0,01061	0,01622
77	78	AAAC 150	0,56593	0,12235	0,18704
78	79	AAAC 150	0,90865	0,19645	0,30031
79	80	AAAC 150	0,40073	0,08664	0,13244
79	81	AAAC 150	0,06005	0,01298	0,01985
77	82	AAAC 150	0,21926	0,04740	0,07247
82	83	AAAC 150	0,50759	0,10974	0,16776
83	84	AAAC 150	0,96079	0,20772	0,31754
84	85	AAAC 150	0,5969	0,12905	0,19728
84	86	AAAC 150	1,22914	0,26574	0,40623
86	87	AAAC 150	0,25168	0,05441	0,08318
87	88	AAAC 150	1,93151	0,41759	0,63836
88	89	AAAC 150	0,02097	0,00453	0,00693
89	90	AAAC 150	0,99091	0,21423	0,32750
90	91	AAAC 150	1,41627	0,30620	0,46808
89	92	AAAC 150	0,64097	0,13858	0,21184
92	93	AAAC 150	0,21263	0,04597	0,07027
92	94	AAAC 150	0,38759	0,08380	0,12810
94	95	AAAC 150	0,37838	0,08181	0,12505
77	96	AAAC 150	0,91237	0,19725	0,30154
96	97	AAAC 150	1,10752	0,23945	0,36604
97	98	AAAC 150	1,15876	0,25052	0,38297
97	99	AAAC 150	2,1284	0,46016	0,70344
99	100	AAAC 150	2,04255	0,44160	0,67506
100	101	AAAC 150	1,19628	0,25864	0,39537
101	102	AAAC 150	3,20652	0,69325	1,05975

76	103	AAAC 150	1,35951	0,29393	0,44932
103	104	AAAC 150	0,18837	0,04073	0,06226
104	105	AAAC 150	0,24406	0,05277	0,08066
105	106	AAAC 150	2,54212	0,54961	0,84017
106	107	AAAC 150	0,48657	0,10520	0,16081
107	108	AAAC 150	0,25466	0,05506	0,08417
107	109	AAAC 150	2,00062	0,43253	0,66120
109	110	AAAC 150	1,2041	0,26033	0,39796
104	111	AAAC 150	0,74333	0,16071	0,24567
111	112	AAAC 150	0,88399	0,19112	0,29216
112	113	AAAC 150	0,71388	0,15434	0,23594
113	114	AAAC 150	1,58924	0,34359	0,52524
114	115	AAAC 150	1,10974	0,23993	0,36677
115	116	AAAC 150	1,79788	0,38870	0,59420
116	117	AAAC 150	1,08765	0,23515	0,35947
117	118	AAAC 150	0,43158	0,09331	0,14264
118	119	AAAC 150	3,89207	0,84147	1,28633
118	120	AAAC 150	1,48563	0,32119	0,49100
120	121	AAAC 150	2,2495	0,48634	0,74346
112	122	AAAC 150	1,07319	0,23202	0,35469
122	123	AAAC 150	1,40817	0,30445	0,46540
123	124	AAAC 150	1,90856	0,41263	0,63078
124	125	AAAC 150	8,22295	1,77780	2,71768
125	126	AAAC 150	0,79359	0,17157	0,26228
126	127	AAAC 150	3,11916	0,67436	1,03088
127	128	AAAC 150	6,68201	1,44465	2,20840
128	129	AAAC 150	0,78414	0,16953	0,25916

4.2.2. Data Pembebanan

Data pembebanan diperoleh dengan mengambil data dari masing-masing trafo distribusi, dimana besarnya beban pada masing-masing fasa diasumsikan seimbang. Jika besarnya pembebanan adalah nol, maka pada node tidak terdapat trafo distribusi tetapi hanya merupakan simpul. Pada tahap ini rugi-rugi yang terjadi pada trafo distribusi diabaikan, adapun data-data pembebanan seperti pada tabel 4-3.

Tabel 4-3
Data Pembebanan Penyulang Tumpang

No. Node	PEMBEBANAN			Type
	S (kVA)	P (kW)	Q (kVAR)	
1	0,00000	0,00000	0,00000	Slack
2	0,00000	0,00000	0,00000	Load
3	45,68000	38,82800	24,06343	Load
4	97,90000	83,21500	51,57203	Load
5	0,00000	0,00000	0,00000	Load
6	93,53000	79,50050	49,26998	Load
7	56,50000	48,02500	29,76322	Load
8	0,00000	0,00000	0,00000	Load
9	0,00000	0,00000	0,00000	Load
10	47,74000	40,57900	25,14861	Load
11	0,00000	0,00000	0,00000	Load
12	85,89000	73,00650	45,24537	Load
13	22,46000	19,09100	11,83154	Load
14	89,15000	75,77750	46,96268	Load
15	0,00000	0,00000	0,00000	Load
16	64,02000	54,41700	33,72463	Load
17	0,00000	0,00000	0,00000	Load
18	71,28000	60,58800	37,54907	Load
19	103,25000	87,76250	54,39031	Load
20	108,86000	92,53100	57,34556	Load
21	85,54000	72,70900	45,06099	Load
22	0,00000	0,00000	0,00000	Load
23	99,90000	84,91500	52,62559	Load
24	120,51000	102,43350	63,48258	Load
25	0,00000	0,00000	0,00000	Load
26	48,40000	41,14000	25,49628	Load
27	62,64000	53,24400	32,99767	Load
28	0,00000	0,00000	0,00000	Load
29	118,92000	101,08200	62,64500	Load
30	103,92000	88,33200	54,74326	Load
31	0,00000	0,00000	0,00000	Load
32	64,56000	54,87600	34,00909	Load
33	147,49000	125,36650	77,69518	Load
34	0,00000	0,00000	0,00000	Load

35	0,00000	0,00000	0,00000	Load
36	47,95000	40,75750	25,25923	Load
37	62,87000	53,43950	33,11883	Load
38	107,88000	91,69800	56,82932	Load
39	150,90000	128,26500	79,49151	Load
40	95,68000	81,32800	50,40257	Load
41	102,13000	86,81050	53,80032	Load
42	0,00000	0,00000	0,00000	Load
43	87,82000	74,64700	46,26206	Load
44	133,15000	113,17750	70,14111	Load
45	0,00000	0,00000	0,00000	Load
46	73,04000	62,08400	38,47621	Load
47	36,80000	31,28000	19,38560	Load
48	0,00000	0,00000	0,00000	Load
49	91,15000	77,47750	48,01624	Load
50	56,94000	48,39900	29,99501	Load
51	146,20000	124,27000	77,01563	Load
52	0,00000	0,00000	0,00000	Load
53	0,00000	0,00000	0,00000	Load
54	101,01000	85,85850	53,21032	Load
55	0,00000	0,00000	0,00000	Load
56	60,48000	51,40800	31,85982	Load
57	61,11000	51,94350	32,19169	Load
58	89,60000	76,16000	47,19973	Load
59	89,45000	76,03250	47,12071	Load
60	0,00000	0,00000	0,00000	Load
61	30,74000	26,12900	16,19330	Load
62	0,00000	0,00000	0,00000	Load
63	20,83000	17,70550	10,97288	Load
64	0,00000	0,00000	0,00000	Load
65	58,22000	49,48700	30,66929	Load
66	86,32000	73,37200	45,47188	Load
67	137,70000	117,04500	72,53798	Load
68	38,18000	32,45300	20,11256	Load
69	0,00000	0,00000	0,00000	Load
70	33,87000	28,78950	17,84213	Load
71	37,28000	31,68800	19,63846	Load
72	67,80000	57,63000	35,71587	Load
73	80,01000	68,00850	42,14788	Load
74	80,09000	68,07650	42,19003	Load

75	105,12000	89,35200	55,37540	Load
76	0,00000	0,00000	0,00000	Load
77	0,00000	0,00000	0,00000	Load
78	100,33000	85,28050	52,85211	Load
79	0,00000	0,00000	0,00000	Load
80	38,85000	33,02250	20,46551	Load
81	44,90000	38,16500	23,65254	Load
82	112,44000	95,57400	59,23145	Load
83	106,59000	90,60150	56,14977	Load
84	0,00000	0,00000	0,00000	Load
85	30,60000	26,01000	16,11955	Load
86	94,89000	80,65650	49,98641	Load
87	108,34000	92,08900	57,07164	Load
88	51,05000	43,39250	26,89226	Load
89	0,00000	0,00000	0,00000	Load
90	44,10000	37,48500	23,23112	Load
91	43,46000	36,94100	22,89398	Load
92	0,00000	0,00000	0,00000	Load
93	65,63000	55,78550	34,57275	Load
94	25,88000	21,99800	13,63314	Load
95	59,84000	50,86400	31,52268	Load
96	54,15000	46,02750	28,52528	Load
97	0,00000	0,00000	0,00000	Load
98	86,31000	73,36350	45,46661	Load
99	42,95000	36,50750	22,62532	Load
100	35,92000	30,53200	18,92203	Load
101	7,05000	5,99250	3,71382	Load
102	6,13000	5,21050	3,22918	Load
103	106,79000	90,77150	56,25512	Load
104	0,00000	0,00000	0,00000	Load
105	70,07000	59,55950	36,91166	Load
106	57,66000	49,01100	30,37429	Load
107	0,00000	0,00000	0,00000	Load
108	92,86000	78,93100	48,91704	Load
109	129,15000	109,77750	68,03398	Load
110	33,12000	28,15200	17,44704	Load
111	25,06000	21,30100	13,20117	Load
112	0,00000	0,00000	0,00000	Load
113	27,87000	23,68950	14,68143	Load
114	79,79000	67,82150	42,03199	Load

115	56,13000	47,71050	29,56831	Load
116	66,28000	56,33800	34,91516	Load
117	57,81000	49,13850	30,45331	Load
118	0,00000	0,00000	0,00000	Load
119	34,63000	29,43550	18,24248	Load
120	50,88000	43,24800	26,80270	Load
121	64,99000	55,24150	34,23561	Load
122	59,16000	50,28600	31,16446	Load
123	22,08000	18,76800	11,63136	Load
124	38,25000	32,51250	20,14944	Load
125	4,38000	3,72300	2,30731	Load
126	19,87000	16,88950	10,46717	Load
127	33,17000	28,19450	17,47338	Load
128	16,01000	13,60850	8,43379	Load
129	17,64000	14,99400	9,29245	Load

4.3. Data Kapasitas kapasitor dan Harga (**Cost/ kVAR**).

Tabel 4-5 berikut menunjukkan harga dari kapasitor/kvar dimana data yang tersedia disesuaikan dengan data harga yang ada di jurnal.

Tabel 4-4
Harga Kapasitor

type	cost(\$/kvar)
fixed	1.0
switched	1.3

4.4. Analisa Perhitungan

Perhitungan penempatan kapasitor diawali dengan melakukan studi aliran daya dengan menggunakan metode *Newton Raphson*. Studi aliran daya dilakukan untuk mengetahui harga tegangan dan sudut fasa tiap-tiap bus, arus yang mengalir pada saluran, dan aliran daya tiap saluran. Setelah studi aliran daya dilakukan, barulah dilakukan perhitungan rugi-rugi daya pada saluran.

Untuk memudahkan perhitungan dan analisa pada sistem tenaga, biasanya dipakai harga-harga dalam persatuan. Harga persatuan adalah harga yang sebenarnya dibagi dengan harga dasar, harga dasar ini dapat dipilih sembarang. Harga yang dipilih pada studi ini adalah 20 kV dan 100 kVA sebagai harga tegangan dasar dan daya dasar. Mengingat bahwa pada jaringan tidak dilakukan pengukuran faktor daya maka pada perhitungan ini diambil harga faktor daya diasumsikan 0,85.

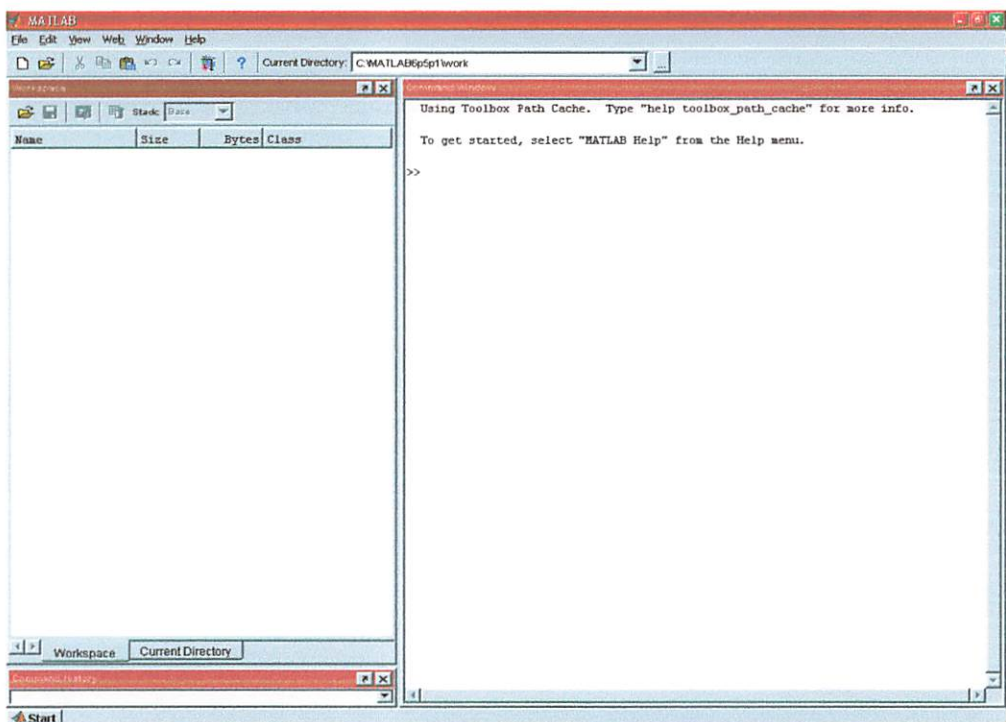
Perhitungan diawali dengan menampilkan single line diagram dari penyulang yang mewakili keadaan sistem yang sesungguhnya. Dari gambar 4-1 diperlihatkan single line diagram dari penyulang Tumpang. Pada penyulang ini jumlah bus dan saluran masing-masing adalah :

- ❖ Slack bus = 1
- ❖ Load bus = 128
- ❖ Jumlah saluran = 128

4.3. Prodesur Pelaksanaan Program Perhitungan.

Produser menjalankan program perhitungan dengan menggunakan bahasa pemrograman MATLAB 7.0.4 dapat dilakukan sebagai berikut :

1. Tampilan Utama Program MATLAB 7.0.4



GAMBAR 4-2 TAMPILAN UTAMA PROGRAM MATLAB 7.0.4

Pada gambar 4-2 merupakan tampilan utama program simulasi matlab 7.0.4 sebelum menjalankan program yang mana terlebih dahulu telah dimasukkan data-data yang dibutuhkan yaitu data pembebatan, data saluran,

Parasitology in the field of medical research 123

and the development of new and effective methods to combat them.

The most important contributions have been made by A.R. and co-workers

(1967) to the study of the biology of *Leishmania*.

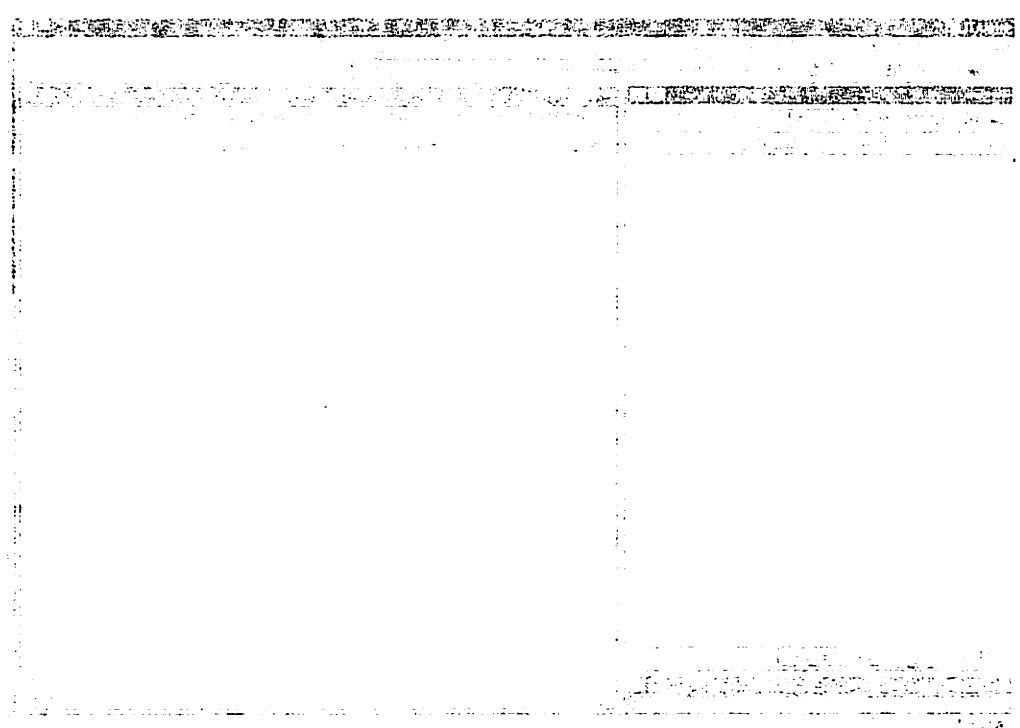
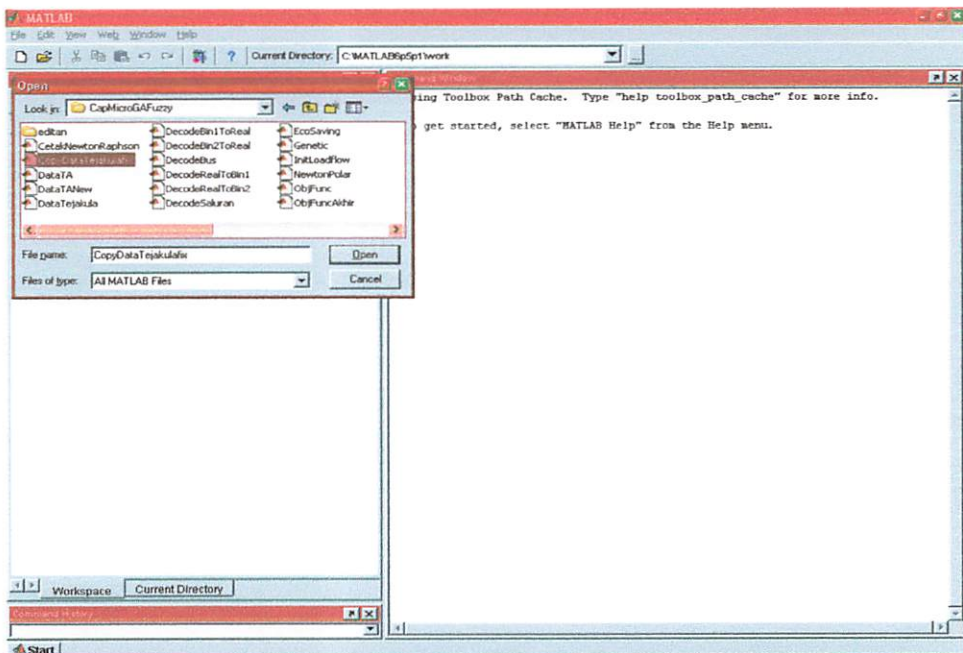


Fig. 1. Drawing of *Leishmania* from a light micrograph of living cells.

and their colleagues (1967, 1970, 1971, 1972, 1973, 1974, 1975, 1976) who have studied the biology of *Leishmania* from the point of view of the cell. They have shown that the parasite has a complex structure, with a nucleus, nucleolus, and other membrane-bound organelles, including mitochondria and microbodies. The cell wall is composed of a lipid bilayer, and the surface is covered with various proteins and carbohydrates. The nucleus contains chromatin and nucleolus, and the cytoplasm contains various organelles such as endoplasmic reticulum, Golgi apparatus, and vesicles.

The most striking feature of the cell is the presence of a large, dense mass of

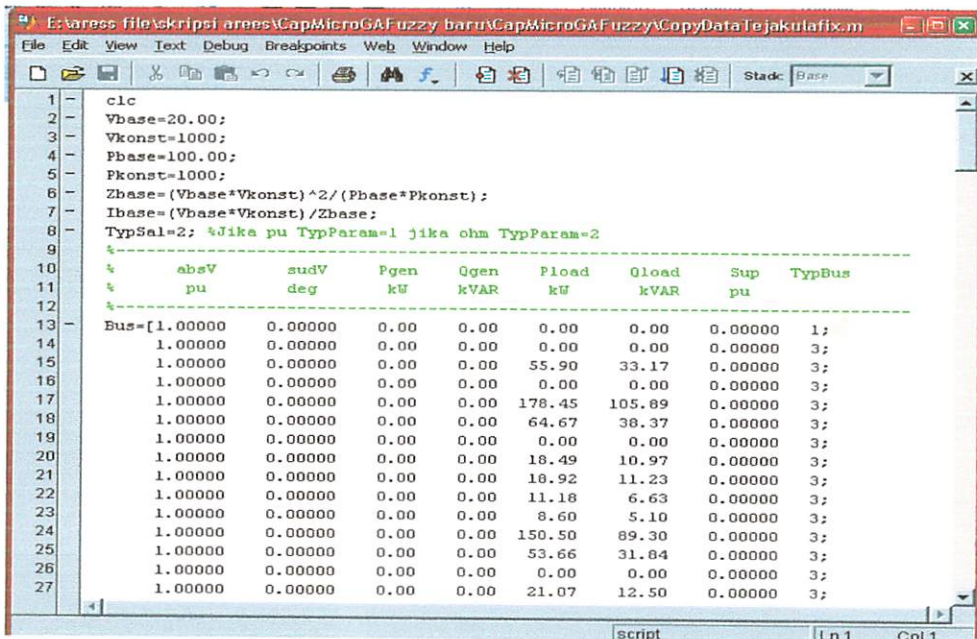
2. Tekan *open file* untuk membuka data yang sudah tersimpan, pilih data kemudian klik *open* untuk membuka data inputan



GAMBAR 4-3 TAMPILAN INPUTAN DATA

Pada gambar 4-3 merupakan tampilan dari inputan data yang tersimpan dan untuk membuka data yang tersimpan *klik open file* yang ada pada pojok kiri atas, kemudian akan muncul pilihan *file* seperti yang terlihat pada gambar tampilan tandai dan kemudian *klik open* untuk membuka inputan data yang dibutuhkan. Setelah itu lanjut ke langkah 3.

3. Tampilan inputan data pembebanan, gerakan scroll ke bawah untuk melihat tampilan inputan data saluran



```

1 - clc
2 - Vbase=20.00;
3 - Vkonst=1000;
4 - Pbase=100.00;
5 - Pkonst=1000;
6 - Zbase=(Vbase*Vkonst)^2/(Pbase*Pkonst);
7 - Ibase=(Vbase*Vkonst)/Zbase;
8 - TypSel=2; %Jika pu TypParam=1 jika ohm TypParam=2
9 -
10 - %----- Bus absV sudV Pgen Qgen Pload Qload Sup TypBus
11 - %----- pu deg kW kVAR kW kVAR pu
12 - %----- Bus=[1.00000 0.00000 0.00 0.00 0.00 0.00 0.00000 1;
13 - 1.00000 0.00000 0.00 0.00 0.00 0.00 0.00000 3;
14 - 1.00000 0.00000 0.00 0.00 55.90 33.17 0.00000 3;
15 - 1.00000 0.00000 0.00 0.00 0.00 0.00 0.00000 3;
16 - 1.00000 0.00000 0.00 0.00 0.00 0.00 0.00000 3;
17 - 1.00000 0.00000 0.00 0.00 178.45 105.89 0.00000 3;
18 - 1.00000 0.00000 0.00 0.00 64.67 38.37 0.00000 3;
19 - 1.00000 0.00000 0.00 0.00 0.00 0.00 0.00000 3;
20 - 1.00000 0.00000 0.00 0.00 18.49 10.97 0.00000 3;
21 - 1.00000 0.00000 0.00 0.00 18.92 11.23 0.00000 3;
22 - 1.00000 0.00000 0.00 0.00 11.18 6.63 0.00000 3;
23 - 1.00000 0.00000 0.00 0.00 8.60 5.10 0.00000 3;
24 - 1.00000 0.00000 0.00 0.00 150.50 89.30 0.00000 3;
25 - 1.00000 0.00000 0.00 0.00 53.66 31.84 0.00000 3;
26 - 1.00000 0.00000 0.00 0.00 0.00 0.00 0.00000 3;
27 - 1.00000 0.00000 0.00 0.00 21.07 12.50 0.00000 3;

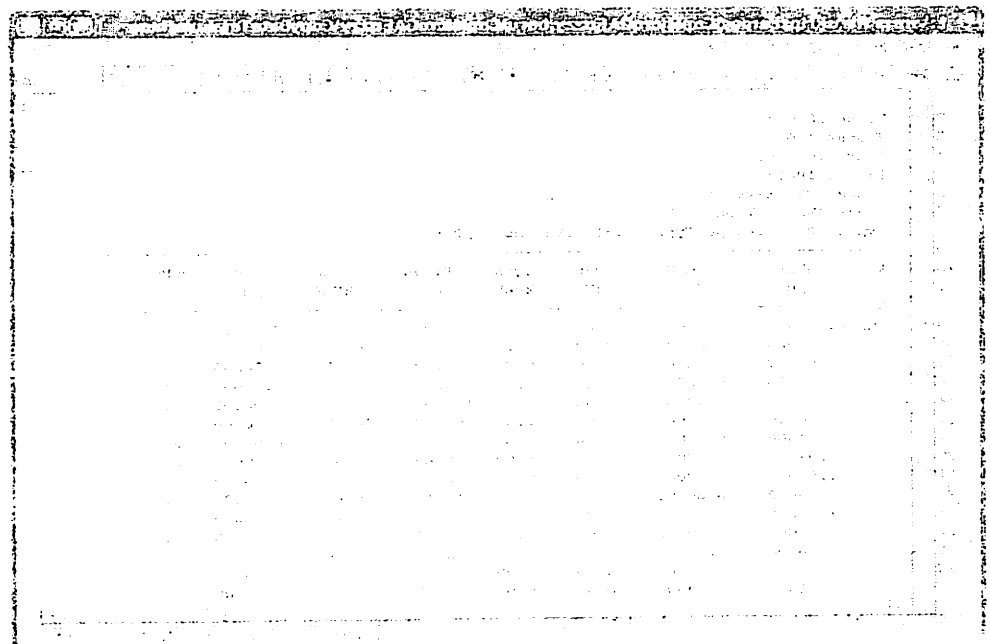
```

GAMBAR 4-4 TAMPILAN INPUTAN DATA PEMBEBANAN

Pada gambar 4-4 terlihat tampilan inputan data pembebanan yang mana pembebanan diperoleh dengan mengambil data dari masing – masing trafo distribusi, dimana besarnya beban pada masing – masing fasa diasumsikan seimbang dengan mengasumsi factor daya 0,85.

different drivers demand different control and feedback loops across distributed architecture. A

multidisciplinary approach is required.



3.3.3. Design of a distributed control system and standards

Designing a distributed control system requires a significant amount of time and energy. In fact, it is not always possible to implement such a system. In order to implement distributed control systems, it is necessary to have a good understanding of the system requirements, the available resources, and the constraints of the system. It is also important to have a clear understanding of the system architecture and the communication protocols used.

A distributed control system is a system that consists of multiple

4. Gerakan scroll ke bawah untuk melihat tampilan inputan data saluran.

```

E:\ares\file\skripsi\areses\CapMicroGAFuzzy_baru\CapMicroGAFuzzy\CopyDataTejakulafix.m
File Edit View Text Debug Breakpoints Web Window Help
Stack Base
85 - [Nbust,Beban,Cap]=DecodeBus(Bus);
86 -
87 % from to R X Lc tr absPh SudPh Kap Sel
88 %
89 - Sal= [ 1 2 1.89748 2.90063 0.00000 0.00000 0.00000 0.00000 10000;
90 - 2 3 0.14055 0.21486 0.00000 0.00000 0.00000 0.00000 10000;
91 - 2 4 1.67884 2.56640 0.00000 0.00000 0.00000 0.00000 10000;
92 - 4 5 0.49975 0.76395 0.00000 0.00000 0.00000 0.00000 10000;
93 - 4 20 0.17179 0.26261 0.00000 0.00000 0.00000 0.00000 10000;
94 - 5 6 0.28267 0.43211 0.00000 0.00000 0.00000 0.00000 10000;
95 - 6 7 0.07496 0.11459 0.00000 0.00000 0.00000 0.00000 10000;
96 - 7 8 0.64030 0.97882 0.00000 0.00000 0.00000 0.00000 10000;
97 - 7 12 0.70277 1.07431 0.00000 0.00000 0.00000 0.00000 10000;
98 - 8 9 0.12181 0.18621 0.00000 0.00000 0.00000 0.00000 10000;
99 - 9 10 0.13587 0.20770 0.00000 0.00000 0.00000 0.00000 10000;
100 - 10 11 0.21864 0.33423 0.00000 0.00000 0.00000 0.00000 10000;
101 - 12 13 0.11869 0.18144 0.00000 0.00000 0.00000 0.00000 10000;
102 - 13 14 0.07652 0.11698 0.00000 0.00000 0.00000 0.00000 10000;
103 - 14 15 0.19521 0.29842 0.00000 0.00000 0.00000 0.00000 10000;
104 - 14 16 0.04685 0.07162 0.00000 0.00000 0.00000 0.00000 10000;
105 - 16 17 0.12025 0.18383 0.00000 0.00000 0.00000 0.00000 10000;
106 - 17 18 0.12181 0.18621 0.00000 0.00000 0.00000 0.00000 10000;
107 - 18 19 0.13743 0.21009 0.00000 0.00000 0.00000 0.00000 10000;
108 - 20 21 0.12181 0.18621 0.00000 0.00000 0.00000 0.00000 10000;
109 - 21 22 0.12650 0.19338 0.00000 0.00000 0.00000 0.00000 10000;
110 - 22 23 0.24050 0.36765 0.00000 0.00000 0.00000 0.00000 10000;
111 - 23 24 0.14524 0.22202 0.00000 0.00000 0.00000 0.00000 10000;

```

GAMBAR 4-5 TAMPILAN INPUTAN DATA SALURAN

Pada gambar 4-5 terlihat tampilan inputan data saluran yang mana jaringan distribusi Penyulang Tumpang menggunakan kabel saluran udara dengan jenis konduktor yang digunakan adalah AAC (*all-aluminium-alloyconductors*) berpenampang nominal 150 mm^2 dengan impedansi saluran $0.2162 + j0.3305 \Omega/\text{km}$,

5. Kemudian klik *debug* setelah itu tampil pilihan, pilih *run* untuk menjalankan program.

```

184 lambdaS=10;
185 lambdaCap=
186 global la
187 CapBank=5;
188 Nbank=8;
189 costFixed =1.0;
190 costSwitch=1.3;
191 global Nbank CapBank costFixed costSwitch;
192 Vmin=0.95;
193 Vmax=1.05;
194 global Vmin Vmax;
195 %
196 %
197 %Inisial loadlow sebelum penempatan kapasitor
198 [Plow,Pmed,Ppeal]=InitLoadflow;
199 global Plow Pmed Ppeal;
200 %Parameter Genetic Algorithm
201 MaxGen=10;
202 PopSize=10;
203 Pcross=0.75;
204 Param=Nbus;
205 Length=10;
206 K=1000000000;
207 Ncap=4;
208 [sen]=Sensitivitas;
209 global sen;
210 [aMin,aAvg,aMax,BestChrom]=Genetic(MaxGen,PopSize,Pcross, ...

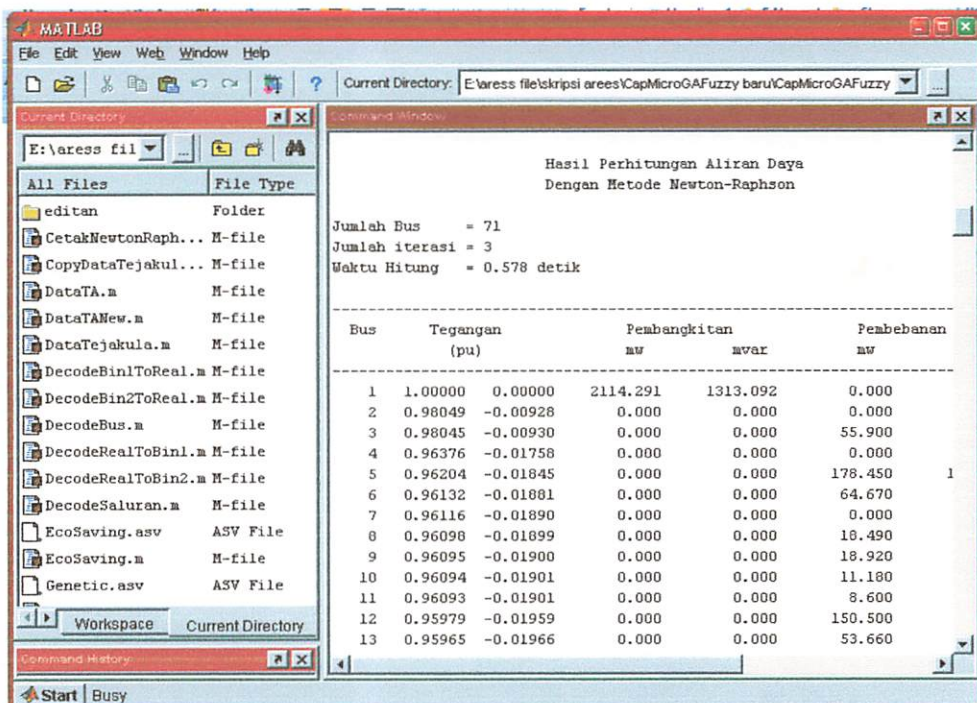
```

GAMBAR 4-6 TAMPILAN UNTUK MENJALANKAN PROGRAM

Pada gambar 4-6 adalah tampilan untuk menjalankan program matlab 7.0.4.

Pilih file dengan nama *debug* kemudian klik, setelah itu muncul seperti yang terlihat pada tampilan kemudian pilih *run* dan klik untuk menjalankan program matlab 7.0.4. setelah itu lanjut ke langkah berikutnya.

6. Setelah menunggu beberapa saat muncul tampilan hasil perhitungan aliran daya dengan metode *Newton Rhapsom* untuk mengetahui tegangan dan sudut fasa tiap bus sebelum optimasi.



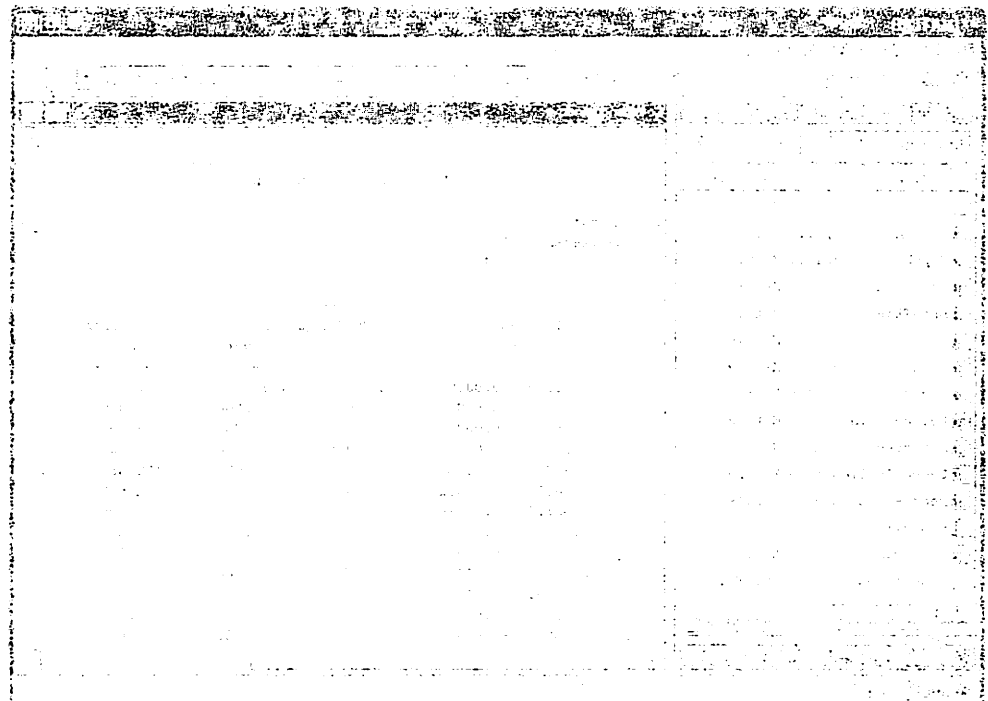
GAMBAR 4-7 TAMPILAN HASIL UNTUK MENGETAHUI TEGANGAN

DAN SUDUT FASA TIAP BUS SEBELUM OPTIMASI

Pada gambar 4-7 terlihat tampilan hasil dari tegangan dan sudut fasa tiap bus, juga nilai P, Q dari pembangkitan dan pembebanan sebelum optimasi hasil dari perhitungan aliran daya dengan menggunakan *metode newton rhapsom*.

Dari hasil perhitungan ini dapat terlihat jatuh tegangan yang tidak di izinkan yang terdapat pada bus 44-129 dimana tegangan yang di izinkan yaitu 0.95 pu s/d 1.05 pu . Pada table 4-3 diperlihatkan bus-bus yang terdapat jatuh tegangan.

regulation. Most significant however was the lack regulation which is such an important consideration when assessing whether certain minerals need controls. Interestingly regulation and public health safety



A significant portion of the document's content has been removed by this redaction.

REVIEW OF THE MINERAL REGULATORY ACTS OF 2010

As highlighted in the previous section, the proposed legislation will have significant implications on the mining industry and on the environment. The following shall highlight some of the key issues and concerns with the proposed legislation, both in terms of environmental impact and potential economic impact. It is important to note that the proposed legislation is still in its early stages and may undergo significant changes before it is finalized. The following analysis is based on the current version of the proposed legislation and may change as the process continues.

Tabel 4-5
Tegangan dan Sudut Fasa Tiap Bus Penyulang Tumpang
Sebelum Kompensasi

Bus	Tegangan		Bus	Tegangan	
	pu	sudut(rad)		pu	sudut(rad)
1	100000	0.00000	36	0.95439	-0.02103
2	0.98897	-0.00490	37	0.95435	-0.02104
3	0.98894	-0.00492	38	0.95443	-0.02101
4	0.98501	-0.00669	39	0.95437	-0.02104
5	0.98310	-0.00756	40	0.95380	-0.02130
6	0.98306	-0.00758	41	0.95230	-0.02203
7	0.97950	-0.00920	42	0.95199	-0.02218
8	0.97746	-0.01014	43	0.95024	-0.02304
9	0.97736	-0.01019	44	0.94893	-0.02368
10	0.97734	-0.01020	45	0.94884	-0.02372
11	0.97727	-0.01023	46	0.94883	-0.02373
12	0.97727	-0.01023	47	0.94851	-0.02388
13	0.97726	-0.01023	48	0.94844	-0.02392
14	0.97646	-0.01060	49	0.94789	-0.02419
15	0.97537	-0.01110	50	0.94772	-0.02427
16	0.97530	-0.01114	51	0.94758	-0.02434
17	0.97190	-0.01271	52	0.94686	-0.02470
18	0.97170	-0.01281	53	0.94678	-0.02473
19	0.97160	-0.01286	54	0.94677	-0.02474
20	0.96588	-0.01553	55	0.94640	-0.02492
21	0.95730	-0.01962	56	0.94631	-0.02497
22	0.95532	-0.02057	57	0.94634	-0.02495
23	0.95520	-0.02063	58	0.94615	-0.02504
24	0.95506	-0.02070	59	0.94666	-0.02479
25	0.95487	-0.02079	60	0.94658	-0.02483
26	0.95486	-0.02079	61	0.94653	-0.02486
27	0.95483	-0.02081	62	0.94633	-0.02496
28	0.95475	-0.02085	63	0.94631	-0.02497
29	0.95472	-0.02086	64	0.94627	-0.02498
30	0.95466	-0.02090	65	0.94626	-0.02499
31	0.95470	-0.02087	66	0.94602	-0.02511
32	0.95435	-0.02104	67	0.94599	-0.02512
33	0.95464	-0.02090	68	0.95087	-0.02272
34	0.95454	-0.02095	69	0.94968	-0.02330
35	0.95440	-0.02102	70	0.94966	-0.02331

Bus	Tegangan		Bus	Tegangan	
	pu	sudut(rad)		pu	sudut(rad)
71	0.94931	-0.02348	106	0.94033	-0.02789
72	0.94839	-0.02393	107	0.94022	-0.02795
73	0.94824	-0.02400	108	0.94019	-0.02796
74	0.94531	-0.02544	109	0.93991	-0.02810
75	0.94406	-0.02605	110	0.93987	-0.02812
76	0.94288	-0.02663	111	0.94070	-0.02771
77	0.94282	-0.02666	112	0.94016	-0.02798
78	0.94272	-0.02671	113	0.93986	-0.02813
79	0.94265	-0.02675	114	0.93923	-0.02844
80	0.94264	-0.02675	115	0.93888	-0.02861
81	0.94265	-0.02675	116	0.93841	-0.02884
82	0.94267	-0.02674	117	0.93820	-0.02895
83	0.94236	-0.02689	118	0.93814	-0.02898
84	0.94189	-0.02712	119	0.93801	-0.02905
85	0.94187	-0.02713	120	0.93797	-0.02906
86	0.94131	-0.02741	121	0.93783	-0.02913
87	0.94121	-0.02746	122	0.93994	-0.02809
88	0.94068	-0.02772	123	0.93974	-0.02819
89	0.94068	-0.02772	124	0.93950	-0.02830
90	0.94059	-0.02777	125	0.93879	-0.02866
91	0.94053	-0.02779	126	0.93872	-0.02869
92	0.94058	-0.02777	127	0.93852	-0.02879
93	0.94057	-0.02778	128	0.93831	-0.02890
94	0.94055	-0.02779	129	0.93830	-0.02890
95	0.94053	-0.02780			
96	0.94262	-0.02676			
97	0.94243	-0.02685			
98	0.94234	-0.02690			
99	0.94225	-0.02695			
100	0.94215	-0.02699			
101	0.94214	-0.02700			
102	0.94212	-0.02701			
103	0.94137	-0.02738			
104	0.94118	-0.02747			
105	0.94109	-0.02752			

7. Gerakan scroll ke bawah untuk melihat tampilan aliran daya antar saluran sebelum optimasi.

The screenshot shows the MATLAB interface with the Command Window active. The title bar of the Command Window says 'Aliran Daya Antar Saluran'. The window displays a table of power flow results between buses. The columns are labeled 'Bus from', 'Bus to', 'Daya mw', 'Daya mvar', 'Bus from', 'Bus to', and 'Daya mw'. The data is as follows:

Bus from	Bus to	Daya mw	Daya mvar	Bus from	Bus to	Daya mw
1	2	5668.361	3696.146	2	1	-5623.707
2	3	38.829	24.065	3	2	-38.828
2	4	5584.878	3603.820	4	2	-5568.922
4	5	5485.707	3527.857	5	4	-5478.096
5	6	79.503	49.273	6	5	-79.500
5	7	5398.594	3466.949	7	5	-5384.521
7	8	5336.496	3415.673	8	7	-5328.558
8	9	132.693	82.250	9	8	-132.683
8	14	5195.866	3321.288	14	8	-5192.093
9	10	40.580	25.149	10	9	-40.579
9	11	92.104	57.087	11	9	-92.098
11	12	73.007	45.246	12	11	-73.006
11	13	19.091	11.832	13	11	-19.091
14	15	5116.315	3268.557	15	14	-5112.238
15	16	54.420	33.729	16	15	-54.417
15	17	5057.818	3228.596	17	15	-5045.008
17	18	148.370	91.982	18	17	-148.357

GAMBAR 4-8 TAMPILAN HASIL ALIRAN DAYA ANTAR SALURAN SEBELUM OPTIMASI

Untuk gambar 4-8 memperlihatkan tampilan hasil aliran daya antar saluran dari bus ke bus untuk daya yang di alirkan sepanjang saluran pada penyulang Tumpang, Pada tabel 4-4 memperlihatkan daya tiap saluran sebelum optimasi.

zurückrufen und durch eingesetzte Indikatoren direkt darauf hinweisen kann.

Ergebnisse und Diskussion

Index	Name	Wert							
1	100.000	100.000	100.000	100.000	100.000	100.000	100.000	100.000	100.000
2	100.000	100.000	100.000	100.000	100.000	100.000	100.000	100.000	100.000
3	100.000	100.000	100.000	100.000	100.000	100.000	100.000	100.000	100.000
4	100.000	100.000	100.000	100.000	100.000	100.000	100.000	100.000	100.000
5	100.000	100.000	100.000	100.000	100.000	100.000	100.000	100.000	100.000
6	100.000	100.000	100.000	100.000	100.000	100.000	100.000	100.000	100.000
7	100.000	100.000	100.000	100.000	100.000	100.000	100.000	100.000	100.000
8	100.000	100.000	100.000	100.000	100.000	100.000	100.000	100.000	100.000
9	100.000	100.000	100.000	100.000	100.000	100.000	100.000	100.000	100.000
10	100.000	100.000	100.000	100.000	100.000	100.000	100.000	100.000	100.000
11	100.000	100.000	100.000	100.000	100.000	100.000	100.000	100.000	100.000
12	100.000	100.000	100.000	100.000	100.000	100.000	100.000	100.000	100.000
13	100.000	100.000	100.000	100.000	100.000	100.000	100.000	100.000	100.000
14	100.000	100.000	100.000	100.000	100.000	100.000	100.000	100.000	100.000
15	100.000	100.000	100.000	100.000	100.000	100.000	100.000	100.000	100.000

Ergebnisse und Diskussion

Ergebnisse der Analyse

Um die Ergebnisse dieser Untersuchung zu überprüfen, wurde die Tabelle 1 in SPSS unter Verwendung des Koeffizienten der Korrelation berechnet. Die Ergebnisse zeigen, dass zwischen den einzelnen Indikatoren hohe bis sehr hohe Korrelationen bestehen. Dies ist durch die Tatsache bedingt, dass die Indikatoren auf die gleichen Konzepte abzielen und auf eine ähnliche

¹ Ein weiterer Indikator, der die Gütekriterien erfüllt, ist der Koeffizient der Korrelation. Er misst die Stärke der Beziehung zwischen zwei Variablen.

Tabel 4-6
Daya Tiap Saluran Penyulang Tumpang
Sebelum Optimasi

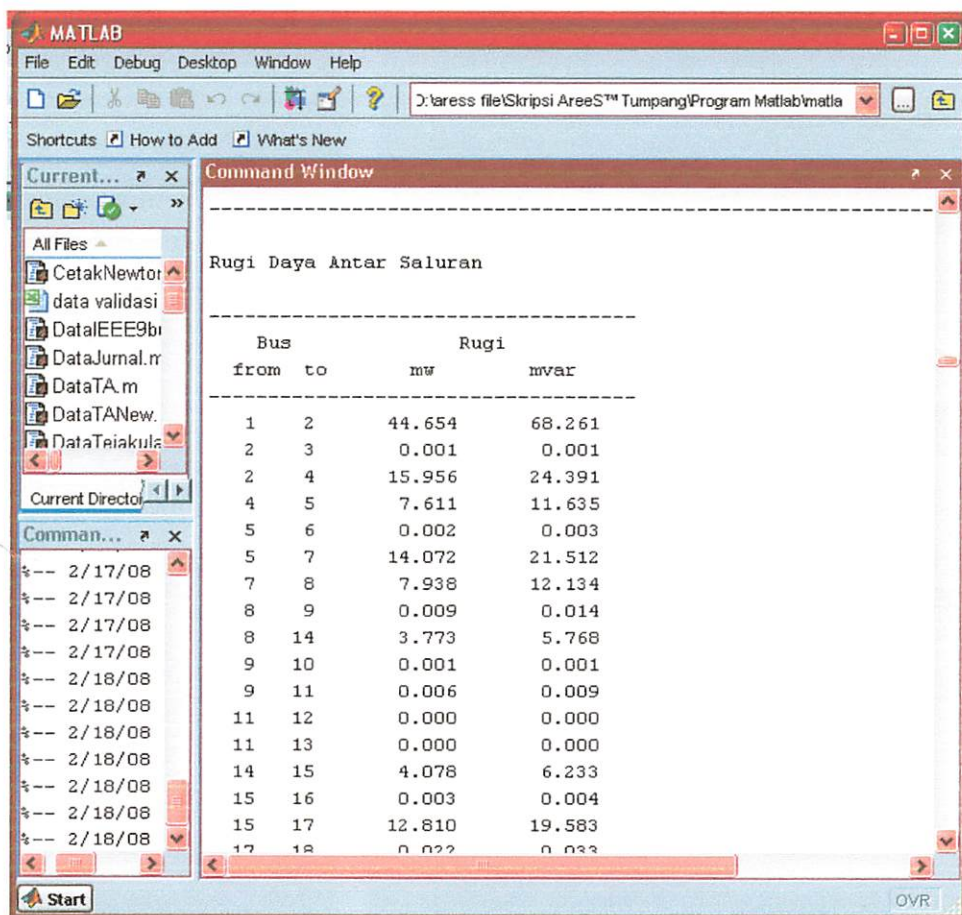
BUS		DAYA		BUS		DAYA	
from	to	kW	kvar	from	to	kW	kvar
1	2	5.668.361	3.696.146	2	1	-5.623.707	-3.627.885
2	3	38.829	24.065	3	2	-38.828	-24.063
2	4	5.584.878	3.603.820	4	2	-5.568.922	-3.579.429
4	5	5.485.707	3.527.857	5	4	-5.478.096	-3.516.222
5	6	79.503	49.273	6	5	-79.500	-49.270
5	7	5.398.594	3.466.949	7	5	-5.384.521	-3.445.436
7	8	5.336.496	3.415.673	8	7	-5.328.558	-3.403.539
8	9	132.693	82.250	9	8	-132.683	-82.236
8	14	5.195.866	3.321.288	14	8	-5.192.093	-3.315.520
9	10	40.580	25.149	10	9	-40.579	-25.149
9	11	92.104	57.087	11	9	-92.098	-57.077
11	12	73.007	45.246	12	11	-73.006	-45.245
11	13	19.091	11.832	13	11	-19.091	-11.832
14	15	5.116.315	3.268.557	15	14	-5.112.238	-3.262.325
15	16	54.420	33.729	16	15	-54.417	-33.725
15	17	5.057.818	3.228.596	17	15	-5.045.008	-3.209.013
17	18	148.379	91.982	18	17	-148.357	-91.949
17	20	4.896.629	3.117.031	20	17	-4.875.019	-3.083.996
18	19	87.769	54.400	19	18	-87.762	-54.390
20	21	4.782.488	3.026.650	21	20	-4.752.217	-2.980.376
21	22	4.679.508	2.935.315	22	21	-4.672.596	-2.924.750
22	23	966.017	599.109	23	22	-965.935	-598.984
22	40	3.706.580	2.325.642	40	22	-3.702.403	-2.319.257
23	24	881.020	546.358	24	23	-880.928	-546.217
24	25	778.494	482.735	25	24	-778.385	-482.568
25	26	41.140	25.497	26	25	-41.140	-25.496
25	27	737.245	457.071	27	25	-737.219	-457.032
27	28	683.975	424.034	28	27	-683.938	-423.977
28	29	189.423	117.402	29	28	-189.419	-117.395
28	31	494.515	306.576	31	28	-494.497	-306.548
29	30	88.337	54.750	30	29	-88.332	-54.743
31	32	54.890	34.031	32	31	-54.876	-34.009
31	33	439.607	272.517	33	31	-439.586	-272.485
33	34	314.219	194.790	34	33	-314.196	-194.754
34	35	94.209	58.397	35	34	-94.199	-58.381
34	38	219.987	136.357	38	34	-219.969	-136.330

35	36	40.758	25.260	36	35	-40.757	-25.259
35	37	53.441	33.121	37	35	-53.439	-33.119
38	39	128.271	79.501	39	38	-128.265	-79.492
40	41	3.621.075	2.268.855	41	40	-3.617.004	-2.262.631
41	42	3.530.193	2.208.831	42	41	-3.529.374	-2.207.578
42	43	1.160.527	722.912	43	42	-1.159.010	-720.593
42	68	2.368.847	1.484.666	68	42	-2.366.880	-1.481.659
43	44	1.084.363	674.331	44	43	-1.083.306	-672.716
44	45	970.129	602.575	45	44	-970.058	-602.466
45	46	62.084	38.477	46	45	-62.084	-38.476
45	47	907.974	563.989	47	45	-907.755	-563.655
47	48	876.475	544.269	48	47	-876.425	-544.194
48	49	250.285	155.238	49	48	-250.181	-155.080
48	52	626.140	388.955	52	48	-625.399	-387.822
49	50	172.704	107.064	50	49	-172.682	-107.031
50	51	124.283	77.036	51	50	-124.270	-77.016
52	53	265.457	164.595	53	52	-265.442	-164.572
52	59	359.941	223.226	59	52	-359.887	-223.144
53	54	85.859	53.211	54	53	-85.858	-53.210
53	55	179.583	111.361	55	53	-179.532	-111.283
55	56	51.412	31.865	56	55	-51.408	-31.860
55	57	128.121	79.417	57	55	-128.114	-79.407
57	58	76.170	47.216	58	57	-76.160	-47.200
59	60	283.855	176.023	60	59	-283.837	-175.997
60	61	26.130	16.195	61	60	-26.129	-16.193
60	62	257.708	159.802	62	60	-257.660	-159.729
62	63	17.706	10.973	63	62	-17.705	-10.973
62	64	239.954	148.756	64	62	-239.944	-148.740
64	65	49.488	30.670	65	64	-49.487	-30.669
64	66	190.456	118.070	66	64	-190.419	-118.014
66	67	117.047	72.542	67	66	-117.045	-72.538
68	69	2.334.427	1.461.546	69	68	-2.332.334	-1.458.347
69	70	28.790	17.843	70	69	-28.789	-17.842
69	71	2.303.544	1.440.505	71	69	-2.302.905	-1.439.528
71	72	2.271.217	1.419.889	72	71	-2.269.654	-1.417.500
72	73	2.212.024	1.381.784	73	72	-2.211.779	-1.381.409
73	74	2.143.770	1.339.261	74	73	-2.139.063	-1.332.066
74	75	2.070.987	1.289.876	75	74	-2.069.036	-1.286.893
75	76	1.979.684	1.231.518	76	75	-1.977.920	-1.228.822
76	77	986.309	611.996	77	76	-986.269	-611.935
76	103	991.611	616.826	103	76	-990.484	-615.103
77	78	156.484	96.995	78	77	-156.472	-96.977

77	82	632.080	392.349	82	77	-632.007	-392.237
77	96	197.704	122.591	96	77	-197.674	-122.545
78	79	71.192	44.125	79	78	-71.188	-44.119
79	80	33.023	20.466	80	79	-33.022	-20.466
79	81	38.165	23.653	81	79	-38.165	-23.653
82	83	536.433	333.005	83	82	-536.310	-332.817
83	84	445.708	276.667	84	83	-445.547	-276.421
84	85	26.010	16.120	85	84	-26.010	-16.120
84	86	419.537	260.301	86	84	-419.354	-260.022
86	87	338.698	210.036	87	86	-338.673	-209.998
87	88	246.584	152.927	88	87	-246.485	-152.775
88	89	203.093	125.883	89	88	-203.092	-125.882
89	90	74.432	46.135	90	89	-74.428	-46.128
89	92	128.660	79.747	92	89	-128.651	-79.733
90	91	36.943	22.896	91	90	-36.941	-22.894
92	93	55.786	34.574	93	92	-55.785	-34.573
92	94	72.865	45.160	94	92	-72.863	-45.157
94	95	50.865	31.524	95	94	-50.864	-31.523
96	97	151.647	94.019	97	96	-151.625	-93.987
97	98	73.369	45.475	98	97	-73.363	-45.467
97	99	78.257	48.512	99	97	-78.246	-48.495
99	100	41.738	25.870	100	99	-41.735	-25.865
100	101	11.203	6.943	101	100	-11.203	-6.943
101	102	5.211	3.229	102	101	-5.210	-3.229
103	104	899.713	558.848	104	103	-899.584	-558.651
104	105	325.659	202.032	105	104	-325.637	-201.999
104	111	573.925	356.619	111	104	-573.718	-356.302
105	106	266.077	165.087	106	105	-265.925	-164.855
106	107	216.914	134.480	107	106	-216.895	-134.451
107	108	78.932	48.919	108	107	-78.931	-48.917
107	109	137.963	85.532	109	107	-137.930	-85.482
109	110	28.153	17.448	110	109	-28.152	-17.447
111	112	552.417	343.101	112	111	-552.189	-342.752
112	113	373.085	231.638	113	112	-373.001	-231.509
112	122	179.103	111.114	122	112	-179.074	-111.070
113	114	349.312	216.828	114	113	-349.147	-216.576
114	115	281.326	174.544	115	114	-281.251	-174.430
115	116	233.541	144.862	116	115	-233.457	-144.735
116	117	177.119	109.820	117	116	-177.090	-109.775
117	118	127.952	79.322	118	117	-127.946	-79.313
118	119	29.438	18.247	119	118	-29.435	-18.242
118	120	98.508	61.066	120	118	-98.495	-61.047

120	121	55.247	34.245	121	120	-55.241	-34.236
122	123	128.788	79.905	123	122	-128.768	-79.875
123	124	110.000	68.243	124	123	-109.981	-68.214
124	125	77.468	48.064	125	124	-77.427	-48.000
125	126	73.704	45.693	126	125	-73.700	-45.687
126	127	56.810	35.220	127	126	-56.802	-35.207
127	128	28.607	17.734	128	127	-28.603	-17.726
128	129	14.994	9.293	129	128	-14.994	-9.292

8. Gerakan *scroll* ke bawah lagi untuk melihat tampilan rugi daya antar saluran sebelum optimasi



GAMBAR 4-9 TAMPILAN HASIL RUGI DAYA ANTAR SALURAN SEBELUM OPTIMASI

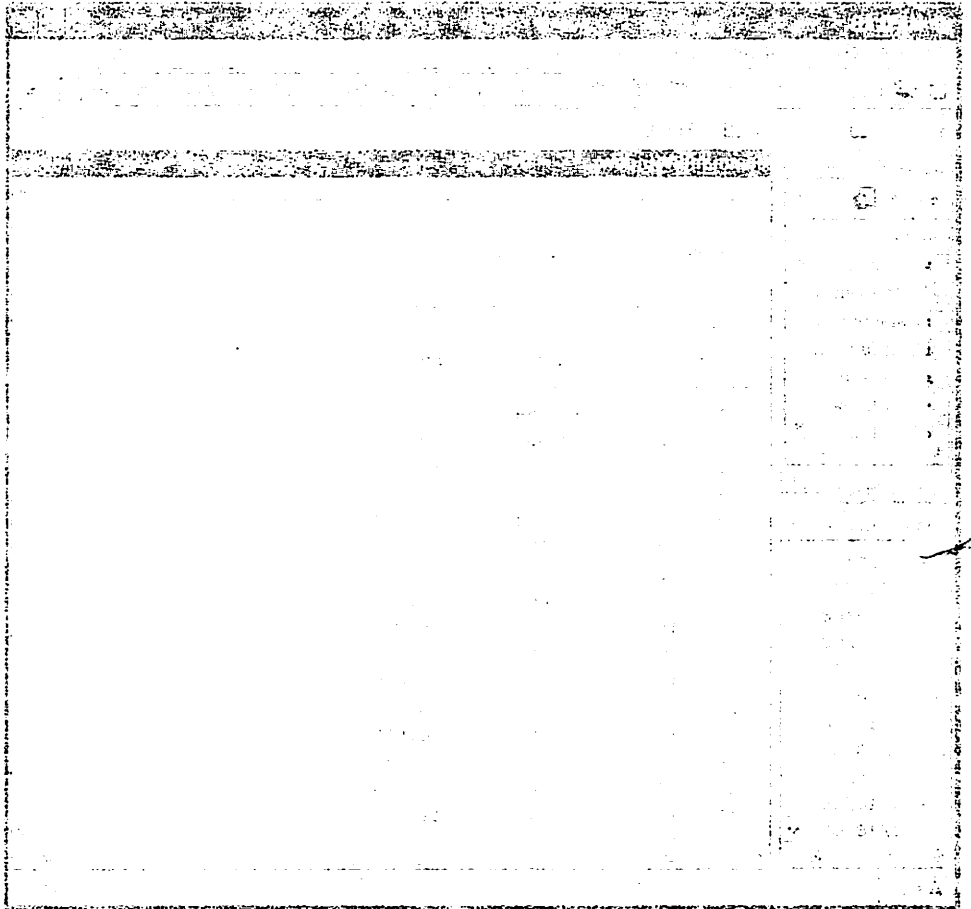
1. The first step in the process of determining the best way to increase sales is to identify the current sales volume and growth rate. This information can be obtained from historical sales data and market research.

2. Once the current sales volume and growth rate are known, the next step is to identify potential markets and target customers. This involves researching the needs and preferences of different customer segments and identifying opportunities for expansion.

3. After identifying potential markets and target customers, the next step is to develop a marketing plan. This plan should include strategies for increasing brand awareness, building relationships with customers, and creating incentives to encourage purchases.

4. Finally, the last step is to implement the marketing plan and monitor its effectiveness. This involves tracking sales performance, gathering feedback from customers, and making adjustments as needed to ensure continued success.

In conclusion, increasing sales volume requires a systematic approach that involves identifying current sales volume and growth rate, identifying potential markets and target customers, developing a marketing plan, and implementing and monitoring the plan.



Overall, increasing sales volume requires a systematic approach that involves identifying current sales volume and growth rate, identifying potential markets and target customers, developing a marketing plan, and implementing and monitoring the plan.

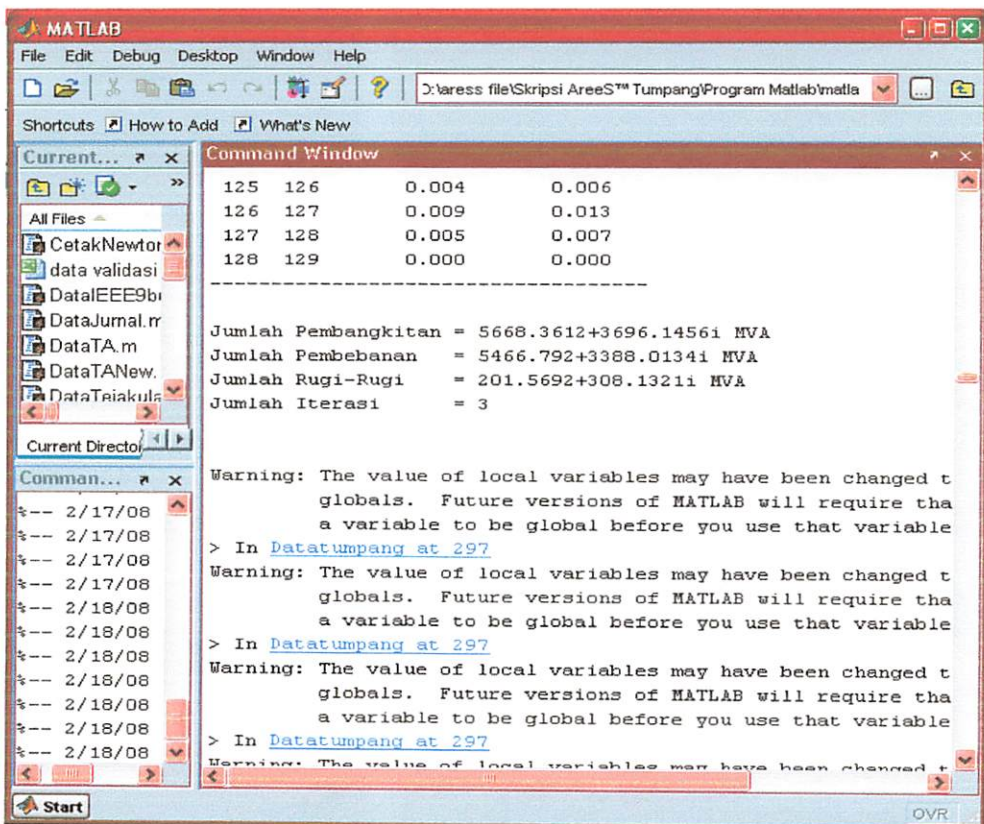
Pada gambar 4-9 memperlihatkan hasil rugi daya antar saluran sebelum optimasi yang diakibatkan rugi-rugi,. Tabel 4-7 memperlihatkan rugi daya tiap saluran.

Tabel 4-7
Rugi Daya Tiap Saluran Penyalang Tumpang
Sebelum Kompensasi

BUS		RUGI		BUS		RUGI	
from	to	kW	kvar	from	to	kW	kvar
1	2	44.654	68.261	34	38	0.018	0.027
2	3	0.001	0.001	35	36	0.000	0.000
2	4	15.956	24.391	35	37	0.002	0.002
4	5	7.611	11.635	38	39	0.006	0.009
5	6	0.002	0.003	40	41	4.071	6.224
5	7	14.072	21.512	41	42	0.819	1.252
7	8	7.938	12.134	42	43	1.517	2.319
8	9	0.009	0.014	42	68	1.967	3.007
8	14	3.773	5.768	43	44	1.057	1.615
9	10	0.001	0.001	44	45	0.071	0.108
9	11	0.006	0.009	45	46	0.000	0.001
11	12	0.000	0.000	45	47	0.219	0.335
11	13	0.000	0.000	47	48	0.049	0.076
14	15	4.078	6.233	48	49	0.103	0.158
15	16	0.003	0.004	48	52	0.742	1.134
15	17	12.810	19.583	49	50	0.022	0.033
17	18	0.022	0.033	50	51	0.013	0.020
17	20	21.610	33.035	52	53	0.015	0.024
18	19	0.006	0.010	52	59	0.054	0.082
20	21	30.271	46.274	53	54	0.000	0.001
21	22	6.912	10.565	53	55	0.051	0.078
22	23	0.082	0.125	55	56	0.004	0.006
22	40	4.177	6.384	55	57	0.007	0.010
23	24	0.092	0.141	57	58	0.010	0.016
24	25	0.109	0.167	59	60	0.017	0.027
25	26	0.000	0.000	60	61	0.001	0.001
25	27	0.026	0.039	60	62	0.048	0.073
27	28	0.037	0.057	62	63	0.000	0.000
28	29	0.004	0.006	62	64	0.010	0.016
28	31	0.018	0.028	64	65	0.001	0.001
29	30	0.005	0.007	64	66	0.037	0.056
31	32	0.014	0.022	66	67	0.002	0.004
31	33	0.021	0.032	68	69	2.093	3.199
33	34	0.023	0.036	69	70	0.000	0.001
34	35	0.010	0.016	69	71	0.639	0.977

BUS		RUGI		BUS		RUGI	
from	to	kW	kvar	from	to	kW	kvar
71	72	1.563	2.390	105	106	0.152	0.233
72	73	0.245	0.375	106	107	0.019	0.030
73	74	4.707	7.195	107	108	0.001	0.002
74	75	1.951	2.982	107	109	0.032	0.049
75	76	1.763	2.695	109	110	0.001	0.001
76	77	0.040	0.061	111	112	0.228	0.349
76	103	1.127	1.723	112	113	0.084	0.129
77	78	0.012	0.018	112	122	0.029	0.045
77	82	0.074	0.113	113	114	0.164	0.251
77	96	0.030	0.046	114	115	0.075	0.114
78	79	0.004	0.006	115	116	0.083	0.127
79	80	0.000	0.001	116	117	0.029	0.044
79	81	0.000	0.000	117	118	0.006	0.009
82	83	0.123	0.188	118	119	0.003	0.004
83	84	0.161	0.246	118	120	0.012	0.019
84	85	0.000	0.001	120	121	0.006	0.009
84	86	0.183	0.279	122	123	0.020	0.030
86	87	0.024	0.037	123	124	0.020	0.030
87	88	0.099	0.152	124	125	0.042	0.064
88	89	0.001	0.001	125	126	0.004	0.006
89	90	0.005	0.007	126	127	0.009	0.013
89	92	0.009	0.014	127	128	0.005	0.007
90	91	0.002	0.002	128	129	0.000	0.000
92	93	0.001	0.001				
92	94	0.002	0.003				
94	95	0.001	0.001				
96	97	0.021	0.033				
97	98	0.005	0.008				
97	99	0.011	0.017				
99	100	0.003	0.005				
100	101	0.000	0.000				
101	102	0.000	0.000				
103	104	0.129	0.197				
104	105	0.022	0.033				
104	111	0.207	0.317				

9. Gerakan lagi *scroll* ke bawah untuk melihat tampilan hasil jumlah pembangkitan, pembebanan, dan jumlah rugi-rugi sebelum optimasi.



The screenshot shows the MATLAB interface with the Command Window active. The window displays the following output:

```

125 126      0.004      0.006
126 127      0.009      0.013
127 128      0.005      0.007
128 129      0.000      0.000
-----
Jumlah Pembangkitan = 5668.3612+3696.1456i MVA
Jumlah Pembebanan   = 5466.792+3388.0134i MVA
Jumlah Rugi-Rugi    = 201.5692+308.1321i MVA
Jumlah Iterasi       = 3

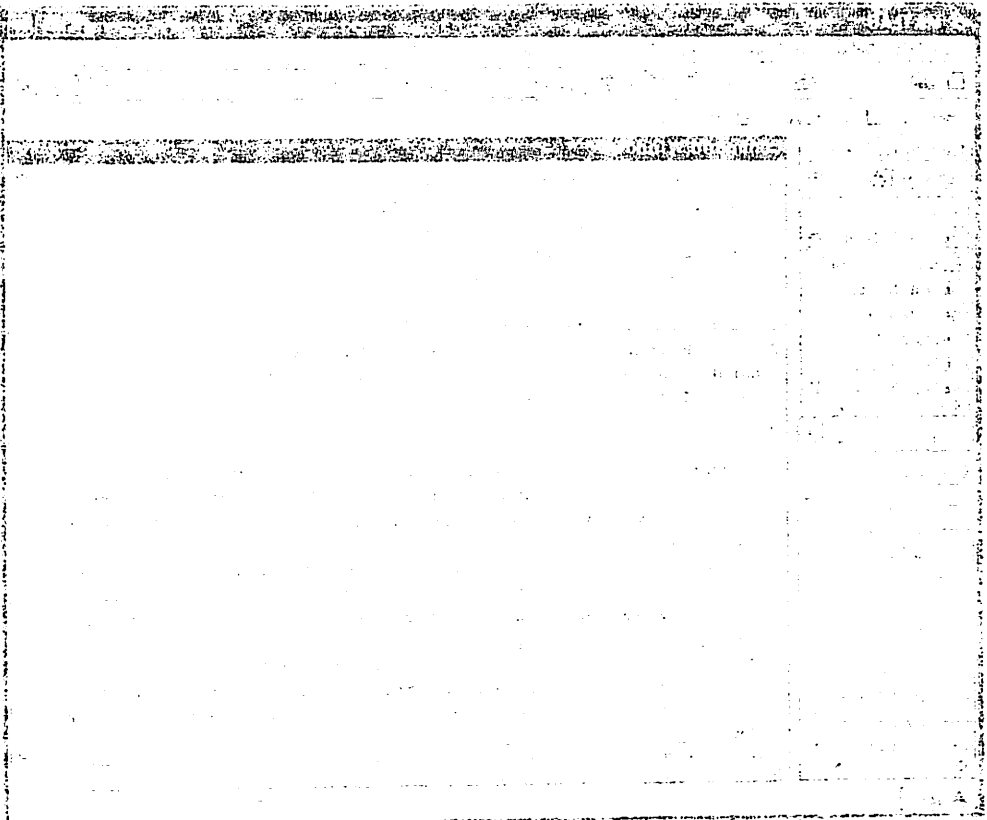
Warning: The value of local variables may have been changed to
          globals. Future versions of MATLAB will require that
          a variable to be global before you use that variable
> In Datatumpang at 297
Warning: The value of local variables may have been changed to
          globals. Future versions of MATLAB will require that
          a variable to be global before you use that variable
> In Datatumpang at 297
Warning: The value of local variables may have been changed to
          globals. Future versions of MATLAB will require that
          a variable to be global before you use that variable
> In Datatumpang at 297
Warning: The value of local variables may have been changed to
          globals. Future versions of MATLAB will require that
          a variable to be global before you use that variable
> In Datatumpang at 297

```

**GAMBAR 4-10 TAMPILAN HASIL JUMLAH PEMBANGKITAN,
PEMBEBANAN, RUGI-RUGI SEBELUM OPTIMASI**

Pada gambar 4-10 memperlihatkan jumlah pembangkitan, jumlah pembebanan, dan jumlah rugi – rugi sebelum optimasi dari hasil perhitungan aliran daya dengan metode Newton Rhapson. Dimana untuk Jumlah pembangkitan sebesar $5668.3612+3696.1456i$ kVA, Jumlah pembebanan sebesar $5466.792+3388.0134i$ kVA dan Jumlah rugi-rugi sebesar $201.5692+308.1321i$ kVA

the same, and therefore will have the same general and local properties, and



the following description applies only to the unshaded portion.

THE COASTAL PLATEAU AND THE MOUNTAINS.

The plateau is bounded on the west by the coast, and on the east by the mountains. The plateau is composed of a series of ridges and depressions, with elevations ranging from 1,000 to 3,000 feet above sea level. The ridges are generally oriented north-south, and the depressions are generally oriented east-west. The plateau is covered with a variety of vegetation, including grasses, shrubs, and trees. The mountains are composed of a series of ridges and depressions, with elevations ranging from 3,000 to 6,000 feet above sea level. The ridges are generally oriented north-south, and the depressions are generally oriented east-west. The mountains are covered with a variety of vegetation, including grasses, shrubs, and trees. The plateau and the mountains are separated by a series of deep gorges and canyons, which are filled with waterfalls and rapids. The plateau and the mountains are separated by a series of deep gorges and canyons, which are filled with waterfalls and rapids.

The plateau and the mountains are separated by a series of deep gorges and canyons, which are filled with waterfalls and rapids.

10. Gerakan scroll ke bawah untuk melihat hasil tampilan penempatan kapasitor dengan menggunakan metode *Hybrid MGA dan Fuzzy Logic*

The screenshot shows the MATLAB interface with the Command Window active. The window displays several warning messages about local variables being changed to global in future versions of MATLAB. Below the warnings, the command `datatumpang` is run three times at line numbers 317, 317, and 327, each producing a table of capacitor placement details. The tables show columns for bus number, low kvar rating, medium kvar rating, and peak kvar rating.

bus	Low kvar	Med kvar	Peak kvar
20	400	200	700
38	100	700	500
43	500	600	300
47	100	100	700
81	200	600	500
105	600	200	800

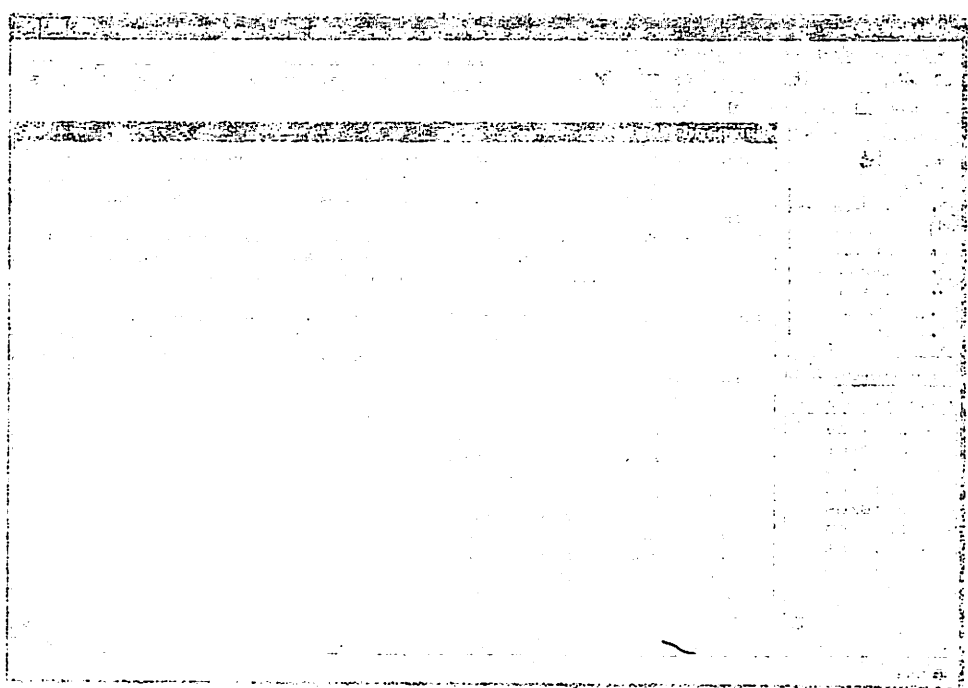
GAMBAR 4-11 TAMPILAN HASIL PENEMPATAN KAPASITOR DENGAN MENGGUNAKAN METODE *HYBRID MGA dan FUZZY LOGIC*

Pada gambar 4-11 memperlihatkan hasil dari penempatan kapasitor dengan menggunakan metode *hybrid MGA dan Fuzzy Logic*, dimana kapasitor yang optimal ditempatkan pada bus 20, 38, 43, 47, 81, dan 105 dengan jenis kapasitor yang digunakan adalah tipe switch dengan kapasitas masing-masing dapat dilihat pada tabel 4-11.

Berikut diperlihatkan *single line diagram* penyulang Tumpang setelah penempatan kapasitor.

and the first and second year students of the college. Several of them are now at the

University of Michigan and Harvard University.



THE UNIVERSITY OF MICHIGAN LIBRARIES AND THE MICHIGAN STATE LIBRARY

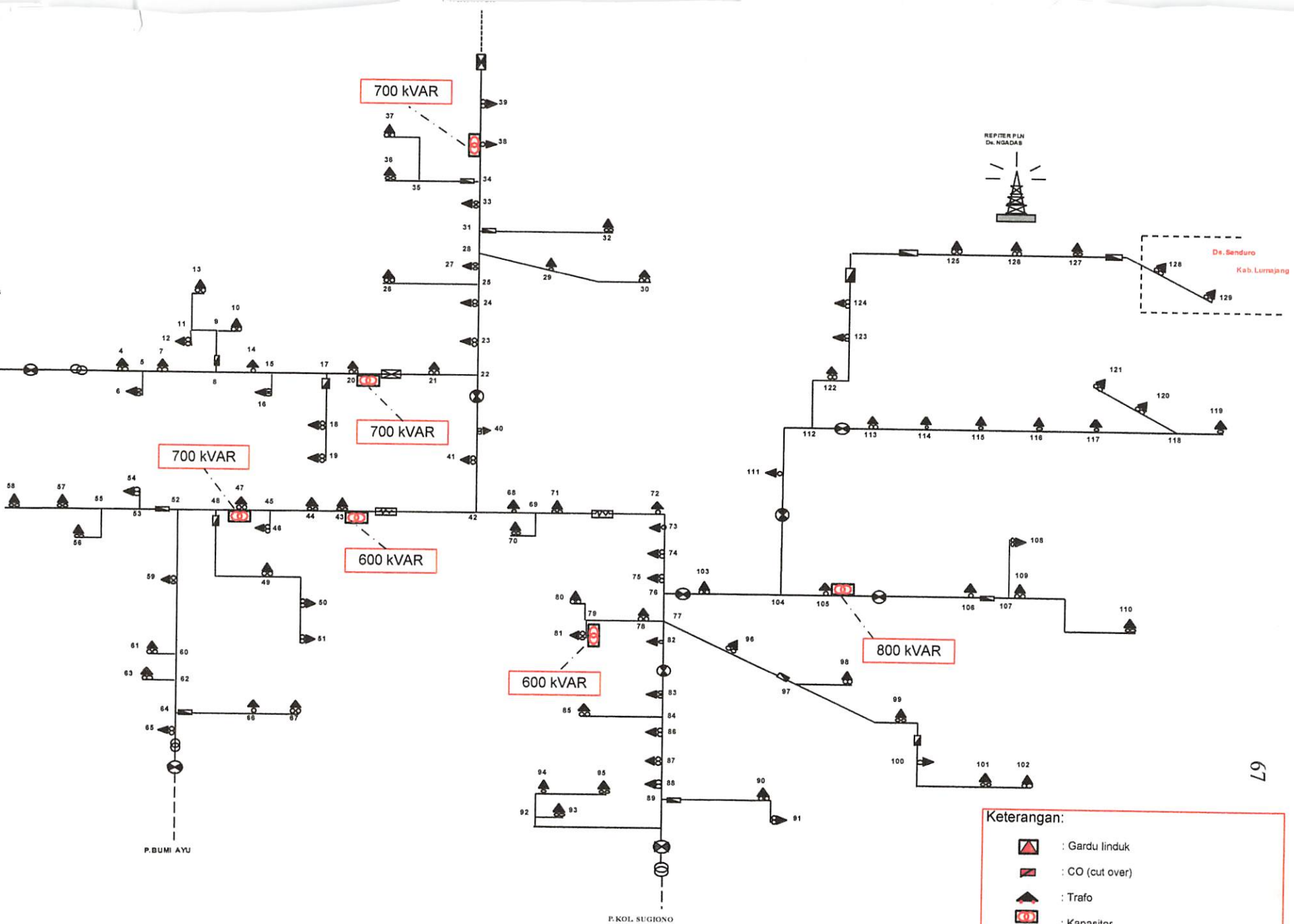
"We are bound to our old friends, but we are not bound by them."

Michigan State University, and the University of Michigan, still
holding their own as security against each other, having chosen, and chosen
justly, to remain distinct from each other, and also, in their mutual
interests, to make no secret of their differences, and to let each do its best.

114

Other important university libraries will be mentioned in detail

Michigan State Library



GAMBAR 4.12 SINGLE LINE DIAGRAM JARINGAN

11. Gerakan *scroll* ke bawah untuk melihat hasil tampilan dari hasil perhitungan aliran daya untuk mengetahui tegangan dan sudut fasa setelah optimasi.

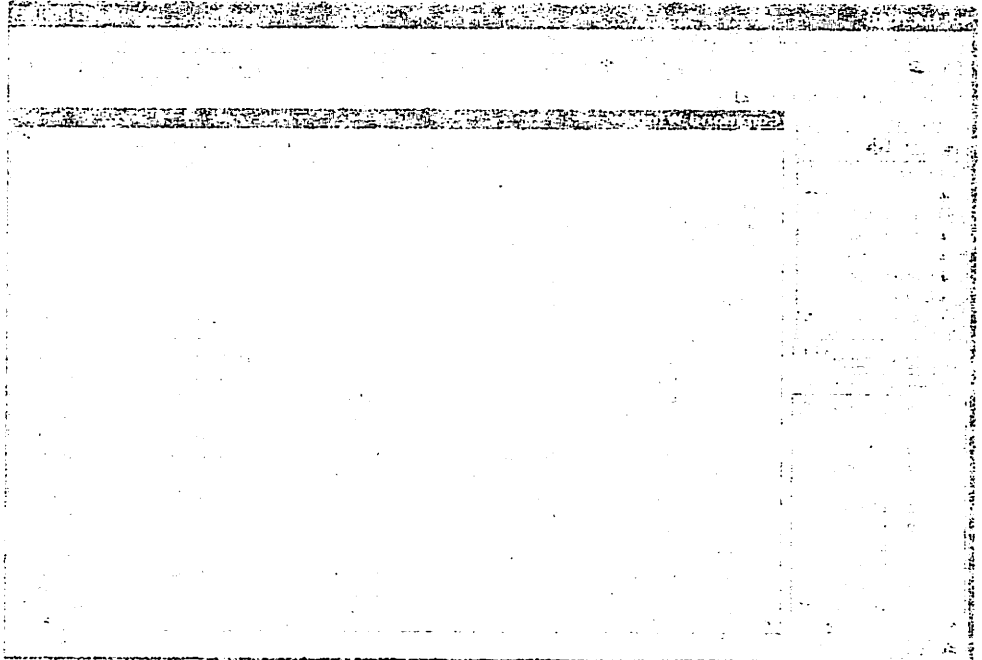
Bus	Tegangan (pu)	Pembangkitan mw	nvar	Pe: mw
1	1.00000	5606.135	101.023	0.0
2	0.99442	-0.00830	0.000	0.0
3	0.99438	-0.00832	0.000	0.000
4	0.99244	-0.01132	0.000	0.000
5	0.99150	-0.01280	0.000	0.000
6	0.99146	-0.01282	0.000	0.000
7	0.98976	-0.01559	0.000	0.000
8	0.98879	-0.01719	0.000	0.000
9	0.98870	-0.01723	0.000	0.000
10	0.98868	-0.01724	0.000	0.000
11	0.98861	-0.01727	0.000	0.000
12	0.98860	-0.01727	0.000	0.000
13	0.98860	-0.01728	0.000	0.000
14	0.98833	-0.01797	0.000	0.000

GAMBAR 4-13 TAMPILAN HASIL UNTUK MENGETAHUI TEGANGAN DAN SUDUT FASA TIAP BUS SETELAH OPTIMASI

Pada gambar 4-13 terlihat tampilan hasil dari tegangan dan sudut fasa tiap bus, juga nilai P, Q dari pembangkitan dan pembebahan setelah optimasi, hasil dari perhitungan aliran daya dengan menggunakan *metode newton raphael*.

Dari hasil perhitungan aliran daya setelah optimasi terdapat kenaikan tegangan disetiap bus yang sebelumnya terjadi jatuh tegangan yaitu pada bus 44-129 dengan tegangan terendah terdapat pada bus 121 sebesar 0,93783 pu atau 18,7566 kV menjadi 0.96799 pu atau 19,3598 kV dimana tegangan yang di izinkan yaitu 0.95 pu s/d 1.05 pu, yang mana artinya bahwa pada bus-bus tersebut telah masuk pada batas tegangan yang diizinkan oleh PLN. Tabel 4-8 memperlihatkan keadaan tegangan dan sudut fasa setelah optimasi.

Final draft of program. Read, edited, and discussed by the Director, Executive Board, and the Associate Director.



Final draft of program. Read, edited, and discussed by the Director, Executive Board, and the Associate Director.

1. The first item on the agenda was the discussion of the proposed budget for the year. The budget was presented in a detailed and comprehensive manner, covering all aspects of the organization's operations. The proposed budget was generally well-received, although some minor adjustments were suggested. The budget included provisions for the purchase of new equipment, the hiring of additional staff, and the expansion of certain programs. The budget also took into account the organization's financial resources and the projected revenue from various sources.

2. The second item on the agenda was the discussion of the proposed strategic plan for the year. The strategic plan was presented in a clear and concise manner, outlining the organization's goals, objectives, and priorities for the coming year. The plan also identified key areas of focus and outlined the steps required to achieve these goals. The proposed strategic plan was generally well-received, although some minor revisions were suggested. The plan included provisions for the implementation of new programs, the enhancement of existing programs, and the development of new partnerships.

3. The third item on the agenda was the discussion of the proposed operational plan for the year. The operational plan was presented in a detailed and comprehensive manner, covering all aspects of the organization's operations. The proposed operational plan was generally well-received, although some minor adjustments were suggested. The plan included provisions for the efficient management of resources, the effective delivery of services, and the maintenance of high standards of quality.

4. The fourth item on the agenda was the discussion of the proposed personnel plan for the year. The personnel plan was presented in a clear and concise manner, outlining the organization's staffing needs and the steps required to address them. The proposed personnel plan was generally well-received, although some minor revisions were suggested. The plan included provisions for the recruitment of new staff, the promotion of existing staff, and the development of new training programs.

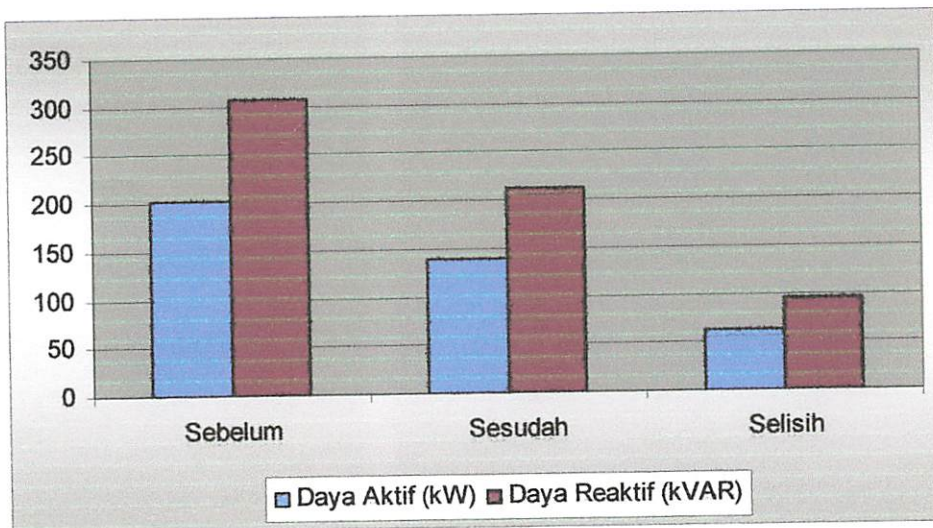
5. The fifth item on the agenda was the discussion of the proposed communication plan for the year. The communication plan was presented in a detailed and comprehensive manner, covering all aspects of the organization's communication strategy. The proposed communication plan was generally well-received, although some minor adjustments were suggested. The plan included provisions for the effective dissemination of information, the maintenance of positive relationships with stakeholders, and the development of new communication channels.

6. The sixth item on the agenda was the discussion of the proposed evaluation plan for the year. The evaluation plan was presented in a clear and concise manner, outlining the organization's evaluation strategy and the steps required to implement it. The proposed evaluation plan was generally well-received, although some minor revisions were suggested. The plan included provisions for the systematic assessment of performance, the identification of strengths and weaknesses, and the development of corrective actions.

Tabel 4-8
Tegangan dan Sudut Fasa Tiap Bus Penyalang Tumpang
Setelah Optimasi

Bus	Tegangan		Bus	Tegangan	
	pu	sudut(rad)		pu	sudut(rad)
1	100000	0.00000	36	0.97773	-0.03530
2	0.99442	-0.00830	37	0.97770	-0.03531
3	0.99438	-0.00832	38	0.97797	-0.03540
4	0.99244	-0.01132	39	0.97790	-0.03543
5	0.99150	-0.01280	40	0.97741	-0.03572
6	0.99146	-0.01282	41	0.97667	-0.03690
7	0.98976	-0.01559	42	0.97652	-0.03715
8	0.98879	-0.01719	43	0.97597	-0.03873
9	0.98870	-0.01723	44	0.97535	-0.03976
10	0.98868	-0.01724	45	0.97530	-0.03984
11	0.98861	-0.01727	46	0.97530	-0.03985
12	0.98860	-0.01727	47	0.97518	-0.04012
13	0.98860	-0.01728	48	0.97511	-0.04016
14	0.98833	-0.01797	49	0.97457	-0.04041
15	0.98783	-0.01884	50	0.97441	-0.04049
16	0.98777	-0.01887	51	0.97427	-0.04056
17	0.98628	-0.02162	52	0.97357	-0.04089
18	0.98609	-0.02172	53	0.97350	-0.04093
19	0.98599	-0.02176	54	0.97349	-0.04093
20	0.98370	-0.02654	55	0.97313	-0.04110
21	0.97919	-0.03302	56	0.97304	-0.04115
22	0.97816	-0.03454	57	0.97306	-0.04113
23	0.97810	-0.03463	58	0.97289	-0.04122
24	0.97802	-0.03473	59	0.97338	-0.04098
25	0.97793	-0.03488	60	0.97330	-0.04102
26	0.97792	-0.03489	61	0.97325	-0.04104
27	0.97791	-0.03492	62	0.97306	-0.04114
28	0.97788	-0.03498	63	0.97304	-0.04115
29	0.97785	-0.03499	64	0.97300	-0.04116
30	0.97778	-0.03503	65	0.97299	-0.04117
31	0.97787	-0.03503	66	0.97275	-0.04128
32	0.97752	-0.03519	67	0.97273	-0.04130
33	0.97786	-0.03510	68	0.97591	-0.03797
34	0.97788	-0.03522	69	0.97525	-0.03886
35	0.97774	-0.03529	70	0.97523	-0.03887

Bus	Tegangan		Bus	Tegangan	
	pu	sudut(rad)		pu	sudut(rad)
71	0.97505	-0.03914	106	0.97058	-0.04614
72	0.97456	-0.03983	107	0.97046	-0.04619
73	0.97448	-0.03994	108	0.97044	-0.04620
74	0.97299	-0.04221	109	0.97016	-0.04634
75	0.97238	-0.04319	110	0.97012	-0.04636
76	0.97182	-0.04414	111	0.97077	-0.04586
77	0.97179	-0.04418	112	0.97024	-0.04611
78	0.97193	-0.04438	113	0.96995	-0.04625
79	0.97225	-0.04468	114	0.96934	-0.04654
80	0.97224	-0.04468	115	0.96901	-0.04670
81	0.97227	-0.04470	116	0.96855	-0.04692
82	0.97164	-0.04425	117	0.96834	-0.04702
83	0.97134	-0.04439	118	0.96828	-0.04705
84	0.97088	-0.04461	119	0.96815	-0.04711
85	0.97086	-0.04462	120	0.96812	-0.04713
86	0.97032	-0.04488	121	0.96799	-0.04719
87	0.97023	-0.04492	122	0.97003	-0.04621
88	0.96971	-0.04517	123	0.96983	-0.04630
89	0.96971	-0.04518	124	0.96960	-0.04641
90	0.96963	-0.04521	125	0.96891	-0.04675
91	0.96957	-0.04524	126	0.96885	-0.04678
92	0.96962	-0.04522	127	0.96865	-0.04687
93	0.96960	-0.04523	128	0.96845	-0.04697
94	0.96959	-0.04523	129	0.96843	-0.04698
95	0.96957	-0.04524			
96	0.97159	-0.04427			
97	0.97141	-0.04436			
98	0.97132	-0.04440			
99	0.97123	-0.04444			
100	0.97114	-0.04449			
101	0.97112	-0.04449			
102	0.97111	-0.04450			
103	0.97128	-0.04546			
104	0.97123	-0.04563			
105	0.97131	-0.04579			



**GRAFIK 4-2 RUGI DAYA SEBELUM DAN SETELAH
OPTIMASI**

Dari grafik 4-2 terlihat bahwa penurunan rugi daya aktif adalah 62,2259 kW dari 201.5692 kW menjadi 139.3433 kW sehingga terjadi penurunan sebesar 30,87%, Sedangkan untuk daya reaktif juga terjadi penurunan sebesar 95,1226 kVAR dari 308.1321 kVAR menjadi 213.0095 kVAR sehingga terjadi penurunan sebesar 30,87%.

001	002	003	004	005	006	007	008	009	010
001	002	003	004	005	006	007	008	009	010
001	002	003	004	005	006	007	008	009	010
001	002	003	004	005	006	007	008	009	010
001	002	003	004	005	006	007	008	009	010
001	002	003	004	005	006	007	008	009	010
001	002	003	004	005	006	007	008	009	010
001	002	003	004	005	006	007	008	009	010
001	002	003	004	005	006	007	008	009	010
001	002	003	004	005	006	007	008	009	010

(WAV) to send word to (WV) WVA sign to

MANUFACTURED POLYMER AND RELATED POLYMERS

10040100

incl. of 1000,00 dolars Trade signs by manufacturer and distributor (A) either, incl
 (B) either supplier, manufacturer, distributor signature W 4 100,000,000,000 W 4 1000,000
 incl. 1000,00 dolars manufacturer, distributor sign, neither signs above mentioned
 (C) either manufacturer, distributor signature W 4 1000,000,000,000 W 4 1000,000

BAB V

KESIMPULAN

5.1 Kesimpulan

Dari hasil analisa diatas maka dapat ditarik kesimpulan sebagai berikut:

1. Letak kapasitor yang optimal terletak pada *bus 20, 38, 3, 47, 81, dan 105* dengan jenis kapasitor yang digunakan adalah tipe *switch*. Untuk kapasitas kapasitor pada masing-masing *bus* dapat dilihat pada tabel 4-11.
2. Tegangan terendah terdapat pada *bus 121* sebesar *0,93783 pu* atau *18,7566 kV* dan setelah dilakukan kompensasi naik menjadi *0.96799 pu* atau *19,3598 kV*.
3. Besarnya penurunan rugi-rugi daya setelah kompensasi: rugi daya aktif sebesar *30,87%* dari *201.5692 kW* menjadi *139.3433 kW*, dan daya reaktif sebesar *30,87%* dari *308.1321 kVAR* menjadi *213.0095 kVAR*.

5.2. Saran

Meningkatnya kebutuhan akan energi listrik selalu bertambah, sehingga diperlukan penyediaan energi listrik yang baik dan keandalan sistem dalam penyalurannya kepada masyarakat harus baik juga. Berbagai cara telah dilakukan PLN guna memenuhi kebutuhan itu.

Salah satu cara yang bermanfaat dalam mengoptimalkan suplai daya dari pembangkit sampai kebeban telah disampaikan penulis melalui skripsi ini.

DAFTAR PUSTAKA

- [1]. Helton do Nascimento, Alves Benemar Alencar de Souza, Helvio Alves Ferreira, "**BANKS OF AUTOMATIC CAPACITORS IN ELECTRICAL DISTRIBUTION SYSTEMS: A HIBRID ALGORITHM OF CONTROL**", Revista Controle & Automação/ Vol.16 no.1/Jan.,Fev. e Março 2005.
- [2] Hasan Basri, "**Sistem Distribusi Tenaga Listrik**".
- [3]. Djiteng Marsudi, , "**Operasi sistem tenaga Listrik**", Balai Penerbit Dan Humas ISTN 1990.
- [4] William D Stevenson, Jr. "**Analisa Sistem Tenaga Listrik**". Edisi ke empat, Erlangga, Jakarta, 1993.
- [5]. Mitsuo Gen, Runwei Cheng, "**Genetic Algorithm And Engineering Design**". (John Willey & Son,Inc, 1994) p-7

and I did not feel particularly

like going to church, so I went to a nearby park

and sat down.

I began to pray, for myself, for my friends, for my family,

for God.

The people sitting around me were talking, and laughing,

and I thought about how odd that was.

As I lay there, I thought about the people I had seen

around me, and I realized that they were all different,

but they were all the same, in that they were all trying to

find their place in the world, and to find their place in

the world.

LAMPIRAN 1

- 1. DATA PENYULANG TUMPANG**
- 2. TABEL PERBANDINGAN TEGANGAN ANTARA ETAP DENGAN MATLAB**
- 3. LISTING PROGRAM**

DAFTAR PENGUKURAN BEBAN TRAFOL DISTRIBUSI UPJ TUMPANG SEMESTER 1 (SATU)

No Grd	Alamat Gardu	KVP	Type TRAF	Arus Jurusan A			Arus Jurusan B			Arus Jurusan C			Arus Jurusan D			Beban Total			Tegangan Phasa - O			Beban Trafo			Tanggal ukur		KETERANGAN					
				Trafo	Ph3 Ph1	R	S	T	N	R	S	T	N	R	S	T	N	R	S	T	N	R	S	T	KVA	%						
1	Jl.Raya Tampang	100	0	47	89	55	35			18	37	24	21				65	126	79	56	232	233	230	62,64	18-Feb-07	PERATING						
2	Jl.Raya Tampang	160	0	63	46	43	33			107	113	76	51				170	159	119	84	223	223	225	99,90	1-Mar-07	-						
3	Jl.Raya Jera Tampang	160	0	143	140	204	78			63	92	80	35				206	252	284	113	209	210	150,90	94,31	29-Jan-07	PERBALIKAN SUTERITA						
4	Jl.Raya Paketember	200	0			152	101	175	58			43	68	70		195	189	245	58	222	223	221	139,64	69,82	18-Feb-07	16-74b-07						
5	Ds. Sukohito Jabung	100	0			17	33	19	15			61	97	71		78	130	90	15	225	225	222	67,05	67,05	6-Feb-07							
6	Ds. Sukohito Jabung	100	0			54	70	45	20			30	35	25	10		84	105	70	30	220	224	224	56,98	56,98	26-Apr-07						
7	De. Komastere Jabung	200	0	83	128	75	80			103	148	94	7			186	276	169	87	222	224	228	140,08	70,04	25-Feb-07	PERBALIKAN SUTERITA						
8	De. Komastere Jabung	160	0			118	126	144	23			27	24	19	15	145	150	163	38	220	223	225	100,76	62,98	18-Feb-07							
9	De. Buntut Wates Pulus	200	0			174	113	45			105	77	114	25	279	220	227	70	228	228	229	165,53	82,76	18-Feb-07								
10	De. Buntut Wates Pulus	200	0			81	66	126	4			36	118	75	3	119	184	201	7	216	218	213	108,86	54,43	6-Feb-07							
11	De. Buntut Wates Pulus	200	0			16	7	10	16			142	121	126	30	158	128	136	46	225	227	223	94,95	47,48	6-Feb-07							
12	De. Bumberpait Pulus	100	0			22	43	24	27			67	50	45	89	89	69	72	221	224	225	55,47	29-Mar-07									
13	De. Subasayar Pulus	160	0			89	55	85	32			90	77	48	49	179	132	133	81	215	212	210	95,46	59,66	6-Feb-07	DALAM PROSES						
14	Dr. Proses Kecamatan Jabung	75	0			97	30	90	6			22	10	35	14	119	40	125	20	214	214	214	60,78	81,03	1-Apr-07							
15	Dr. Subkoperco Jabung	160	0	27	31	15	21			276	49	49	29			303	80	64	50	220	220	220	98,34	61,46	5-Feb-07							
16	Dr. Tahabbaer Tampang	160	0	55	10	73	31			80	119	109	41			135	129	182	72	233	237	240	103,92	64,95	18-Feb-07	PERBALIKAN SUTERITA						
17	Dr. Kabosari Tampang	160	0	95	104	90	36			64	70	35	34			159	174	125	70	223	224	222	102,13	63,83	1-Mar-07	UPATING						
18	Land - 562 Jabung	160	0												78	81	56	31	78	81	56	50,74	31,71	23-Feb-07								
19	Dr. Paketember	100	0			50	22	24	21			35	38	71	29	85	60	95	50	223	224	223	53,52	53,52	23-Feb-07							
20	Dr. Komastere Jabung	100	0	60	63	48	35			46	43	51	21			106	99	56	218	218	219	67,80	67,80	14-Feb-07								
21	De. Bahung Pac.Karuso	100	0	114	74	172	40			51	45	24	15			165	119	196	55	219	211	211	105,12	105,12	10-Apr-07							
22	Dr. Wosomulyo Tampang	200	0			118	139	108	53			44	20	62	32	162	159	170	85	229	249	243	112,44	56,22	23-Feb-07							
23	Dr. Wosodjo Pac.Jam	250	0			89	149	111	42			62	17	71	36	151	166	182	78	214	215	218	106,79	42,71	23-Feb-07	KEMC. GANTI TRF						
24	Dr. Triga Pacokonsumo	150	0			12	3	15	31			62	84	76	31	94	87	91	62	212	210	212	57,66	38,44	18-Feb-07							
25	Dr. Pacokonsumo	150	0			81	86	60	23			25	113	73	71	106	199	133	94	212	212	210	92,86	61,90	18-Feb-07							
26	Dr. Simper Pacokonsumo	75	0			39	34	31	12							39	34	31	12	241	241	240	25,06	33,42	18-Feb-07							
27	Dr. Kusdi Pacokonsumo	100	0			42	32	33	20			71	45	104	22	113	77	137	42	244	243	244	24,44	24,44	23-Feb-07							
28	Dr. Besuki Wringinjalan Pol.	50	0			121	122	0	4				121	122	0	4	231	230	229	56,13	11,27	23-Feb-07										
29	Dr. Gebuklah Pakem	75	0			45	48	68	24			63	25	43	32	108	73	111	56	227	225	230	66,28	88,38	23-Feb-07							
30	Dr. Gebuklah Pakem	50	0									163	83	0	70	163	83	0	70	235	240	231	57,81	115,62	23-Feb-07							
31	Dr. Ngarsida Rte.pant	160	0			59	43	38	18			92	93	127	21	151	136	165	39	240	244	240	108,48	67,80	23-Feb-07							
32	Bright - 16 Jabung	160	0			62	71	87	51							82	71	87	51	232	239	233	55,68	34,80	23-Feb-07							
33	Dr. Tagol Pacokonsumo	250	0	115	106	119	35			61	59	48	21			176	165	167	56	236	237	231	119,89	47,96	18-Feb-07	Rusak. 1-04-2007						
34	Dr. Gagahikun Rte.pant	160	0			116	149	116	12			57	24	12	11	163	173	128	23	244	247	248	113,22	70,76	18-Feb-07							
35	Dr. Boto pantah Bumberpait	50	0	4	6	23	10			75	30	45	12			79	36	68	22	212	222	222	38,80	77,59	18-Feb-07							
36	Dr. Wringinjalan Tampang	100	0													66	58	32	20	86	77	52	40	223	221	224	47,95	47,95	17-Apr-07			
37	Dr. Runggungan Wrg.3	150	0													44	41	39	17	38	52	57	21	82	93	96	38	232	232	62,87	41,91	6-Feb-07
38	Dr. Pakemaga Pakem	160	0													152	58	68	40	31	38	40	206	89	106	80	219	220	87,92	54,89	13-Feb-07	
39	Dr. Pakemaga Pakem	160	0													114	151	150	33	70	90	33	45	184	241	183	78	220	222	83,22	13,22	13-Feb-07
40	Dr. Pakemaga Pakem	150	0													114	151	150	33	70	90	33	45	184	241	183	78	220	222	83,22	13,22	13-Feb-07

DAFTAR PENGUKURAN BEBAN TRAFO DISTRIBUSI UPJ TUMPANG SEMESTER 1 (SATU)

No Grd	Alamat Gardu	KV A Tra fo	TYPE TRAF		Arus Jurusan A					Arus Jurusan B					Arus Jurusan C					Arus Jurusan D					Beban Total					Tegangan Phasa - O					Beban Trafo		Tanggal ukur	KETERANGAN
			1 Ph	3 Ph	R	S	T	N	R	S	T	N	R	S	T	N	R	S	T	N	R	S	T	N	R	S	T	KVA	%									
41	Da. Banjarejo Pakis	100	0						30	42	47	37					46	56	29	20	76	98	76	57	226	224	234	56.50	56.50	22-Mar-07								
42	Da. Banjarejo Pakis	160	0	103	78	74	40						71	59	48	43					174	137	122	83	216	220	221	93.53	58.46	6-Feb-07	Ganti trafo OB Sigma							
43	Da. Banjarejo Pakis	160	0						94	78	101	39					40	64	68	47	134	142	169	86	220	223	219	97.90	61.19	22-Mar-07								
44	Lisad - 502 Jateng	315	0														209	216	263	42	209	216	263	42	237	237	235	163.06	51.76	18-Feb-07								
45	Jl. Raya Tumpang	160	0	129	96	83	43						104	77	49	60					233	173	132	103	224	221	226	120.51	75.32	1-Mar-07								
46	Jl. Raya Melampusho	160	0	106	92	91	42						101	117	124	33					209	209	215	75	233	226	234	147.49	92.18	22-Mar-07	PERSAIKAN SUTRONTIA							
47	Jl. Raya Tuhsayu	50	0						29	34	27	15					21	26	19	21	50	60	46	36	239	240	239	37.28	74.57	17-Mar-07								
48	Da. Pakisjejer	160	0	68	42	63	30						23	149	57						91	191	120	30	228	228	228	91.66	57.29	18-Feb-07								
49	Da. Kital Tumpang	160	0	88	79	90	20						19	81	71	12					107	160	161	32	209	209	209	89.45	55.91	17-Mar-07								
50	Da. Kital Tumpang	160	0	46	34	39	12						121	130	109	20					169	164	148	32	210	210	210	101.01	63.13	17-Mar-07								
51	Da. Glendagan Ngaggit	100	0	34	42	80	21						70	39	19	16					104	81	99	37	205	207	208	58.22	58.22	17-Mar-07								
52	Da. Robiyong Wosomulyo Pak	100	0	33	26	18	6						46	36	46	6					79	62	64	12	219	219	219	44.90	44.90	23-Jan-07								
53	Da. Robiyong Wosomulyo Pak	50	0						30	20	19	9					41	6	59	10	71	26	78	19	222	221	219	38.85	77.70	6-Feb-07								
54	Da. Baengkowes	150	0	88	75	80	36						91	66	78	15					179	141	158	51	223	221	225	106.59	71.06	4-Mar-07								
55	Da. Tuncijeng Tumpang	150	0	85	89	45	25						40	39	29	10					128	128	74	35	216	218	215	71.28	47.52	20-Apr-07								
56	Da. Sianet Tumpang	150	0						70	50	53	20					85	60	80	20	155	110	133	40	224	225	222	89.15	59.43	17-Apr-07								
57	Da. Wanghal Argosuko Pak	150	0														142	135	145	25	142	135	145	25	216	216	216	91.15	60.77	1-Mar-07								
58	Da. Pejaten Poncoekarumo	150	0						221	180	153	19					41	34	33	35	262	214	186	54	208	213	210	137.70	91.80	17-Jan-07	PERSAIKAN SUTRONTIA							
59	Da. Kottingan Paknusomo	50	0										4	4	7	19					62	70	113	39	66	74	120	58	226	226	226	58.76	22-Mar-07					
60	Jl. Pakliwana Tipe Tumpang	75	0						23	28	18	10					33	27	43	15	56	55	61	25	222	233	222	38.18	50.91	1-Mar-07								
61	Jl. Tenggol Da Tumpang	150	0	39	40	20	18						131	187	126	66					170	227	146	84	219	218	2219	118.92	79.28	26-Feb-07								
62	Da. Kembangan Tumpang	150	0						106	37	69	32					59	69	71	21	165	106	140	53	218	218	219	89.60	59.73	22-Mar-07								
63	Brigif - 18 Jabung	160	0						130	161	75	64					8	10	12	18	138	171	87	82	225	225	225	89.10	55.69	22-Mar-07								
64	Palrik Mie Pakis	100	0	65	27	55	29						51	70	20	16					119	97	75	45	220	220	220	64.02	64.02	22-Mar-07								
65	Da. Metok Tumpang	50	0	88	89	45	25						100	70	86	20					188	159	131	45	216	219	215	103.25	206.50	20-Apr-07								
66	Da. Pacengsongo Pakis	100	0	78	83	58	12						55	40	95	20					133	123	153	32	210	209	208	85.89	85.89	17-Apr-07								
67	Perum. Pakisjejer	100	0						131	60	113	67					65	16	19	56	196	76	132	123	234	239	236	94.54	94.54	1-Mar-07								
68	Da. Sumber Indah Pakis	160	0	114	116	55	38						40	38	53	11					154	154	108	49	223	224	221	92.77	57.98	1-Apr-07								
69	Da. Komango Jabung	100	0	10	30	17	17						30	21	24	7					40	51	41	24	219	220	219	28.91	28.91	29-Jan-07								
70	Da. Bojong Poncoekarumo	75	0	40	46	39	15						106	71	74	20					146	117	113	35	213	217	212	80.09	106.78	10-Apr-07								
71	Da. Jenios Pakisjejer	150	0	31	24	22	9						209	155	195	27					240	179	217	36	244	247	248	155.18	103.46	1-Mar-07								
72	Da. Gamping Tumpang	100	0						30	40	30	14					18	60	40	10	48	100	70	24	219	216	217	47.74	47.74	17-Apr-07								
73	Da. Kredenan Poncoekarumo	100	0	89	99	49	30						8	2	13	6					97	101	62	36	219	221	222	56.94	56.94	1-Mar-07								
74	Da. Karanganyar Pakis	200	0	43	32	80	39						72	87	98	29					121	119	178	68	227	229	225	94.89	47.44	21-Feb-07								
75	Da. Gedangan Pakis	100	0	16	22	20	11						69	37	67	30					85	59	87	41	221	222	224	51.05	51.05	21-Feb-07								
76	Da. Dampel Sidoarjo Jabung	250	0						91	77	36	17					118	100	118	51	209	177	154	68	225	227	224	121.50	48.60	29-Mar-07								
77	Da. Barca Kidal Tumpang	50	0						30	10	13	18					26	19	38	11	56	29	51	29	226	231	226	30.74	61.47	22-Mar-07								
78	Da. Barca Kidal Tumpang	100	0						70	49	56	15					30	45	41	10	100	94	97	25	210	209	208	61.11	61.11	22-Mar-07								
79	Da. Barca Kidal Tumpang	100	0						28	55	49	13					39	49	60	10	67	104	109	23	216	215	216	60.48	60.48	22-Mar-07								
80	Yessior - 502 Jabung	100	0	37	62	72	28													37	62	72	28	237	237	237	40.53	40.53	22-Mar-07									

DAFTAR PENGUKURAN BEBAN TRAFO DISTRIBUSI UPJ TUMPANG SEMESTER 1 (SATU)

No Grd	Alamat	Gardu	Kv tra fo	Arus Juruas A			Arus Juruas B			Arus Juruas C			Arus Juruas D			Beban Total			Tegangan Phas - O			Beban Trafo			Tanggal ukur			Keterangan		
				Type	Traf	A	R	S	T	N	R	S	T	N	R	S	T	N	R	S	T	N	R	S	T	KVA	%			
				Psi	Phi	Psi	R	S	T	N	R	S	T	N	R	S	T	N	R	S	T	N	R	S	T	KVA				
81	Da. Jember		160	0	70	62	82	21			48	34	25	25					118	96	107	46	224	224	224	71,90	44,94	22-Mar-07		
82	Da. Manggolo Jember		160	0	95	55	68	26	43	52	49	77						139	107	117	103	216	215	216	76,41	56,41	17-Mar-07			
83	Da. Demet Tosari		160	0					46	49	51	27	29	34	31	21	75	83	82	48	212	214	208	50,88	50,88	17-Mar-07				
84	Da. Dewet Tumpang		160	0					91	63	75	28					26	16	37	13	117	112	41	211	207	64,99	64,99	17-Mar-07		
85	Da. Pundakko Pacham		160	0	37	35	36	17			160	166	140	44	197	201	176	61	225	227	223	129,15	80,72	17-Mar-07						
86	Da. Bawage Pata		160	0				8	11	18	9					74	35	57	29	82	46	75	38	225	229	223	45,68	45,68	17-Mar-07	
87	Da. Baweg Jember		160	0				71	89	106	46					71	89	106	46	222	221	224	59,05	59,05	5-Feb-07					
88	Da. Sumbuhwo Jember		160	0				77	57	30	35					77	57	30	35	230	230	230	37,72	37,72	5-Feb-07					
89	Da. Despot Jember		160	0				69	61	67	22					46	25	23	21	115	86	90	43	221	219	225	64,31	64,31	5-Feb-07	
90	Da. Ganes Jember		90	0				15	11	12	14					85	60	67	30	100	71	79	44	229	231	231	57,25	14,50	5-Feb-07	
91	Da. Kedek Pocoelkano		200	0	14	78	96	29			191	116	185	76	205	194	281	105	215	215	215	215	215	215	146,20	73,10	29-Jan-07			
92	Da. tridadi Pakhujer		160	0	69	50	47	19			170	118	149	20				239	168	196	39	234	235	234	141,10	88,19	21-Feb-07			
93	Da. Benjar Tumpang		160	0				43	44	32	16					75	26	49	39	118	70	81	55	240	241	241	64,56	64,56	21-Feb-07	
94	Da. Rendo Simokito Jember		160	0	10	36	24			62	45	52	17				72	55	88	41	233	235	236	50,10	50,10	21-Feb-07				
95	Da. Begora Sidomulyo Jember		50	0				49	30	72	39					21	6	12	20	70	36	84	59	223	221	224	42,37	84,74	21-Feb-07	
96	Da. Bayrau Jember		160	0				76	35	50	20					69	35	60	35	145	70	110	55	225	225	227	73,13	73,13	22-Mar-07	
97	Da. Pecanga Madi Jember		50	0				45	65	48	20					45	65	48	20	233	232	235	36,81	73,63	22-Mar-07					
98	Da. Ber junbo Pac. Kedewo		160	0	75	45	80	30			30	25	59	20			105	70	139	50	209	210	208	65,63	65,63	22-Mar-07				
99	Da. Ber junbo Pak. Kedewo		160	0				35	50	60	20					33	29	65	26	79	125	46	220	221	215	59,84	59,84	5-Feb-07		
100	Da. Kedek Pocoelkano		160	0				37	28	41	17					32	29	30	69	57	71	17	218	216	214	42,95	42,95	28-Apr-07		
101	Da. Petuk Kedewo		160	0	72	82	61	23			87	42	67	40			159	124	128	63	210	212	215	86,31	86,31	28-Apr-07				
102	Da. Argensi Jember		160	0				60	58	96	50					65	33	49	18	125	91	145	68	230	234	232	83,03	83,03	5-Feb-07	
103	Da. Dherban Ledi		50	0				25	10	20	10					68	35	51	20	93	45	71	30	211	211	211	44,10	88,20	13-Apr-07	
104	Da. Dherban Pak. Kedewo		50	0	64	18	17	36			63	12	38	49			127	30	55	85	205	208	214	43,46	86,92	13-Apr-07				
105	Da. Pak. Kedewo Pak. Kedewo		125	0	81	77	75	20			89	92	56	30			170	169	131	50	234	235	239	109,98	87,98	13-Apr-07				
106	Da. Gedongan Pacokkano		100	0	105	55	76	37			100	66	52	43			205	121	128	80	221	222	224	100,33	100,33	4-Mar-07				
107	Da. Petuk Kedewo		100	0	11	27	14	12			89	41	63	44			100	68	77	56	221	225	225	54,15	54,15	4-Mar-07				
108	Da. Sipati Pakhujer		50	0				14	19	43	25					18	21	19	12	32	40	37	208	214	210	27,87	55,74	27-Mar-07		
109	Da. Gresing Jeti Jember		160	0				118	123	137	27					95	70	95	26	213	193	232	53	204	205	202	130,15	81,35	27-Mar-07	
110	Da. Boro Jember		200	0	94	57	56	53			127	189	137	10			221	246	193	63	225	242	230	148,50	74,25	27-Mar-07				
111	Da. Boro Kedengpoto		50	0				8	4	14	8					44	29	18	45	48	43	26	225	225	225	50,50	61,20	4-Mar-07		
112	Da. Petukpoto		100	0				34	39	44	13					57	53	46	4	91	92	90	17	217	218	220	59,24	59,24	14-Feb-07	
113	Da. Ganting		50	0				26	31	39	26					26	31	39	26	230	224	229	22,08	44,16	13-Apr-07					
114	Da. Kedekgel		160	0				6	10	39	9					53	20	42	28	59	30	81	225	226	38,25	13-Apr-07				
115	Da. Ketedek Pak		50	0				25	13	16	11					13	10	19	6	38	23	35	17	234	232	227	22,46	44,93	13-Apr-07	
116	Da. Boro Kedeng Pak		50	0				5	6	6	3					29	10	37	12	34	16	43	15	224	229	230	20,83	41,66	5-Feb-07	
117	Da. Ngadirejo Jember		50	0				0	16	11	13					22	8	25	13	22	24	36	26	215	210	219	17,63	35,06	5-Feb-07	
118	Da. Ngadirejo Jember		50	0				66	50	63	25					66	50	63	25	223	238	236	39,92	79,93	21-Feb-07					
119	Da. Keteb Kedeng Jember		100	0	72	51	83	49			14	19	21	27			86	70	104	76	222	222	222	57,72	57,72	21-Feb-07				
120	Da. Kembidi Jember		50	0												0	0	0	0	0	0	0	0,00	0,00						

DAFTAR PENGUKURAN BEBAN TRAFIK DISTRIBUSI UPJ TUMPANG SEMESTER 1 (SATU)

No Grid	Alamat Gardu	KV A	Tipe Trafik			Arus Jalan A			Arus Jalan B			Arus Jurusan C			Arus Jurusan D			Beban Total			Tegangan Phase - O			Beban Trafo			Tenggali sehar		Keterangan	
			Phas	Phas	Phas	R	S	T	N	R	S	T	N	R	S	T	N	R	S	T	KVA	%	KVA	%	KVA	%	KVA	%		
121	KUD Jatung	50	0			29	16	24	3	35	16	24	20	64	32	48	23	230	226	224	33.12	33.12	224	33.12	224	33.12	27 Mar-07			
122	Da. Wonoasri Pocoekmane	100	0			99	57	56	31	33	22	18	18	41	39	30	34	234	235	235	63.43	39.65	229	63.43	229	63.43	27 Mar-07			
123	Da. Pocoekmane	160	0	39	16	10	25	8	17	12	32	35	25	41	36	21	73	61	34	223	225	225	25.74	25.74	221	221	221	25.74	13-Apr-07	
124	Da. Cilacap Jatung	50	0			32	35	25	13	41	43	36	21	73	78	61	34	223	225	221	47.28	47.28	221	47.28	221	47.28	13-Apr-07			
125	Purworejo Pemukut Asri	100	0																	0	0	0	0	0	0	0	0	0.00		
126	Purworejo Pemukut Asri	50	0																	0	0	0	0	0	0	0	0	0.00		
127	Telkom Purw	100	0			19	14	25	15	18	21	29	0	0	0	0	19	14	25	223	217	217	12.93	12.93	217	12.93	217	12.93	5-Feb-07	
128	Purworejo Pemukut Asri	25	0																	0	0	0	0	0	0	0	0	0.00		
129	Da. Basus Jatung	100	0			68	49	66	25	0	8	0	4	68	57	66	29	235	239	234	44.89	44.89	234	44.89	234	44.89	27 Mar-07			
130	Da. Bandrong Jatung	100	0																	0	0	0	0	0	0	0	0	0.00		
131	Da. Kembang Jatung	50	0																	0	0	0	0	0	0	0	0	0.00		
132	Da. Kujang Tji Jatung	25	0																	0	0	0	0	0	0	0	0	0.00		
133	Da. Umbullegi Tji Tihung	25	0																	0	0	0	0	0	0	0	0	0.00		
134	Da. Sabeanjo Jatung	25	0			22	31	43	29	18	21	29	40	52	72	29	219	217	214	30	204	205	202	17.95	202	17.95	202	17.95	202	24-Mar-07
135	Da. Bambang Pocoekmane	50	0			34	9	8	30	27	13	4	18	61	22	12	48	223	226	222	21.19	42.37	223	21.19	223	21.19	223	21.19	24-Mar-07	
136	PT. Gatra Megajaya	50	0																	0	0	0	0	0	0	0	0	0.00		
137	Purworejo Pamulai	100	0																	0	0	0	0	0	0	0	0	0.00		
138	PT. Hafira Pribis	100	0																	0	0	0	0	0	0	0	0	0.00		
139	Da. Sumberrejo Jatung	100	0			106	117	86	36	72	74	10	37	73	74	10	37	222	225	225	34.63	34.63	223	34.63	223	34.63	223	34.63	29-Jan-07	
140	Da. Pejagan Pocoekmane	100	0			31	133	160	122	67	208	207	212	86.32	86.32	86.32	86.32	86.32	86.32	86.32	86.32	86.32	86.32	86.32	86.32	86.32	17-Jan-07			
141	Jl. Pustodoro Tumpang	100	0			31	34	37	10	43	46	37	19	65	80	74	29	221	224	223	48.40	48.40	223	48.40	223	48.40	24-Mar-07			
142	Da. Jern Tumpang	160	0			78	66	83	22	70	39	58	22	148	105	141	44	223	227	222	87.86	54.91	223	87.86	223	54.91	11-Feb-07			
143	Da. Jebot Pulosari	160	0			32	30	28	10	60	16	61	8	92	46	89	18	225	225	225	51.08	31.92	225	51.08	225	31.92	9-Feb-07			
144	Da. Gunung Karoi	50	0							36	17	43	12	36	17	43	12	237	238	240	24.75	24.75	240	24.75	240	24.75	24-Mar-07			
145	PT. Gatra Megajaya	100	0														0	0	0	0	0	0	0	0	0	0.00				
146	Purworejo Pulosari	25	0														9	10	4	7	229	229	229	5.27	21.07	21.07	24-Mar-07			
147	Jl. Raya Lubukani Tumpang	100	0	79	66	47	27	65	112	47	49	144	178	94	76	230	230	235	95.68	95.68	235	95.68	235	95.68	24-Mar-07					
148	Da. Tenggarong Jatung	50	0			55	30	28	21	29	9	11	21	64	39	42	221	223	229	35.80	71.60	223	35.80	223	71.60	13-Mar-07				
149	Jl. Raya Makaspati Tumpang	150	0	75	78	19	1	74	136	85	75	149	214	104	76	231	230	232	107.88	71.92	232	107.88	232	71.92	11-Feb-07					
150	PT. Mandiri Petrus Pribis	50	0														0	0	0	0	0	0	0	0	0.00					
151	Da. Daerah Kalipuro Jatung	25	0			28	84	84	36	26	31	12	10	54	115	96	46	230	224	224	60.93	243.80	224	60.93	224	243.80	19-Mar-07			
152	Jl. Rayar Bantul Wetan	200	0			43	42	50	11	94	85	62	9	137	127	132	20	216	216	216	85.54	42.77	216	85.54	216	42.77	24-Mar-07			
153	UD. Chendek Pribis	100	0														0	0	0	0	0	0	0	0	0.00					
154	Da. Manki Bo	25	0			12	5	2	8	0	1	0	4	12	6	2	12	219	218	220	4.38	17.52	220	4.38	220	17.52	25-Mar-07			
155	Da. Luruk Bo	25	0			15	20	10	10	14	18	15	9	29	25	19	216	220	220	19.87	79.49	220	19.87	220	79.49	25-Mar-07				
156	Da. Ngadas	75	0			32	31	29	10	46	52	50	18	221	221	223	33.15	44.20	223	33.15	223	44.20	6-Apr-07							
157	Da. Rengpane	25	0			0	11	15	11	14	10	13	9	31	24	25	17	221	221	221	16.01	64.04	221	16.01	221	64.04	6-Apr-07			
158	Da. Rengpane	25	0													0	0	0	0	0	0	0	0	0.00						
159	Da. Pulosari	160	0													0	0	0	0	0	0	0	0	0.00						
160	Da. Karanganyar	160	0	125	104	101	28	69	32	57	41	194	136	158	69	222	224	221	108.34	67.71	224	108.34	224	67.71	4-Mar-07					

DAFTAR PENGUKURAN BEBAN TRAFO DISTRIBUSI UPJ TUMPANG SEMESTER 1 (SATU)

No Grd	Alamat	Gardu	KV A Tra fo	TYPE TRAF		Arus Jurusan A				Arus Jurusan B				Arus Jurusan C				Arus Jurusan D				Beban Total				Tegangan Phasa - O				Beban Trafo		Tanggal ukur	KETERANGAN
				1 Ph	3 Ph	R	S	T	N	R	S	T	N	R	S	T	N	R	S	T	N	R	S	T	KVA	%							
161	Da. Sumber pita		25	O						24	27	21	16					25	41	21	27	49	68	42	43	213	210	212	33.87	135.47	5-Feb-07		
162	Da. Tujuh Besar		100	O						33	48	39	13					79	68	60	4	112	116	99	17	237	229	225	77.50	77.50	5-Feb-07		
163	Da. Pradean		160	O						13	36	30	21					19	21	41	18	32	57	71	39	230	231	229	36.80	23.00	5-Feb-07		
164	Da.Rijenjang		25	O	6	4	5	7						2	4	6	10					8	8	11	17	227	226	226	6.13	24.52	5-Feb-07		
165	Da. Sumberrejo (Kaben Kopi)		10	O														10	11	12	11	10	11	12	11	219	217	214	7.23	72.27	5-Feb-07		
166	Jl. Raya Ampel		200	O																		0	0	0	0				0.00	0.00			
167	Da. Tujuh Besar		100	O	64	77	84	21						43	25	74	25					107	102	158	46	218	222	217	80.01	80.01	10-Apr-07		
168	Da. Womorejo		200	O						42	52	59	21					48	51	54	12	90	103	113	33	229	231	232	70.07	35.04	24-Mar-07		
169	Da. Jabung		100	O	50	80	67	10	2	2	20	10	40	39	29	10	502	20	30	20	594	141	146	50	221	221	223	194.70	194.70	20-Apr-07			
170	Skip T.98 Da.Jambesari		100	O																	52	22	51	31	207	210	213	25.88	25.88	26-Apr-07			
171	Da. Tengg Komiri		50	O																	0	0	0	0				0.00	0.00				
172	Da. Sumberpasir (PT.Cetar)		315	O																	0	0	0	0				0.00	0.00				
173	Da. Subello (Peternak Ayam)		200	O																	0	0	0	0				0.00	0.00				
174	Da. Subello (Peternak Ayam)		200	O																	0	0	0	0				0.00	0.00				
175	Da. Kemantren Jabung		100	O										67	57	94	30					67	57	94	30	226	230	225	49.27	49.27	25-Feb-07	Sisipan T. 07	

Catatan :

Untuk nomor gardu yang ada tandanya
sudah sesuai dgn di lapangan.

Daya Trafo Sudah Sesuai

Mengetahui,
MANAGER UPJ

Tumpang, 06 Februari 2007
SUPERVISOR TEKNIK

ALLATIF AGUSTINO

WAHYUDIONO

TABEL PERBANDINGAN TEGANGAN

ETAP	MATLAB					
	Bus	Tegangan	Bus	Tegangan	Bus	Tegangan
	%	%	%	pu	pu	pu
1	100,000	44	97,894	87	97,416	1
2	99,510	45	97,891	88	97,364	2
3	99,506	46	97,890	89	97,363	3
4	99,337	47	97,881	90	97,355	4
5	99,256	48	97,874	91	97,349	5
6	99,252	49	97,819	02	97,354	6
7	99,107	50	97,803	93	97,353	7
8	99,025	51	97,789	94	97,351	8
9	99,015	52	97,717	95	97,349	9
10	99,013	53	97,710	96	97,554	10
11	99,005	54	97,709	97	97,536	11
12	99,005	55	97,672	98	97,526	12
13	99,004	56	97,663	99	97,517	13
14	98,986	57	97,666	100	97,508	14
15	98,945	58	97,647	101	97,507	15
16	98,938	59	97,698	102	97,505	16
17	98,817	60	97,690	103	97,538	17
18	98,796	61	97,685	104	97,535	18
19	98,786	62	97,665	105	97,546	19
20	98,609	63	97,663	106	97,472	20
21	98,212	64	97,659	107	97,160	21
22	98,123	65	97,658	108	97,458	22
23	98,117	66	97,634	109	97,430	23
24	98,110	67	97,631	110	97,426	24
25	98,102	68	97,929	111	97,488	25
26	98,101	69	97,871	112	97,435	26
27	98,100	70	97,869	113	97,405	27
28	98,098	71	97,853	114	97,345	28
29	98,095	72	97,810	115	97,310	29
30	98,088	73	97,803	116	97,264	30
31	98,098	74	97,675	117	97,243	31
32	98,062	75	97,623	118	97,237	32
33	98,098	76	97,577	119	97,224	33
34	98,102	77	97,574	120	97,221	34
35	98,088	78	97,593	121	97,207	35
36	98,087	79	97,631	122	97,414	36
37	98,084	80	97,630	123	97,394	37
38	98,114	81	97,634	124	97,371	38
39	98,108	82	97,559	125	97,301	39
40	98,058	83	97,529	126	97,294	40

41	97,998	84	97,482	127	97,275
42	97,983	85	97,480	128	97,254
43	97,947	86	97,425	129	97,253

41	0.97667	84	0.97088	127	0.96885
42	0.97652	85	0.97088	128	0.96845
43	0.97597	86	0.97032	129	0.96843

LISTING PROGRAM

CETAK NEWTON RHAPSON

```
unction [Nbus]=CetakNewtonRaphson(Nbus,ite,selang,V,Sg,SL,Z,Alir,RugiS,SumG,SumL,Rr)
lisp(' ');
lisp([' Hasil Perhitungan Aliran Daya']);
isp([' Dengan Metode Newton-Raphson']);
isp(' ');
isp([' Jumlah Bus = ' num2str(Nbus)]);
isp([' Jumlah iterasi = ' num2str(ite)]);
isp([' Waktu Hitung = ' num2str(selang) ' detik']);
isp(' ');
isp(['-----']);
isp([' Bus Tegangan Pembangkitan Pembebanan ']);
isp([' (pu) kw kvar kw kvar ']);
isp(['-----']);
a=[(1:Nbus)' real(V) imag(V) real(Sg) imag(Sg) real(SL) imag(SL)];
printf('%0.5f %0.8.5f %0.8.5f %0.8.3f %0.8.3f %0.8.3f %0.8.3f\n',Sa');
lisp(['-----']);
lisp(' ');
lisp([' Aliran Daya Antar Saluran']);
lisp(' ');
=0;
lisp(['-----']);
isp([' Bus Daya Bus Daya ']);
isp([' from to kw kvar from to kw kvar ']);
isp(['-----']);
or i=1:Nbus
for j=1:Nbus
x=imag(RugiS(i,j));
if x~=0
S=[i j real(Alir(i,j)) imag(Alir(i,j)) j i real(Alir(j,i)) imag(Alir(j,i))];
fprintf(' %0.3f %0.3f %0.9.3f %0.9.3f %0.3f %0.3f %0.9.3f %0.9.3f\n',S);
end
end
id
sp(['-----']);
sp(' ');
sp([' Rugi Daya Antar Saluran']);
sp(' ');
=0;
sp(['-----']);
sp([' Bus Rugi ']);
sp([' from to kw kvar ']);
sp(['-----']);
or i=1:Nbus
```

Tabel 4-10
Rugi Daya Tiap Saluran Penyulang Tumpang
Setelah Kompensasi

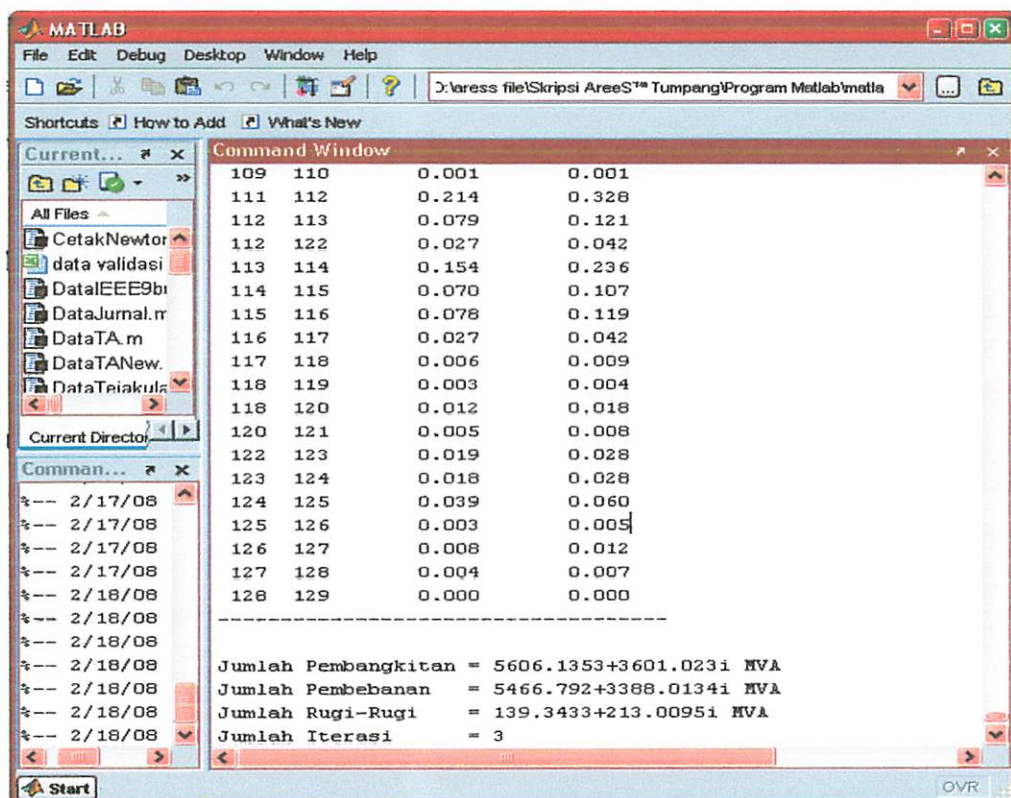
BUS		RUGI		BUS		RUGI	
from	to	kW	kvar	from	to	kW	kvar
1	2	30.658	46.865	34	38	0.046	0.070
2	3	0.001	0.001	35	36	0.000	0.000
2	4	10.951	16.740	35	37	0.002	0.002
4	5	5.221	7.981	38	39	0.006	0.009
5	6	0.002	0.003	40	41	2.773	4.239
5	7	9.651	14.753	41	42	0.558	0.853
7	8	5.443	8.322	42	43	1.097	1.677
8	9	0.009	0.014	42	68	1.344	2.055
8	14	2.589	3.958	43	44	0.722	1.104
9	10	0.001	0.001	44	45	0.049	0.075
9	11	0.006	0.009	45	46	0.000	0.001
11	12	0.000	0.000	45	47	0.153	0.234
11	13	0.000	0.000	47	48	0.047	0.072
14	15	2.799	4.279	48	49	0.098	0.150
15	16	0.003	0.004	48	52	0.701	1.072
15	17	8.799	13.450	49	50	0.020	0.031
17	18	0.021	0.032	50	51	0.012	0.019
17	20	14.879	22.745	52	53	0.015	0.022
18	19	0.006	0.010	52	59	0.051	0.078
20	21	20.693	31.632	53	54	0.000	0.001
21	22	4.721	7.217	53	55	0.048	0.073
22	23	0.057	0.087	55	56	0.003	0.005
22	40	2.845	4.349	55	57	0.006	0.010
23	24	0.064	0.097	57	58	0.010	0.015
24	25	0.075	0.115	59	60	0.016	0.025
25	26	0.000	0.000	60	61	0.001	0.001
25	27	0.018	0.027	60	62	0.045	0.069
27	28	0.026	0.040	62	63	0.000	0.000
28	29	0.004	0.006	62	64	0.010	0.015
28	31	0.015	0.022	64	65	0.001	0.001
29	30	0.004	0.007	64	66	0.035	0.053
31	32	0.014	0.021	66	67	0.002	0.004
31	33	0.018	0.028	68	69	1.428	2.183
33	34	0.031	0.048	69	70	0.000	0.001
34	35	0.010	0.015	69	71	0.436	0.666

३८५ वर्षात् १९४७ के अनुसार इनकी जन्म वर्ष अप्रैल १९०८ था।

卷之三

BUS		RUGI		BUS		RUGI	
from	to	kW	kvar	from	to	kW	kvar
71	72	1.065	1.628	105	106	0.143	0.218
72	73	0.167	0.255	106	107	0.018	0.028
73	74	3.198	4.888	107	108	0.001	0.002
74	75	1.325	2.026	107	109	0.030	0.046
75	76	1.199	1.833	109	110	0.001	0.001
76	77	0.028	0.042	111	112	0.214	0.328
76	103	0.791	1.209	112	113	0.079	0.121
77	78	0.060	0.092	112	122	0.027	0.042
77	82	0.069	0.106	113	114	0.154	0.236
77	96	0.028	0.043	114	115	0.070	0.107
78	79	0.111	0.169	115	116	0.078	0.119
79	80	0.000	0.001	116	117	0.027	0.042
79	81	0.008	0.012	117	118	0.006	0.009
82	83	0.116	0.177	118	119	0.003	0.004
83	84	0.151	0.232	118	120	0.012	0.018
84	85	0.000	0.000	120	121	0.005	0.008
84	86	0.172	0.263	122	123	0.019	0.028
86	87	0.023	0.035	123	124	0.018	0.028
87	88	0.093	0.143	124	125	0.039	0.060
88	89	0.001	0.001	125	126	0.003	0.005
89	90	0.004	0.007	126	127	0.008	0.012
89	92	0.008	0.013	127	128	0.004	0.007
90	91	0.002	0.002	128	129	0.000	0.000
92	93	0.001	0.001				
92	94	0.002	0.003				
94	95	0.001	0.001				
96	97	0.020	0.031				
97	98	0.005	0.008				
97	99	0.010	0.016				
99	100	0.003	0.004				
100	101	0.000	0.000				
101	102	0.000	0.000				
103	104	0.094	0.143				
104	105	0.065	0.099				
104	111	0.194	0.297				

14. Gerakan scroll ke bawah untuk melihat hasil tampilan jumlah pembangkitan, pembebanan, dan rugi-rugi setelah optimasi dengan menggunakan metode *Hybrid MGA-Fuzzy Logic*.



The screenshot shows the MATLAB interface with the Command Window open. The window displays a table of data and several calculated values at the bottom.

109	110	0.001	0.001
111	112	0.214	0.328
112	113	0.079	0.121
112	122	0.027	0.042
113	114	0.154	0.236
114	115	0.070	0.107
115	116	0.078	0.119
116	117	0.027	0.042
117	118	0.006	0.009
118	119	0.003	0.004
118	120	0.012	0.018
120	121	0.005	0.008
122	123	0.019	0.028
123	124	0.018	0.028
124	125	0.039	0.060
125	126	0.003	0.005
126	127	0.008	0.012
127	128	0.004	0.007
128	129	0.000	0.000

```

Jumlah Pembangkitan = 5606.1353+3601.023i MVA
Jumlah Pembebanan = 5466.792+3388.0134i MVA
Jumlah Rugi-Rugi = 139.3433+213.0095i MVA
Jumlah Iterasi = 3

```

GAMBAR 4-16 TAMPILAN HASIL JUMLAH PEMBANGKITAN,
PEMBEBANAN, RUGI-RUGI SETELAH OPTIMASI
MENGGUNAKAN METODE HYBRID MGA-FUZZY LOGIC

WEVERIN VERTA RICORDI ALBERTO FRANCESCO ROSSI

DEPARTMENT OF STATE - WASHINGTON D.C. 20520

CHANGES IN THE APPARENT VIBRATION MODES IN LIQUID-HELIUM

காலத்திலே குறிப்பிட்டு வரும் சம்பந்தமாக அதை விரிவாக விவரிதிப்பது

କେବଳମାତ୍ରାଙ୍କ କାହାପାଇବାର କୁଟୀ ଲାଗିଲା ଏବେଳୁ କାହାରେ କାହାରେ

Digitized by srujanika@gmail.com

Berikut adalah hasil dari program dengan *metode Hybrid MGA-Fuzzy Logic* setelah dilakukan penempatan kapasitor pada jaringan 20kV sistem distribusi radial di Penyulang Tumpang Pakis, Malang

TABEL 4-11

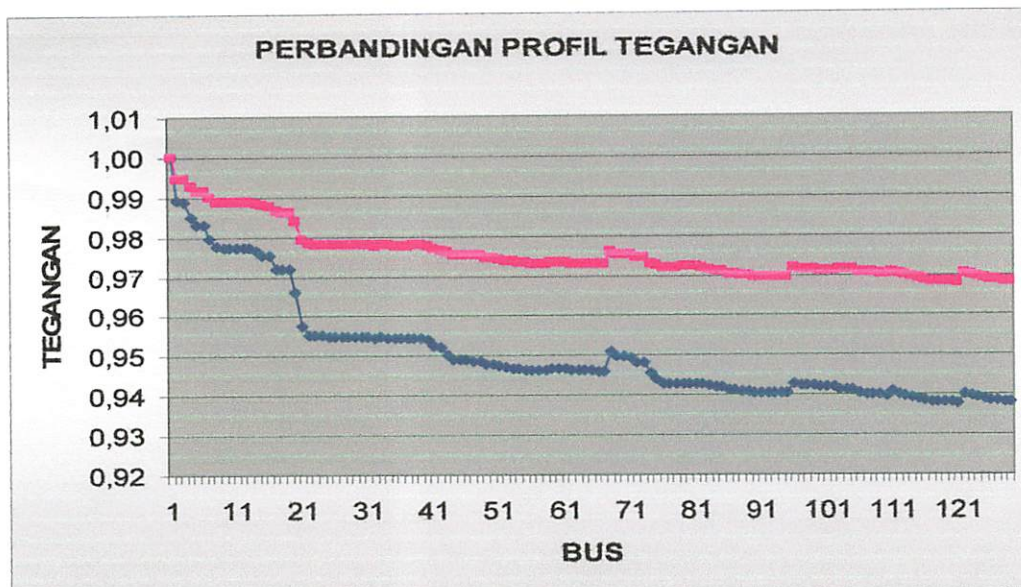
HASIL PROGRAM METODE HYBRID MGA-FUZY LOGIC

	Sebelum Penempatan	Setelah Penempatan Metode MGA dan Fuzzy Logic			
		Node	L	M	P
1.Penempatan dan Kapasitas kapasitor tiap tingkat beban	-	20	400	200	700
		38	100	700	500
		43	500	600	300
		47	100	100	700
		81	200	600	500
		105	600	200	800
2. Tegangan terendah	Node : 121 0,93783 pu atau 18,7566 kV	Node : 121 0.96799 pu atau 19,3598 kV			
3.Rugi Daya Aktif	201.5692 kW	139.3433 kW pengurangan : 62,2259 kW			
Rugi Daya Reaktif	308.1321 kVAR	213.0095 kVAR pengurangan :95,1226 kVAR			

Il. 1. Kultura i kultura srednje dobe u kojoj je nastala i razvijena srednjevekovna književnost

卷之三

ANSWER: **W**hat is the **W**hole **W**ord? **W**hat is the **W**hole **W**ord?



**GRAFIK 4-1 TEGANGAN TIAP BUS TERHADAP TEGANGAN AWAL,
TEGANGAN SEBELUM DAN SETELAH OPTIMASI**

Grafik 4-1 adalah garfik perbandingan tegangan tiap bus terhadap tegangan awal, sebelum dan sesudah dikompensasi dapat terlihat bahwa tegangan terendah terjadi pada bus 121 sebesar $0,93783 \text{ pu}$ atau $18,7566 \text{ kV}$ dan setelah dilakukan kompensasi naik menjadi 0.96799 pu atau $19,3598 \text{ kV}$. Dimana batas tegangan yang diijinkan oleh PLN adalah sebesar 0.95 pu sampai 1.05 pu .

WILSON'S CLOTHES LINE INVESTIGATION

100.0	
95.0	
90.0	
85.0	
80.0	
75.0	
70.0	
65.0	
60.0	
55.0	
50.0	
45.0	
40.0	
35.0	
30.0	
25.0	
20.0	
15.0	
10.0	
5.0	
0.0	

100.0 FOR 10 18 20 22 24 26 28 30 32 34 36
100.0

MANA KALYANAM KALYANAM KALYANAM KALYANAM KALYANAM

KALYANAM KALYANAM KALYANAM KALYANAM KALYANAM

reuniget valgatu siid ja värvi: mõnikord ka üksikud li-k-lid
täispuu deponiitidega eest ei ole veel ükski täispuu. Kõikideks, kelleks
võidakse nimetada, on üksikud, mis on üksikud. Kõikideks, kelleks,
on üksikud, mis on üksikud. Kõikideks, kelleks, on üksikud, mis on üksikud.
Kõikideks, kelleks, on üksikud, mis on üksikud. Kõikideks, kelleks,

on üksikud, mis on üksikud. Kõikideks, kelleks, on üksikud.

12. Gerakan scroll ke bawah untuk melihat tampilan hasil aliran daya antar saluran setelah optimasi.

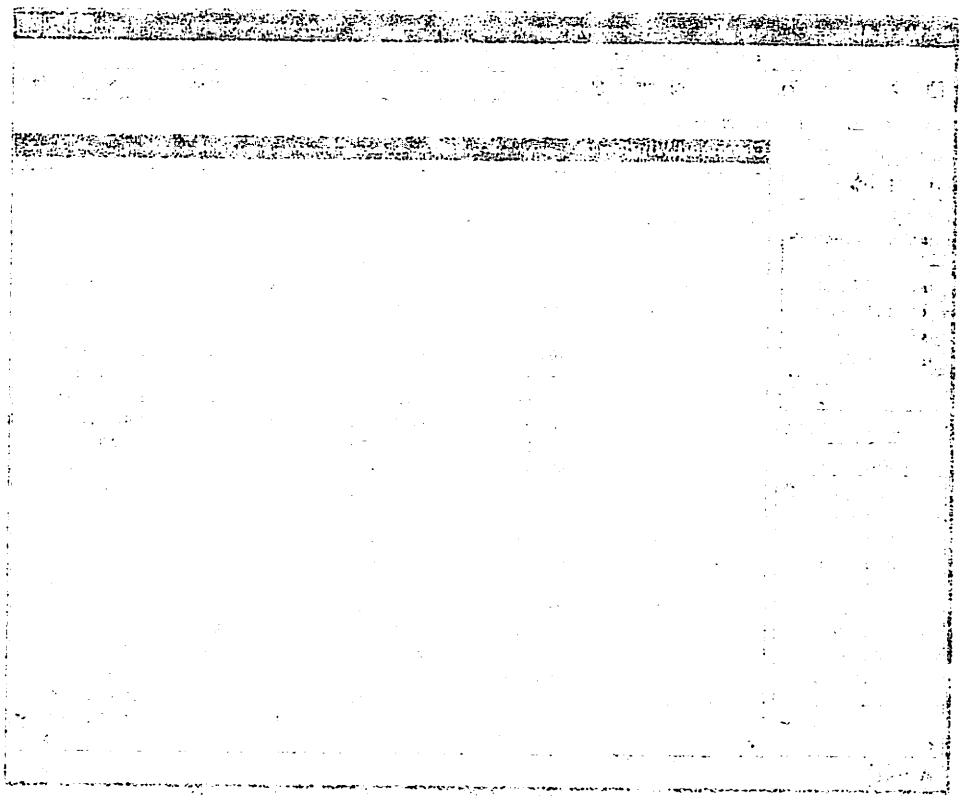
The screenshot shows the MATLAB interface with the Command Window active. The window title is 'Command Window' and the subtitle is 'Aliran Daya Antar Saluran'. The content displays a table of power flow results:

Bus		Daya		Bus		Daya	
from	to	mw	mvar	from	to	mw	
1	2	5606.135	101.023	2	1	-5575.478	
2	3	38.829	24.065	3	2	-38.828	
2	4	5536.649	30.093	4	2	-5525.698	
4	5	5442.483	-38.220	5	4	-5437.262	
5	6	79.503	49.273	6	5	-79.500	
5	7	5357.759	-95.474	7	5	-5348.108	
7	8	5300.083	-139.990	8	7	-5294.640	
8	9	132.692	82.250	9	8	-132.683	
8	14	5161.948	-230.561	14	8	-5159.359	
9	10	40.580	25.149	10	9	-40.579	
9	11	92.104	57.086	11	9	-92.098	
11	12	73.007	45.246	12	11	-73.006	
11	13	19.091	11.832	13	11	-19.091	
14	15	5083.581	-281.482	15	14	-5080.782	
15	16	54.420	33.728	16	15	-54.417	
15	17	5026.363	-319.489	17	15	-5017.564	
17	18	148.378	91.981	18	17	-148.357	

GAMBAR 4-14 TAMPILAN HASIL ALIRAN DAYA ANTAR SALURAN
SETELAH OPTIMASI

Untuk gambar 4-14 terlihat tampilan hasil aliran daya antar saluran dari bus ke bus untuk daya yang dialirkan sepanjang saluran pada penyulang Tumpang setelah optimasi. Pada tabel 4-9 memperlihatkan daya tiap saluran setelah di optimasi.

Erratum: Receptor-mediated



The following article is reprinted from the March 1988 issue of *Journal of Clinical Endocrinology and Metabolism*.

ERRATUM

The following article is reprinted from the March 1988 issue of *Journal of Clinical Endocrinology and Metabolism*. It was originally published in the January 1988 issue of *Journal of Clinical Endocrinology and Metabolism*, Vol. 101, No. 1, pp. 103-107.

RECEIVED: 10/10/87; ACCEPTED: 1/10/88; PUBLISHED: 2/10/88

Tabel 4-9
Daya Tiap Saluran Penyalang Tumpang
Setelah Optimasi

BUS		DAYA		BUS		DAYA	
from	to	kW	kvar	from	to	kW	kvar
1	2	5.606.135	101.023	2	1	-5.575.478	-54.158
2	3	38.829	24.065	3	2	-38.828	-24.063
2	4	5.536.649	30.093	4	2	-5.525.698	-13.353
4	5	5.442.483	-38.220	5	4	-5.437.262	46.201
5	6	79.503	49.273	6	5	-79.500	-49.270
5	7	5.357.759	-95.474	7	5	-5.348.108	110.227
7	8	5.300.083	-139.990	8	7	-5.294.640	148.312
8	9	132.692	82.250	9	8	-132.683	-82.236
8	14	5.161.948	-230.561	14	8	-5.159.359	234.519
9	10	40.580	25.149	10	9	-40.579	-25.149
9	11	92.104	57.086	11	9	-92.098	-57.077
11	12	73.007	45.246	12	11	-73.006	-45.245
11	13	19.091	11.832	13	11	-19.091	-11.832
14	15	5.083.581	-281.482	15	14	-5.080.782	285.760
15	16	54.420	33.728	16	15	-54.417	-33.725
15	17	5.026.363	-319.489	17	15	-5.017.564	332.939
17	18	148.378	91.981	18	17	-148.357	-91.949
17	20	4.869.186	-424.920	20	17	-4.854.307	447.665
18	19	87.769	54.400	19	18	-87.762	-54.390
20	21	4.761.776	194.989	21	20	-4.741.083	-163.357
21	22	4.668.374	118.296	22	21	-4.663.653	-111.079
22	23	965.938	98.988	23	22	-965.881	-98.901
22	40	3.697.715	12.091	40	22	-3.694.871	-7.743
23	24	880.966	46.275	24	23	-880.902	-46.178
24	25	778.469	-17.305	25	24	-778.393	17.420
25	26	41.140	25.497	26	25	-41.140	-25.496
25	27	737.253	-42.917	27	25	-737.235	42.944
27	28	683.991	-75.941	28	27	-683.965	75.981
28	29	189.422	117.401	29	28	-189.418	-117.395
28	31	494.543	-193.382	31	28	-494.529	193.404
29	30	88.336	54.750	30	29	-88.332	-54.743
31	32	54.890	34.030	32	31	-54.876	-34.009
31	33	439.639	-227.434	33	31	-439.621	227.462
33	34	314.254	-305.157	34	33	-314.223	305.205
34	35	94.209	58.396	35	34	-94.199	-58.381
34	38	220.014	-363.600	38	34	-219.969	363.670

ଶ୍ରୀ ମହାତ୍ମା
ବିନ୍ଦୁମାତ୍ରାମାଣି କାନ୍ତପାତ୍ର ପାତ୍ର
ବିନ୍ଦୁମାତ୍ରାମାଣି କାନ୍ତପାତ୍ର

ITEM	AYAO			AYAO			AYAO		
	Wk	Q1	MON	Wk	Q1	MON	Wk	Q1	MON
B01 NO.	STC-0012	S	S	C01.102	001.002	S	S	S	S
003 NO.	STC-002	S	S	C03.02	003.002	S	S	S	S
006 NO.	STC-0032	S	S	C06.06	006.002	A	S	S	S
008 NO.	STC-1004	S	S	C08.08	008.004	S	S	S	S
012 NO.	STC-01	S	S	C012.02	0012.002	S	S	S	S
100 NO.	STC-1005	S	S	C10.05	010.005	S	S	S	S
016 NO.	STC-0019	S	S	C016.09	0016.009	S	S	S	S
018 NO.	STC-0019	S	S	C018.09	0018.009	S	S	S	S
020 NO.	STC-0020	S	S	C020.010	0020.0010	S	S	S	S
022 NO.	STC-0021	S	S	C022.011	0022.0011	S	S	S	S
024 NO.	STC-0022	S	S	C024.012	0024.0012	S	S	S	S
026 NO.	STC-0023	S	S	C026.013	0026.0013	S	S	S	S
028 NO.	STC-0024	S	S	C028.014	0028.0014	S	S	S	S
030 NO.	STC-0025	S	S	C030.015	0030.0015	S	S	S	S
032 NO.	STC-0026	S	S	C032.016	0032.0016	S	S	S	S
034 NO.	STC-0027	S	S	C034.017	0034.0017	S	S	S	S
036 NO.	STC-0028	S	S	C036.018	0036.0018	S	S	S	S
038 NO.	STC-0029	S	S	C038.019	0038.0019	S	S	S	S
040 NO.	STC-0030	S	S	C040.020	0040.0020	S	S	S	S
042 NO.	STC-0031	S	S	C042.021	0042.0021	S	S	S	S
044 NO.	STC-0032	S	S	C044.022	0044.0022	S	S	S	S
046 NO.	STC-0033	S	S	C046.023	0046.0023	S	S	S	S
048 NO.	STC-0034	S	S	C048.024	0048.0024	S	S	S	S
050 NO.	STC-0035	S	S	C050.025	0050.0025	S	S	S	S
052 NO.	STC-0036	S	S	C052.026	0052.0026	S	S	S	S
054 NO.	STC-0037	S	S	C054.027	0054.0027	S	S	S	S
056 NO.	STC-0038	S	S	C056.028	0056.0028	S	S	S	S
058 NO.	STC-0039	S	S	C058.029	0058.0029	S	S	S	S
060 NO.	STC-0040	S	S	C060.030	0060.0030	S	S	S	S
062 NO.	STC-0041	S	S	C062.031	0062.0031	S	S	S	S
064 NO.	STC-0042	S	S	C064.032	0064.0032	S	S	S	S
066 NO.	STC-0043	S	S	C066.033	0066.0033	S	S	S	S
068 NO.	STC-0044	S	S	C068.034	0068.0034	S	S	S	S
070 NO.	STC-0045	S	S	C070.035	0070.0035	S	S	S	S
072 NO.	STC-0046	S	S	C072.036	0072.0036	S	S	S	S
074 NO.	STC-0047	S	S	C074.037	0074.0037	S	S	S	S
076 NO.	STC-0048	S	S	C076.038	0076.0038	S	S	S	S
078 NO.	STC-0049	S	S	C078.039	0078.0039	S	S	S	S
080 NO.	STC-0050	S	S	C080.040	0080.0040	S	S	S	S
082 NO.	STC-0051	S	S	C082.041	0082.0041	S	S	S	S
084 NO.	STC-0052	S	S	C084.042	0084.0042	S	S	S	S
086 NO.	STC-0053	S	S	C086.043	0086.0043	S	S	S	S
088 NO.	STC-0054	S	S	C088.044	0088.0044	S	S	S	S
090 NO.	STC-0055	S	S	C090.045	0090.0045	S	S	S	S
092 NO.	STC-0056	S	S	C092.046	0092.0046	S	S	S	S
094 NO.	STC-0057	S	S	C094.047	0094.0047	S	S	S	S
096 NO.	STC-0058	S	S	C096.048	0096.0048	S	S	S	S
098 NO.	STC-0059	S	S	C098.049	0098.0049	S	S	S	S
100 NO.	STC-0060	S	S	C100.050	0100.0050	S	S	S	S

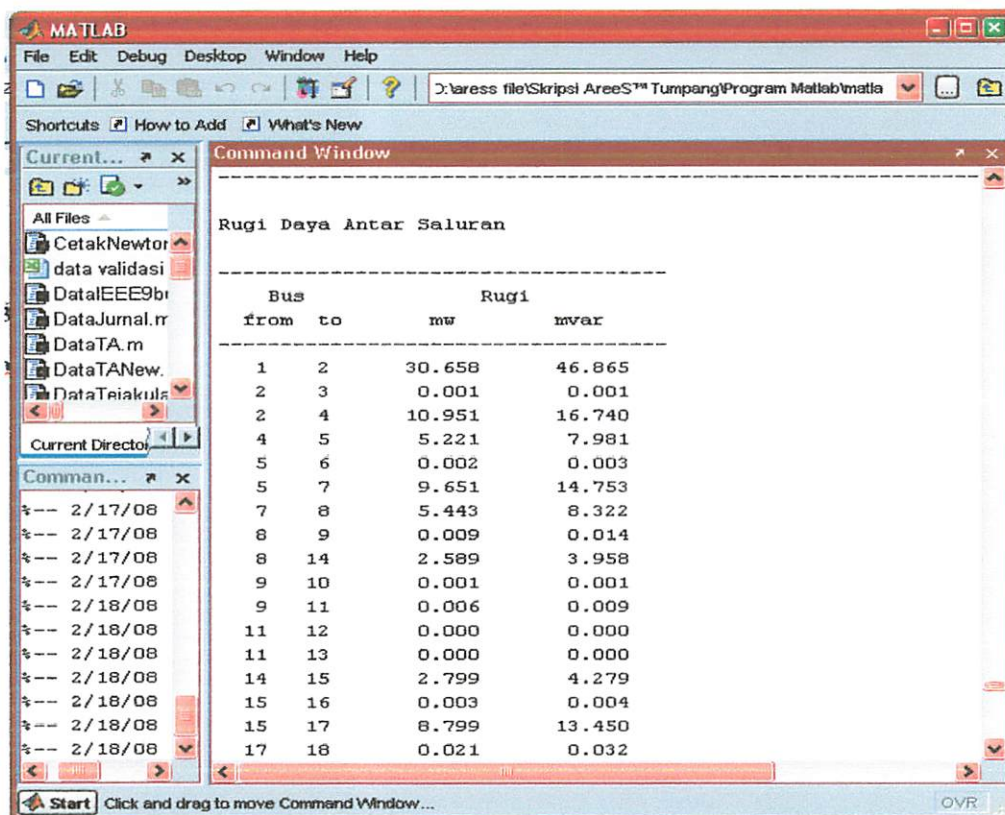
35	36	40.758	25.260	36	35	-40.757	-25.259
35	37	53.441	33.121	37	35	-53.439	-33.119
38	39	128.271	79.500	39	38	-128.265	-79.492
40	41	3.613.543	-42.660	41	40	-3.610.770	46.899
41	42	3.523.959	-100.699	42	41	-3.523.401	101.552
42	43	1.159.620	-278.475	43	42	-1.158.523	280.151
42	68	2.363.781	176.922	68	42	-2.362.437	-174.868
43	44	1.083.876	-26.413	44	43	-1.083.154	27.517
44	45	969.976	-97.658	45	44	-969.928	97.733
45	46	62.084	38.477	46	45	-62.084	-38.476
45	47	907.843	-136.210	47	45	-907.690	136.444
47	48	876.410	544.171	48	47	-876.364	-544.099
48	49	250.277	155.227	49	48	-250.179	-155.077
48	52	626.086	388.872	52	48	-625.385	-387.800
49	50	172.702	107.061	50	49	-172.681	-107.030
50	51	124.282	77.035	51	50	-124.270	-77.016
52	53	265.453	164.588	53	52	-265.438	-164.566
52	59	359.932	223.212	59	52	-359.881	-223.134
53	54	85.859	53.211	54	53	-85.858	-53.210
53	55	179.579	111.355	55	53	-179.531	-111.281
55	56	51.411	31.865	56	55	-51.408	-31.860
55	57	128.120	79.416	57	55	-128.113	-79.406
57	58	76.170	47.215	58	57	-76.160	-47.200
59	60	283.849	176.014	60	59	-283.832	-175.988
60	61	26.130	16.195	61	60	-26.129	-16.193
60	62	257.702	159.794	62	60	-257.657	-159.725
62	63	17.706	10.973	63	62	-17.705	-10.973
62	64	239.951	148.752	64	62	-239.942	-148.737
64	65	49.488	30.670	65	64	-49.487	-30.669
64	66	190.454	118.066	66	64	-190.419	-118.013
66	67	117.047	72.541	67	66	-117.045	-72.538
68	69	2.329.984	154.755	69	68	-2.328.556	-152.572
69	70	28.790	17.843	70	69	-28.789	-17.842
69	71	2.299.766	134.729	71	69	-2.299.331	-134.063
71	72	2.267.643	114.425	72	71	-2.266.578	-112.797
72	73	2.208.948	77.081	73	72	-2.208.781	-76.826
73	74	2.140.772	34.678	74	73	-2.137.575	-29.790
74	75	2.069.498	-12.400	75	74	-2.068.173	14.425
75	76	1.978.821	-69.801	76	75	-1.977.623	71.633
76	77	986.415	112.159	77	76	-986.388	-112.116
76	103	991.207	-183.792	103	76	-990.417	185.001
77	78	156.647	-402.756	78	77	-156.587	402.848
77	82	632.040	392.288	82	77	-631.971	-392.182

77	96	197.700	122.584	96	77	-197.672	-122.541
78	79	71.306	-455.700	79	78	-71.196	455.869
79	80	33.023	20.466	80	79	-33.022	-20.466
79	81	38.173	-476.335	81	79	-38.165	476.347
82	83	536.397	332.950	83	82	-536.281	-332.773
83	84	445.679	276.623	84	83	-445.528	-276.392
84	85	26.010	16.120	85	84	-26.010	-16.120
84	86	419.518	260.272	86	84	-419.346	-260.009
86	87	338.689	210.023	87	86	-338.666	-209.988
87	88	246.577	152.916	88	87	-246.484	-152.773
88	89	203.091	125.881	89	88	-203.091	-125.880
89	90	74.432	46.134	90	89	-74.428	-46.127
89	92	128.659	79.746	92	89	-128.650	-79.733
90	91	36.943	22.896	91	90	-36.941	-22.894
92	93	55.786	34.574	93	92	-55.785	-34.573
92	94	72.864	45.160	94	92	-72.863	-45.157
94	95	50.865	31.524	95	94	-50.864	-31.523
96	97	151.644	94.016	97	96	-151.624	-93.985
97	98	73.368	45.474	98	97	-73.363	-45.467
97	99	78.256	48.511	99	97	-78.246	-48.495
99	100	41.738	25.870	100	99	-41.735	-25.865
100	101	11.203	6.943	101	100	-11.203	-6.943
101	102	5.211	3.229	102	101	-5.210	-3.229
103	104	899.645	-241.256	104	103	-899.551	241.399
104	105	325.689	-597.921	105	104	-325.624	598.021
104	111	573.862	356.523	111	104	-573.668	-356.225
105	106	266.065	165.068	106	105	-265.922	-164.849
106	107	216.911	134.475	107	106	-216.893	-134.447
107	108	78.932	48.919	108	107	-78.931	-48.917
107	109	137.961	85.528	109	107	-137.930	-85.482
109	110	28.153	17.448	110	109	-28.152	-17.447
111	112	552.367	343.024	112	111	-552.153	-342.697
112	113	373.057	231.594	113	112	-372.978	-231.474
112	122	179.096	111.102	122	112	-179.068	-111.060
113	114	349.288	216.792	114	113	-349.134	-216.556
114	115	281.313	174.524	115	114	-281.243	-174.417
115	116	233.532	144.849	116	115	-233.454	-144.730
116	117	177.116	109.814	117	116	-177.089	-109.773
117	118	127.950	79.319	118	117	-127.945	-79.311
118	119	29.438	18.247	119	118	-29.435	-18.242
118	120	98.506	61.064	120	118	-98.495	-61.047
120	121	55.247	34.244	121	120	-55.241	-34.236
122	123	128.782	79.896	123	122	-128.764	-79.867

NAME	STATION	10	20	40	60	80	100
300 601	300 601	61	61	200 601	400 601	61	61
300 602	300 602	61	61	200 602	400 602	61	61
300 603	300 603	61	61	200 603	400 603	61	61
300 604	300 604	61	61	200 604	400 604	61	61
300 605	300 605	61	61	200 605	400 605	61	61
300 606	300 606	61	61	200 606	400 606	61	61
300 607	300 607	61	61	200 607	400 607	61	61
300 608	300 608	61	61	200 608	400 608	61	61
300 609	300 609	61	61	200 609	400 609	61	61
300 610	300 610	61	61	200 610	400 610	61	61
300 611	300 611	61	61	200 611	400 611	61	61
300 612	300 612	61	61	200 612	400 612	61	61
300 613	300 613	61	61	200 613	400 613	61	61
300 614	300 614	61	61	200 614	400 614	61	61
300 615	300 615	61	61	200 615	400 615	61	61
300 616	300 616	61	61	200 616	400 616	61	61
300 617	300 617	61	61	200 617	400 617	61	61
300 618	300 618	61	61	200 618	400 618	61	61
300 619	300 619	61	61	200 619	400 619	61	61
300 620	300 620	61	61	200 620	400 620	61	61
300 621	300 621	61	61	200 621	400 621	61	61
300 622	300 622	61	61	200 622	400 622	61	61
300 623	300 623	61	61	200 623	400 623	61	61
300 624	300 624	61	61	200 624	400 624	61	61
300 625	300 625	61	61	200 625	400 625	61	61
300 626	300 626	61	61	200 626	400 626	61	61
300 627	300 627	61	61	200 627	400 627	61	61
300 628	300 628	61	61	200 628	400 628	61	61
300 629	300 629	61	61	200 629	400 629	61	61
300 630	300 630	61	61	200 630	400 630	61	61
300 631	300 631	61	61	200 631	400 631	61	61
300 632	300 632	61	61	200 632	400 632	61	61
300 633	300 633	61	61	200 633	400 633	61	61
300 634	300 634	61	61	200 634	400 634	61	61
300 635	300 635	61	61	200 635	400 635	61	61
300 636	300 636	61	61	200 636	400 636	61	61
300 637	300 637	61	61	200 637	400 637	61	61
300 638	300 638	61	61	200 638	400 638	61	61
300 639	300 639	61	61	200 639	400 639	61	61
300 640	300 640	61	61	200 640	400 640	61	61
300 641	300 641	61	61	200 641	400 641	61	61

123	124	109.996	68.236	124	123	-109.977	-68.208
124	125	77.465	48.059	125	124	-77.425	-47.998
125	126	73.702	45.691	126	125	-73.699	-45.686
126	127	56.810	35.219	127	126	-56.802	-35.207
127	128	28.607	17.733	128	127	-28.603	-17.726
128	129	14.994	9.293	129	128	-14.994	-9.292

13. Gerakan *scroll* ke bawah untuk melihat tampilan hasil rugi daya antar saluran setelah optimasi.



GAMBAR 4-15 TAMPILAN HASIL RUGI DAYA ANTAR SALURAN SETELAH OPTIMASI

Pada gambar 4-15 memperlihatkan hasil rugi daya antar saluran yang diakibatkan rugi-rugi saluran, dimana setelah dilakukan optimasi terjadi penurunan rugi daya, Tabel 4-10 memperlihatkan nilai rugi daya tiap saluran setelah optimasi.

200-04	100000	100	100	000000	000000	000000	000000	000000
200-05	50000	500	500	000000	000000	000000	000000	000000
200-06	200000	200	200	000000	000000	000000	000000	000000
200-07	500000	500	500	000000	000000	000000	000000	000000
200-08	500000	500	500	000000	000000	000000	000000	000000

versus depth from three radiogenic isotope systems derived at least moderately well

Digitized by srujanika@gmail.com

YANGTZE RIVER TIGER AND HUMAN RELATIONSHIP IN CHINESE LITERATURE

Digitized by srujanika@gmail.com

gyakorlatban valós igényeket követően megfelelően kialakították az összes igényt, így a működésben a legfontosabb igényeket teljesítve, de a működésben előforduló körülbelül 10%-os hibákat is elkerülve.

```

3us=[1.00000 0.00000 0.00000 0.00000 0.00000 0.00000 0.00000 0.00000 1;
-----%
% absV sudV Pgen Qgen Qload Qload Sup Type Bus
-----%
TypeParam=2; jika pu TypeParam=1 jika ohm TypeParam=2
base=(Vbase*Vconst)/Zbase;
Zbase=(Vbase*Vconst)*Z/(Pbase*Pconst);
Pconst=1000;
Pbase=100.00;
Vconst=1000;
Vbase=20.00;
clic

```

PEMASUKAN DATA

```

lisp();
lisp([jumlah literasi = num2str(lie)]);
lisp([jumlah Rugi-Rugi = num2str(Rr), kVA]);
lisp([jumlah Pembebanan = num2str(SumL), kVA]);
lisp([jumlah Pemanganitian = num2str(SumG), kVA]);
lisp();
lisp();
end
end
for j=1:Nbus
    x=imag(Z(i,j));
    if x~=0
        S=[j real(RugiIS(ij)) imag(RugiIS(ij))];
        fprintf('%.3.0f %.3.0f %.8.3f %.8.3f\n',S);
    end
end

```

1.00000 0.00000 0.00000 0.00000 60.58800	37.54907	0.00000 3;
1.00000 0.00000 0.00000 0.00000 87.76250	54.39031	0.00000 3;
1.00000 0.00000 0.00000 0.00000 92.53100	57.34556	0.00000 3;
1.00000 0.00000 0.00000 0.00000 72.70900	45.06099	0.00000 3;
1.00000 0.00000 0.00000 0.00000 0.00000	0.00000	0.00000 3;
1.00000 0.00000 0.00000 0.00000 84.91500	52.62559	0.00000 3;
1.00000 0.00000 0.00000 0.00000 102.43350	63.48258	0.00000 3;
1.00000 0.00000 0.00000 0.00000 0.00000	0.00000	0.00000 3;
1.00000 0.00000 0.00000 0.00000 41.14000	25.49628	0.00000 3;
1.00000 0.00000 0.00000 0.00000 53.24400	32.99767	0.00000 3;
1.00000 0.00000 0.00000 0.00000 0.00000	0.00000	0.00000 3;
1.00000 0.00000 0.00000 0.00000 101.08200	62.64500	0.00000 3;
1.00000 0.00000 0.00000 0.00000 88.33200	54.74326	0.00000 3;
1.00000 0.00000 0.00000 0.00000 0.00000	0.00000	0.00000 3;
1.00000 0.00000 0.00000 0.00000 54.87600	34.00909	0.00000 3;
1.00000 0.00000 0.00000 0.00000 125.36650	77.69518	0.00000 3;
1.00000 0.00000 0.00000 0.00000 0.00000	0.00000	0.00000 3;
1.00000 0.00000 0.00000 0.00000 0.00000	0.00000	0.00000 3;
1.00000 0.00000 0.00000 0.00000 40.75750	25.25923	0.00000 3;
1.00000 0.00000 0.00000 0.00000 53.43950	33.11883	0.00000 3;
1.00000 0.00000 0.00000 0.00000 91.69800	56.82932	0.00000 3;
1.00000 0.00000 0.00000 0.00000 128.26500	79.49151	0.00000 3;
1.00000 0.00000 0.00000 0.00000 81.32800	50.40257	0.00000 3;
1.00000 0.00000 0.00000 0.00000 86.81050	53.80032	0.00000 3;
1.00000 0.00000 0.00000 0.00000 0.00000	0.00000	0.00000 3;
1.00000 0.00000 0.00000 0.00000 74.64700	46.26206	0.00000 3;
1.00000 0.00000 0.00000 0.00000 113.17750	70.14111	0.00000 3;
1.00000 0.00000 0.00000 0.00000 0.00000	0.00000	0.00000 3;
1.00000 0.00000 0.00000 0.00000 62.08400	38.47621	0.00000 3;
1.00000 0.00000 0.00000 0.00000 31.28000	19.38560	0.00000 3;
1.00000 0.00000 0.00000 0.00000 0.00000	0.00000	0.00000 3;
1.00000 0.00000 0.00000 0.00000 77.47750	48.01624	0.00000 3;
1.00000 0.00000 0.00000 0.00000 48.39900	29.99501	0.00000 3;
1.00000 0.00000 0.00000 0.00000 124.27000	77.01563	0.00000 3;
1.00000 0.00000 0.00000 0.00000 0.00000	0.00000	0.00000 3;
1.00000 0.00000 0.00000 0.00000 0.00000	0.00000	0.00000 3;
1.00000 0.00000 0.00000 0.00000 85.85850	53.21032	0.00000 3;
1.00000 0.00000 0.00000 0.00000 0.00000	0.00000	0.00000 3;
1.00000 0.00000 0.00000 0.00000 51.40800	31.85982	0.00000 3;
1.00000 0.00000 0.00000 0.00000 51.94350	32.19169	0.00000 3;
1.00000 0.00000 0.00000 0.00000 76.16000	47.19973	0.00000 3;
1.00000 0.00000 0.00000 0.00000 76.03250	47.12071	0.00000 3;
1.00000 0.00000 0.00000 0.00000 0.00000	0.00000	0.00000 3;
1.00000 0.00000 0.00000 0.00000 26.12900	16.19330	0.00000 3;
1.00000 0.00000 0.00000 0.00000 0.00000	0.00000	0.00000 3;
1.00000 0.00000 0.00000 0.00000 17.70550	10.97288	0.00000 3;

s

:

1.00000 0.00000 0.00000 0.00000 0.00000	0.00000 0.00000 3;
1.00000 0.00000 0.00000 0.00000 49.48700	30.66929 0.00000 3;
1.00000 0.00000 0.00000 0.00000 73.37200	45.47188 0.00000 3;
1.00000 0.00000 0.00000 0.00000 117.04500	72.53798 0.00000 3;
1.00000 0.00000 0.00000 0.00000 32.45300	20.11256 0.00000 3;
1.00000 0.00000 0.00000 0.00000 0.00000	0.00000 0.00000 3;
1.00000 0.00000 0.00000 0.00000 28.78950	17.84213 0.00000 3;
1.00000 0.00000 0.00000 0.00000 31.68800	19.63846 0.00000 3;
1.00000 0.00000 0.00000 0.00000 57.63000	35.71587 0.00000 3;
1.00000 0.00000 0.00000 0.00000 68.00850	42.14788 0.00000 3;
1.00000 0.00000 0.00000 0.00000 68.07650	42.19003 0.00000 3;
1.00000 0.00000 0.00000 0.00000 89.35200	55.37540 0.00000 3;
1.00000 0.00000 0.00000 0.00000 0.00000	0.00000 0.00000 3;
1.00000 0.00000 0.00000 0.00000 0.00000	0.00000 0.00000 3;
1.00000 0.00000 0.00000 0.00000 85.28050	52.85211 0.00000 3;
1.00000 0.00000 0.00000 0.00000 0.00000	0.00000 0.00000 3;
1.00000 0.00000 0.00000 0.00000 33.02250	20.46551 0.00000 3;
1.00000 0.00000 0.00000 0.00000 38.16500	23.65254 0.00000 3;
1.00000 0.00000 0.00000 0.00000 95.57400	59.23145 0.00000 3;
1.00000 0.00000 0.00000 0.00000 90.60150	56.14977 0.00000 3;
1.00000 0.00000 0.00000 0.00000 0.00000	0.00000 0.00000 3;
1.00000 0.00000 0.00000 0.00000 26.01000	16.11955 0.00000 3;
1.00000 0.00000 0.00000 0.00000 80.65650	49.98641 0.00000 3;
1.00000 0.00000 0.00000 0.00000 92.08900	57.07164 0.00000 3;
1.00000 0.00000 0.00000 0.00000 43.39250	26.89226 0.00000 3;
1.00000 0.00000 0.00000 0.00000 0.00000	0.00000 0.00000 3;
1.00000 0.00000 0.00000 0.00000 37.48500	23.23112 0.00000 3;
1.00000 0.00000 0.00000 0.00000 36.94100	22.89398 0.00000 3;
1.00000 0.00000 0.00000 0.00000 0.00000	0.00000 0.00000 3;
1.00000 0.00000 0.00000 0.00000 55.78550	34.57275 0.00000 3;
1.00000 0.00000 0.00000 0.00000 21.99800	13.63314 0.00000 3;
1.00000 0.00000 0.00000 0.00000 50.86400	31.52268 0.00000 3;
1.00000 0.00000 0.00000 0.00000 46.02750	28.52528 0.00000 3;
1.00000 0.00000 0.00000 0.00000 0.00000	0.00000 0.00000 3;
1.00000 0.00000 0.00000 0.00000 73.36350	45.46661 0.00000 3;
1.00000 0.00000 0.00000 0.00000 36.50750	22.62532 0.00000 3;
1.00000 0.00000 0.00000 0.00000 30.53200	18.92203 0.00000 3;
1.00000 0.00000 0.00000 0.00000 5.99250	3.71382 0.00000 3;
1.00000 0.00000 0.00000 0.00000 5.21050	3.22918 0.00000 3;
1.00000 0.00000 0.00000 0.00000 90.77150	56.25512 0.00000 3;
1.00000 0.00000 0.00000 0.00000 0.00000	0.00000 0.00000 3;
1.00000 0.00000 0.00000 0.00000 59.55950	36.91166 0.00000 3;
1.00000 0.00000 0.00000 0.00000 49.01100	30.37429 0.00000 3;
1.00000 0.00000 0.00000 0.00000 0.00000	0.00000 0.00000 3;
1.00000 0.00000 0.00000 0.00000 78.93100	48.91704 0.00000 3;
1.00000 0.00000 0.00000 0.00000 109.77750	68.03398 0.00000 3;

```

1.00000 0.00000 0.00000 0.00000 28.15200 17.44704 0.00000 3;
1.00000 0.00000 0.00000 0.00000 21.30100 13.20117 0.00000 3;
1.00000 0.00000 0.00000 0.00000 0.00000 0.00000 0.00000 3;
1.00000 0.00000 0.00000 0.00000 23.68950 14.68143 0.00000 3;
1.00000 0.00000 0.00000 0.00000 67.82150 42.03199 0.00000 3;
1.00000 0.00000 0.00000 0.00000 47.71050 29.56831 0.00000 3;
1.00000 0.00000 0.00000 0.00000 56.33800 34.91516 0.00000 3;
1.00000 0.00000 0.00000 0.00000 49.13850 30.45331 0.00000 3;
1.00000 0.00000 0.00000 0.00000 0.00000 0.00000 0.00000 3;
1.00000 0.00000 0.00000 0.00000 29.43550 18.24248 0.00000 3;
1.00000 0.00000 0.00000 0.00000 43.24800 26.80270 0.00000 3;
1.00000 0.00000 0.00000 0.00000 55.24150 34.23561 0.00000 3;
1.00000 0.00000 0.00000 0.00000 50.28600 31.16446 0.00000 3;
1.00000 0.00000 0.00000 0.00000 18.76800 11.63136 0.00000 3;
1.00000 0.00000 0.00000 0.00000 32.51250 20.14944 0.00000 3;
1.00000 0.00000 0.00000 0.00000 3.72300 2.30731 0.00000 3;
1.00000 0.00000 0.00000 0.00000 16.88950 10.46717 0.00000 3;
1.00000 0.00000 0.00000 0.00000 28.19450 17.47338 0.00000 3;
1.00000 0.00000 0.00000 0.00000 13.60850 8.43379 0.00000 3;
1.00000 0.00000 0.00000 0.00000 14.99400 9.29245 0.00000 3];

```

%-----

[Nbus,Beban,Cap]=DecodeBus(Bus);

%-----

from	to	R	X	Lc	tr	absPh	SudPh
------	----	---	---	----	----	-------	-------

%-----

```

Sal=[1 2 0.39006 0.59627 0.00000 0.00000 0.00000 10000.00 1000.00;
2 3 0.17872 0.27321 0.00000 0.00000 0.00000 10000.00 1000.00;
2 4 0.14130 0.21600 0.00000 0.00000 0.00000 10000.00 1000.00;
4 5 0.06944 0.10615 0.00000 0.00000 0.00000 10000.00 1000.00;
5 6 0.09868 0.15085 0.00000 0.00000 0.00000 10000.00 1000.00;
5 7 0.13216 0.20203 0.00000 0.00000 0.00000 10000.00 1000.00;
7 8 0.07588 0.11600 0.00000 0.00000 0.00000 10000.00 1000.00;
8 9 0.14420 0.22043 0.00000 0.00000 0.00000 10000.00 1000.00;
9 10 0.09030 0.13804 0.00000 0.00000 0.00000 10000.00 1000.00;
9 11 0.19846 0.30338 0.00000 0.00000 0.00000 10000.00 1000.00;
11 12 0.00887 0.01356 0.00000 0.00000 0.00000 10000.00 1000.00;
11 13 0.08873 0.13563 0.00000 0.00000 0.00000 10000.00 1000.00;
8 14 0.03792 0.05797 0.00000 0.00000 0.00000 10000.00 1000.00;
14 15 0.04219 0.06449 0.00000 0.00000 0.00000 10000.00 1000.00;
15 16 0.23833 0.36433 0.00000 0.00000 0.00000 10000.00 1000.00;
15 17 0.13539 0.20697 0.00000 0.00000 0.00000 10000.00 1000.00;
17 18 0.26959 0.41212 0.00000 0.00000 0.00000 10000.00 1000.00;
18 19 0.22865 0.34953 0.00000 0.00000 0.00000 10000.00 1000.00;
17 20 0.24234 0.37046 0.00000 0.00000 0.00000 10000.00 1000.00;
20 21 0.35265 0.53908 0.00000 0.00000 0.00000 10000.00 1000.00;
21 22 0.08303 0.12692 0.00000 0.00000 0.00000 10000.00 1000.00;

```

22	23	0.02311	0.03532	0.00000	0.00000	0.00000	10000.00	10000.00;
23	24	0.03127	0.04780	0.00000	0.00000	0.00000	10000.00	10000.00;
24	25	0.04753	0.07265	0.00000	0.00000	0.00000	10000.00	10000.00;
25	26	0.04660	0.07123	0.00000	0.00000	0.00000	10000.00	10000.00;
26	27	0.01241	0.01896	0.00000	0.00000	0.00000	10000.00	10000.00;
27	28	0.02090	0.03195	0.00000	0.00000	0.00000	10000.00	10000.00;
28	29	0.03096	0.04733	0.00000	0.00000	0.00000	10000.00	10000.00;
29	30	0.15253	0.23317	0.00000	0.00000	0.00000	10000.00	10000.00;
30	31	0.01983	0.03031	0.00000	0.00000	0.00000	10000.00	10000.00;
31	32	1.25759	1.92245	0.00000	0.00000	0.00000	10000.00	10000.00;
32	33	0.02834	0.04332	0.00000	0.00000	0.00000	10000.00	10000.00;
33	34	0.06209	0.09492	0.00000	0.00000	0.00000	10000.00	10000.00;
34	35	0.30339	0.46379	0.00000	0.00000	0.00000	10000.00	10000.00;
35	36	0.04445	0.06795	0.00000	0.00000	0.00000	10000.00	10000.00;
36	37	0.14862	0.22719	0.00000	0.00000	0.00000	10000.00	10000.00;
37	38	0.09666	0.14776	0.00000	0.00000	0.00000	10000.00	10000.00;
38	39	0.09826	0.15202	0.00000	0.00000	0.00000	10000.00	10000.00;
39	40	0.07963	0.12172	0.00000	0.00000	0.00000	10000.00	10000.00;
40	41	0.08113	0.12403	0.00000	0.00000	0.00000	10000.00	10000.00;
41	42	0.01714	0.02620	0.00000	0.00000	0.00000	10000.00	10000.00;
42	43	0.29414	0.44964	0.00000	0.00000	0.00000	10000.00	10000.00;
43	44	0.23408	0.35783	0.00000	0.00000	0.00000	10000.00	10000.00;
44	45	0.01957	0.02992	0.00000	0.00000	0.00000	10000.00	10000.00;
45	46	0.02915	0.04455	0.00000	0.00000	0.00000	10000.00	10000.00;
46	47	0.06900	0.10548	0.00000	0.00000	0.00000	10000.00	10000.00;
47	48	0.01672	0.02556	0.00000	0.00000	0.00000	10000.00	10000.00;
48	49	0.42917	0.65606	0.00000	0.00000	0.00000	10000.00	10000.00;
49	50	0.18835	0.28793	0.00000	0.00000	0.00000	10000.00	10000.00;
50	51	0.22184	0.33913	0.00000	0.00000	0.00000	10000.00	10000.00;
51	52	0.49115	0.75081	0.00000	0.00000	0.00000	10000.00	10000.00;
52	53	0.21840	0.33913	0.00000	0.00000	0.00000	10000.00	10000.00;
53	54	0.01584	0.02421	0.00000	0.00000	0.00000	10000.00	10000.00;
54	55	0.36226	0.55379	0.00000	0.00000	0.00000	10000.00	10000.00;
55	56	0.40817	0.62396	0.00000	0.00000	0.00000	10000.00	10000.00;
56	57	0.10499	0.16476	0.00000	0.00000	0.00000	10000.00	10000.00;
57	58	0.46377	0.70986	0.00000	0.00000	0.00000	10000.00	10000.00;
58	59	0.10778	0.16476	0.00000	0.00000	0.00000	10000.00	10000.00;
59	60	0.05586	0.08538	0.00000	0.00000	0.00000	10000.00	10000.00;
60	61	0.35166	0.53757	0.00000	0.00000	0.00000	10000.00	10000.00;
61	62	0.18566	0.28381	0.00000	0.00000	0.00000	10000.00	10000.00;
62	63	0.22579	0.34516	0.00000	0.00000	0.00000	10000.00	10000.00;
63	64	0.04702	0.07188	0.00000	0.00000	0.00000	10000.00	10000.00;
64	65	0.06516	0.09961	0.00000	0.00000	0.00000	10000.00	10000.00;
65	66	0.26130	0.39945	0.00000	0.00000	0.00000	10000.00	10000.00;
66	67	0.04575	0.06993	0.00000	0.00000	0.00000	10000.00	10000.00;
67	68	0.02311	0.03532	0.00000	0.00000	0.00000	10000.00	10000.00;

68	69	0.09977	0.15252	0.00000	0.00000	0.00000	0.00000	10000.00	1000.00;
69	70	0.12895	0.19712	0.00000	0.00000	0.00000	0.00000	10000.00	1000.00;
69	71	0.03123	0.04774	0.00000	0.00000	0.00000	0.00000	10000.00	1000.00;
71	72	0.07854	0.12006	0.00000	0.00000	0.00000	0.00000	10000.00	1000.00;
72	73	0.01298	0.01985	0.00000	0.00000	0.00000	0.00000	10000.00	1000.00;
73	74	0.26495	0.40503	0.00000	0.00000	0.00000	0.00000	10000.00	1000.00;
74	75	0.11716	0.17909	0.00000	0.00000	0.00000	0.00000	10000.00	1000.00;
75	76	0.11564	0.17678	0.00000	0.00000	0.00000	0.00000	10000.00	1000.00;
76	77	0.01061	0.01622	0.00000	0.00000	0.00000	0.00000	10000.00	1000.00;
77	78	0.12235	0.18704	0.00000	0.00000	0.00000	0.00000	10000.00	1000.00;
78	79	0.19645	0.30031	0.00000	0.00000	0.00000	0.00000	10000.00	1000.00;
79	80	0.08664	0.13244	0.00000	0.00000	0.00000	0.00000	10000.00	1000.00;
79	81	0.01298	0.01985	0.00000	0.00000	0.00000	0.00000	10000.00	1000.00;
77	82	0.04740	0.07247	0.00000	0.00000	0.00000	0.00000	10000.00	1000.00;
82	83	0.10974	0.16776	0.00000	0.00000	0.00000	0.00000	10000.00	1000.00;
83	84	0.20772	0.31754	0.00000	0.00000	0.00000	0.00000	10000.00	1000.00;
84	85	0.12905	0.19728	0.00000	0.00000	0.00000	0.00000	10000.00	1000.00;
84	86	0.26574	0.40623	0.00000	0.00000	0.00000	0.00000	10000.00	1000.00;
86	87	0.05441	0.08318	0.00000	0.00000	0.00000	0.00000	10000.00	1000.00;
87	88	0.41759	0.63836	0.00000	0.00000	0.00000	0.00000	10000.00	1000.00;
88	89	0.00453	0.00693	0.00000	0.00000	0.00000	0.00000	10000.00	1000.00;
89	90	0.21423	0.32750	0.00000	0.00000	0.00000	0.00000	10000.00	1000.00;
90	91	0.30620	0.46808	0.00000	0.00000	0.00000	0.00000	10000.00	1000.00;
89	92	0.13858	0.21184	0.00000	0.00000	0.00000	0.00000	10000.00	1000.00;
92	93	0.04597	0.07027	0.00000	0.00000	0.00000	0.00000	10000.00	1000.00;
92	94	0.08380	0.12810	0.00000	0.00000	0.00000	0.00000	10000.00	1000.00;
94	95	0.08181	0.12505	0.00000	0.00000	0.00000	0.00000	10000.00	1000.00;
77	96	0.19725	0.30154	0.00000	0.00000	0.00000	0.00000	10000.00	1000.00;
96	97	0.23945	0.36604	0.00000	0.00000	0.00000	0.00000	10000.00	1000.00;
97	98	0.25052	0.38297	0.00000	0.00000	0.00000	0.00000	10000.00	1000.00;
97	99	0.46016	0.70344	0.00000	0.00000	0.00000	0.00000	10000.00	1000.00;
99	100	0.44160	0.67506	0.00000	0.00000	0.00000	0.00000	10000.00	1000.00;
100	101	0.25864	0.39537	0.00000	0.00000	0.00000	0.00000	10000.00	1000.00;
101	102	0.69325	1.05975	0.00000	0.00000	0.00000	0.00000	10000.00	1000.00;
76	103	0.29393	0.44932	0.00000	0.00000	0.00000	0.00000	10000.00	1000.00;
103	104	0.04073	0.06226	0.00000	0.00000	0.00000	0.00000	10000.00	1000.00;
104	105	0.05277	0.08066	0.00000	0.00000	0.00000	0.00000	10000.00	1000.00;
105	106	0.54961	0.84017	0.00000	0.00000	0.00000	0.00000	10000.00	1000.00;
106	107	0.10520	0.16081	0.00000	0.00000	0.00000	0.00000	10000.00	1000.00;
107	108	0.05506	0.08417	0.00000	0.00000	0.00000	0.00000	10000.00	1000.00;
107	109	0.43253	0.66120	0.00000	0.00000	0.00000	0.00000	10000.00	1000.00;
109	110	0.26033	0.39796	0.00000	0.00000	0.00000	0.00000	10000.00	1000.00;
104	111	0.16071	0.24567	0.00000	0.00000	0.00000	0.00000	10000.00	1000.00;
111	112	0.19112	0.29216	0.00000	0.00000	0.00000	0.00000	10000.00	1000.00;
112	113	0.15434	0.23594	0.00000	0.00000	0.00000	0.00000	10000.00	1000.00;
113	114	0.34359	0.52524	0.00000	0.00000	0.00000	0.00000	10000.00	1000.00;

```

114 115 0.23993 0.36677 0.00000 0.00000 0.00000 0.00000 10000.00 1000.00;
115 116 0.38870 0.59420 0.00000 0.00000 0.00000 0.00000 10000.00 1000.00;
116 117 0.23515 0.35947 0.00000 0.00000 0.00000 0.00000 10000.00 1000.00;
117 118 0.09331 0.14264 0.00000 0.00000 0.00000 0.00000 10000.00 1000.00;
118 119 0.84147 1.28633 0.00000 0.00000 0.00000 0.00000 10000.00 1000.00;
118 120 0.32119 0.49100 0.00000 0.00000 0.00000 0.00000 10000.00 1000.00;
120 121 0.48634 0.74346 0.00000 0.00000 0.00000 0.00000 10000.00 1000.00;
112 122 0.23202 0.35469 0.00000 0.00000 0.00000 0.00000 10000.00 1000.00;
122 123 0.30445 0.46540 0.00000 0.00000 0.00000 0.00000 10000.00 1000.00;
123 124 0.41263 0.63078 0.00000 0.00000 0.00000 0.00000 10000.00 1000.00;
124 125 1.77780 2.71768 0.00000 0.00000 0.00000 0.00000 10000.00 1000.00;
125 126 0.17157 0.26228 0.00000 0.00000 0.00000 0.00000 10000.00 1000.00;
126 127 0.67436 1.03088 0.00000 0.00000 0.00000 0.00000 10000.00 1000.00;
127 128 1.44465 2.20840 0.00000 0.00000 0.00000 0.00000 10000.00 1000.00;
128 129 0.16953 0.25916 0.00000 0.00000 0.00000 0.00000 10000.00 1000.00];

```

```

[Sal,Z,Lc,Tr,Ts,CapSal]=DecodeSaluran(Nbus,Sal);
obal Gen
mulai=cputime;
obal Nbus Z Lc Tr Ts Cap Beban Pbase Zbase TypSal CapSal;
[ite,Alir,Sg,SL,SumG,SumL,Rr,RugiS,Jq]=NewtonPolar(Nbus,Z,Lc,Tr,Ts,Cap,Beban,Pbase,Z
se,TypSal);
sesai=cputime;
ang=selesai-mulai;
bus]=CetakNewtonRaphson(Nbus,ite,selang,V,Sg,SL,Z,Alir,RugiS,SumG,SumL,Rr);
p(' ');

```

Data Objective Function

```

ap=6;
ow=3661;
med=3150;
ea=1829;
ow=0.4;
ed=0.7;
a=1.0;
ea=0.4;
med=0.24;
ow=0.2;
260;
obal Ncap Tlow Tmed Tpea kLow kMed kPea keLow keMed kePea kp;
daV=1000000000000;
daS=1000;
daCap=10000000;
obal lamdaV lamdaS lamdaCap;
Bank=100;
nk=8;

```

```

costFixed =1.0;
costSwitch=1.3;
global Nbank CapBank costFixed costSwitch;
cupycar=5;
growth=0.21;
global capyear growth;
Vmin=0.95;
Vmax=1.05;
global Vmin Vmax;
%-----
%
%Inisial loadflow sebelum penempatan kapasitor
[Plow,Pmed,Ppea]=InitLoadflow;
global Plow Pmed Ppea;
%Parameter Genetic Algorithm
MaxGen=10;
PopSize=10;
Pcross=0.75;
Param=Nbus;
Length=10;
Ka=1000000000;
Ncap=6;
[sen]=Sensitivitas;
global sen;
[aMin,aAvg,aMax,BestChrom]=Genetic(MaxGen,PopSize,Pcross, ...
    Param,Length,Ka,Ncap);
[fitness]=ObjFuncAkhir(BestChrom);

```

LAMPIRAN 2

- 1. BERITA ACARA UJIAN SKRIPSI**
- 2. LEMBAR PERSETUJUAN PERBAIKAN SKRIPSI**
- 3. FORM-FORM**
- 4. JURNAL**



INSTITUT TEKNOLOGI NASIONAL MALANG
FAKULTAS TEKNOLOGI INDUSTRI
JURUSAN TEKNIK ELEKTRO S-1
KONSENTRASI TEKNIK ENERGI LISTRIK

BERITA ACARA UJIAN SKRIPSI
FAKULTAS TEKNOLOGI INDUSTRI

1. Nama Mahasiswa : Aris Dian S
2. NIM : 01.12.152
3. Jurusan : Teknik Elektro
4. Konsentrasi : Teknik Energi Listrik
5. Judul Skripsi : ANALISIS PENEMPATAN DAN KAPASITAS KAPASITOR PADA JARINGAN DISTRIBUSI PRIMER 20 kV TYPE RADIAL DENGAN MENGGUNAKAN METODE HYBRID MICROGENETICS ALGORITHMS DAN FUZZY LOGIC DI GI. PAKIS MALANG

Dipertahankan dihadapan Majelis Penguji Skripsi Jenjang Strata Satu (S-1)
pada:

Hari : Senin
Tanggal : 17 Maret 2008
Dengan Nilai : 72 (B+) *Yay*

Panitia Ujian Skripsi



Ketua Majelis Penguji

Ir. Mochtar Asroni, MSME
NIP.Y.1018100036

Sekretaris Majelis Penguji

Ir. Yudi Limpraptono, MT
NIP.Y.1039500274

Anggota Penguji

Penguji Pertama



Ir. Teguh Herbasuki, MT
NIP.P.1038900209

Penguji Kedua



Ir. Widodo Pudji Muljanto, MT
NIP.Y. 1028700171



INSTITUT TEKNOLOGI NASIONAL MALANG
FAKULTAS TEKNOLOGI INDUSTRI
JURUSAN TEKNIK ELEKTRO S-1
KONSENTRASI TEKNIK ENERGI LISTRIK

PERSETUJUAN PERBAIKAN SKRIPSI

Dari hasil ujian skripsi Jurusan Teknik Elektro jenjang strata satu (S-1) yang diselenggarakan pada :

Hari : Senin
Tanggal : 17 Maret 2008

Telah dilakukan perbaikan skripsi oleh :

1. Nama : ARIS DIAN SUSANTO
2. NIM : 01.12.152
3. Jurusan : Teknik Elektro
4. Konsentrasi : Teknik Energi Listrik
5. Judul Skripsi : ANALISIS PENEMPATAN DAN KAPASITAS KAPASITOR PADA JARINGAN DISTRIBUSI PRIMER 20 KV TYPE RADIAL MENGGUNAKAN METODE *HYBRID MICROGENETIC ALGORITHMS DAN FUZZY LOGIC* DI GI. PAKIS, MALANG

Perbaikan meliputi :

No	Materi Perbaikan	Ket
1.	Judul	
2.	Abstrak	
3.	Perbaikan faktor daya (hal 24)	

Anggota Pengujii

Ir. Teguh Herbasuki, MT
NIP. P.1038900209

Dosen Pembimbing I

Ir. H. Choirul Saleh, MT
NIP. Y. 1018800190

Dosen Pembimbing II

Ir. Diojo Priatmono, MT
NIP. Y. 1018500107

FORMULIR BIMBINGAN SKRIPSI

Nama : ARIS DIAN S
Nim : 01.12.152
Masa Bimbingan : 19 JANUARI 2008 s/d 19 JULI 2008
Judul Skripsi : ANALISIS PENEMPATAN DAN KAPASITAS KAPASITOR PADA JARINGAN DISTRIBUSI PRIMER 20 kV TYPE RADIAL MENGGUNAKAN METODE *HYBRID MICROGENETIC ALGORITHMS DAN FUZZY LOGIC* DI GI PAKIS, MALANG

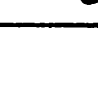
No.	Tanggal	Uraian	Paraf Pembimbing
1.	13-08-2007	ACC BAB I & II	CS
2.	11-02-2008	BAB III. PERIKSA KEMBALI YANG SUDAH DIKOREKSI MENGENAI BAHASA	CS
3.	19-02-2008	PERBAIKI BAB IV TENTANG DATA-DATA YANG AKAN DIANALISA	CS
4.	20-02-2008	BUKTIKAN BAHWA PENEMPATAN KAPASITOR YANG BAIK ADA PADA BUS YG SUDAH DIPILIH	CS
5.	22-02-2008	ACC SEMINAR HASIL	CS
6.			
7.			
8.			
9.			
0.			

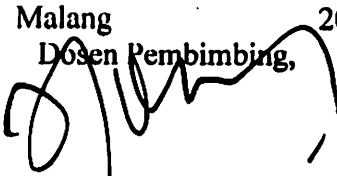
Malang 2008
Dosen Pembimbing,


Ir. H. Choirul Saleh, MT
Nip. Y.1018800190

FORMULIR BIMBINGAN SKRIPSI

Nama : ARIS DIAN S
Nim : 01.12.152
Masa Bimbingan : 19 JANUARI 2008 s/d 19 JULI 2008
Judul Skripsi : ANALISIS PENEMPATAN DAN KAPASITAS KAPASITOR PADA JARINGAN DISTRIBUSI PRIMER 20 kV TYPE RADIAL MENGGUNAKAN METODE *HYBRID MICROGENETIC ALGORITHMS DAN FUZZY LOGIC* DI GI PAKIS, MALANG

No.	Tanggal	Uraian	Paraf Pembimbing
1.			
2.			
3.			
4.			
5.			
6.			
7.			
8.			
9.			
10.			

Malang 2008
Dosen Pembimbing,

Ir. Djojo Priatmono, MT
Nip. V.1018500107



INSTITUT TEKNOLOGI NASIONAL
FAKULTAS TEKNOLOGI INDUSTRI
JURUSAN TEKNIK ELEKTRO

Formulir Perbaikan Ujian Skripsi

Dalam pelaksanaan Ujian Skripsi Janjang Strata 1 Jurusan Teknik Elektro Konsentasi T. Energi Listrik / T. Elektronika, maka perlu adanya perbaikan skripsi untuk mahasiswa :

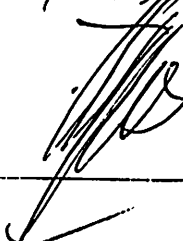
NAMA : ARIS DIAN S

NIM : 0112 152

Perbaikan meliputi :

- ~ Judul
- ~ Abstrak
- ~ Perbaikan faktor daya (hal 24)

Malang, 17-03-08

()



PERMOHONAN PERSETUJUAN SKRIPSI

Tangat tanda tangan dibawah ini :

Nama : Aris Dian Susanto
NIM : 01.12.162
Semester : 2 (sebelas)
Fakultas : Teknologi Industri
Jurusan : Teknik Elektro S-1
Konsentrasi : Teknik Elektronika, Teknik Energi Listrik
Alamat :

Dengan ini kami mengajukan permohonan untuk mendapatkan persetujuan untuk membuat **SKRIPSI Tingkat Sarjana**. Untuk melengkapi permohonan tersebut, bersama kami lampirkan persyaratan-persyaratan yang harus dipenuhi.
Adapun persyaratan-persyaratan pengambilan **SKRIPSI** adalah sebagai berikut :

1. Telah melaksanakan semua praktikum sesuai dengan konsentrasinya (.....)
2. Telah lulus dan menyerahkan Laporan Praktek Kerja (.....)
3. Telah lulus seluruh mata kuliah keahlian (MKB) sesuai konsentrasinya (.....)
4. Telah menempuh mata kuliah ≥ 134 sks dengan IPK ≥ 2 dan tidak ada nilai E (.....)
5. Telah mengikuti secara aktif kegiatan seminar skripsi yang diadakan Jurusan (.....)
6. Memenuhi persyaratan administrasi (.....)

Demikian permohonan ini untuk mendapatkan penyelesaian lebih lanjut dan atas perhatiannya kami ucapkan terima kasih.

Telah diteliti kebenaran data tersebut diatas
Recording Teknik Elektro

(.....
Amis. D.S.)

Malang,/200
Pemohon

(.....
Amis. D.S.)

Disetujui
Ketua Jurusan Teknik Elektro

Ir. F. Yudi Limpraptono MT
NIP. P. 1039500274

Mengetahui
Dosen Wali

(.....
Ir. f. Sudhi Limpraptono, MT)

Catatan:
Bagi mahasiswa yang telah memenuhi persyaratan mengambil SKRIPSI agar membuat proposal dan mendapat persetujuan dari Ketua Jurusan/Sekretaris Jurusan T. Elektro S-1

1. IPK 3,54 = 2,64
2. 134
3. - M. Teknic / tegangan Akus Tinggi \rightarrow E

PT. PLN (PERSERO)

DISTRIBUSI JAWA TIMUR

AREA PELAYANAN & JARINGAN MALANG



Certificate No.: **QSC**
00475

: 0341 - 326034 (Hunting)
: 211

Facsimile : 0341 - 362046

Nomor : 1982 /330/APJ-MLG/2007
Surat Sdr.No : ITN-351/III.TA-2/2/2007
Lampiran : -
Perihal : Survey

Malang, 24 Nopember 2007

Kepada
ITN Malang
Fakultas Teknologi Industri
Jl. Raya Karanglo, Km 2
Di
Malang

Dengan Hormat,
Menindaklanjuti surat saudara ITN-351/III.TA-2/2/2007 Tanggal 20 November 2007 perihal tersebut di atas, maka dengan ini kami beritahukan bahwa pada prinsipnya kami tidak keberatan / mengizinkan mahasiswa atas nama :

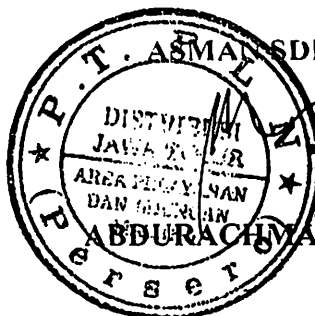
Aris Dian S

Nim : 01.12.152

Untuk melaksanakan Survey di PT. PLN (Persero) Area Pelayanan dan Jaringan Malang mulai tanggal 03 Desember 2007 sampai dengan 03 Januari 2008 dengan catatan PLN hanya memberikan data yang **TIDAK BERSIFAT RAHASIA**.

Sebelumnya diminta agar mahasiswa tersebut mengisi surat pernyataan, dilengkapi dengan pas photo ukuran 3 X 4 Cm di SDM & Administrasi PT. PLN (Persero) Area Pelayanan dan Jaringan Malang.

Demikian agar menjadikan maklum.



ABDURACHMAN SHODIQ, SH. ST. M. Kn

Tembusan:

1. Supervisor APJ terkait
2. Manajer UP, UJ & UPJ terkait

BANKS OF AUTOMATIC CAPACITORS IN ELECTRICAL DISTRIBUTION SYSTEMS: A HIBRID ALGORITHM OF CONTROL

Helton do Nascimento Alves

Universidade Federal de Campina Grande

Programa do Pós-graduação de Engenharia Elétrica

Av. Aprígio Veloso 882

CEP 58109-970 – Campina Grande PB

C. P.: 10053

Benemar Alencar de Souza

Universidade Federal de Campina Grande

Programa do Pós-graduação de Engenharia Elétrica

Av. Aprígio Veloso 882

CEP 58109-970 – Campina Grande PB

C. P.: 10053

Helvio Alves Ferreira

Universidade Federal de Campina Grande

Programa de Pós-graduação de Engenharia Elétrica

Av. Aprigio Veloso 882

CEP 58109-970 – Campina Grande PB

C. P.: 10053

ABSTRACT

A microgenetic algorithm (MGA) in conjunction with fuzzy logic (FL) is proposed for solving the capacitor placement problem. The objective function includes economic savings obtained by energy loss reduction and peak power loss reduction in contrast with acquisition and installation costs of fixed and switched capacitors. Voltage constraints are considered. A simple and efficient method for load flow solution is used, with acceptable CPU time, even for very extensive distribution systems under full load. An approximate load-duration curve divided in different load levels is used to compute energy losses. A 104-bus test system is presented and the results are compared to the solution given by another search technique. This comparison confirms the efficiency of the proposed method which makes it promising to solve complex problems of capacitor placement in distribution feeders.

KEYWORDS: Reactive power control, power distribution networks, microgenetic algorithms, fuzzy logic.

RESUMO

Um algoritmo microgenético aliado a lógica fuzzy é proposto para alocação e programação ótimos de bancos de capacitores em redes de distribuição de energia elétrica. A função objetivo utilizada leva em conta a economia com redução de perdas de potência e de energia e os investimentos associados. Os custos dos bancos de capacitores são separados conforme o tipo (fixos ou chaveados). Limites de tensão de barra são restrições consideradas. O cálculo de fluxo de carga é feito pelo método da soma de potência, uma técnica iterativa simples e eficiente que apresenta tempo de processamento reduzido mesmo nos casos de alimentadores muito extensos e carregados. Para o cálculo das perdas de energia é utilizado a curva de duração de carga segmentada em diferentes níveis. O algoritmo proposto é aplicado a um alimentador de 104 barras e comparado com outras técnicas de otimização. Os resultados confirmam sua eficiência e o credenciam como promissor na solução de problemas complexos de compensação reativa em redes de distribuição de energia elétrica.

PALAVRAS-CHAVE: Controle de potência reativa, sistemas de distribuição, algoritmo microgenético, lógica fuzzy.

Este Submetido em 13/11/02

Revisão em 13/09/04;

Revisão em 16/11/04;

Este sob recomendação do Ed. Assoc. Prof. Glauco Taranto

INTRODUCTION

Reactive compensation in distribution networks is a typical maximization problem of great technical and economic importance which has been faced over five decades. It consists in determining installation points and operation control program of a certain number of capacitor banks in order to maximize the profits obtained from system losses reduction. The extent of the benefits from capacitor banks installation depends on electrical network configuration and load states. The net profit corresponds to the amount that is saved by reducing losses after discounting the investment in equipment acquisition and its installation.

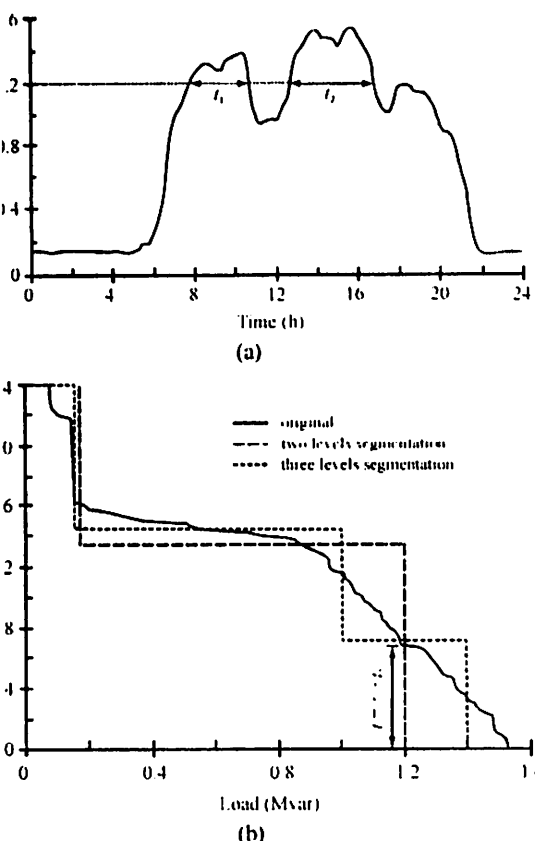


Figure 1 - Demand in function of time: (a) load curve, (b) load duration curves.

There are diverse methods for reactive compensation problem solution depending on the available computational resources. Ng et al. (2000) classify these methods into four groups: analytical, numerical programming, heuristic and artificial intelligence based. Analytical methods, as proposed in Neagle & Samson (1956) and Cook (1959), preceded the availability of digital computer. A dynamic programming technique to find capacitor sizes as discrete variables was a pioneering work in Duran (1968). Later, Fawzi et al (1983), Baldick & Wu (1990) and others. Heuristic methods, as in Mantovani & Garcia (1995) and

Cris et al (1997), are based on rules developed through intuition, experience and judgment. Artificial intelligence based methods have emerged more recently, covering a wide range, according to the specific technique applied. For instance, simulated annealing technique was applied in Rao et al (1996), artificial neural networks were employed in Hsu & Huang (1995) and fuzzy logic was used in Salama et al (2000). Genetic algorithms were presented in Kagan & Oliveira (1998), and Ferreira et al (2002).

In this work, an optimization method based in MGA and FL is proposed and is employed to dimension, locate and control capacitor banks in distribution networks, attempting a compromise between precision and execution time in obtaining global optimal results. The reactive compensation problem is formulated in section 2. Section 3 shows the proposed solution method after a brief review of fundamental concepts relating to microgenetic algorithms and fuzzy logic. In section 4 the proposed method is evaluated by comparing it to others by confronting the results of a common application.

2 PROBLEM FORMULATION

Capacitor bank size, location and control are determined based on reactive load curve, that is to say, on reactive demand versus time plot. In practice, demand is the mean power (or current) during a specific time interval denominated as demand interval. Therefore, demand varies with time and depends on the point on the feeder where measurements are taken. In ordinary situations, only load curves taken at substation bus (known as feeder load curves) are available and, eventually, curves taken at some special load buses are available too. Thus, individual load curves are considered, almost always, identical to the feeder load curve in order to define the operation control program of switched capacitor banks. This hypothesis simplifies the problem excessively, however it does not affect the final result in a significant way, especially when many loads, all of same type, like residential, commercial, rural or industrial, are supplied (Gonen, 1986).

The load curve can be substituted, advantageously, by the corresponding load duration curve, as in figure 1. The convenience of using the load duration curve is due to the fact of it is monotonically decreasing, once it is defined by the points (t, p) such that t is the integral of all the infinitesimal times during which the demand is higher or equal to p . For instance, it is shown how long the demand is higher than 1.2 Mvar in Fig. 1a (times t_1 and t_2). In Fig. 1b, the time associated with 1.2 Mvar in the original curve is exactly the sum of t_1 and t_2 . The load duration function is usually approximated by a two steps ladder function corresponding to the schedules of pick and out of pick. Using more steps can yield better approximation, although this implies larger effort. In this work, three steps functions

were used. Thus, calculation of energy losses requires calculation of power losses in pick, intermediate and light load levels. Segmented load duration curves are superposed on the original ones as shown in figure 1b.

In the reactive compensation problem, the objective function, to be maximized, represents the economic savings obtained with capacitor banks installation in the distribution network. The capacitor banks usually have nominal capacities that are multiple integers of a standard unit (50, 150 or 300 kvar, for example). On the other hand, the points of possible installation are the feeder buses and therefore, they also form a finite group. Thus, this is evidently a combinatorial optimization problem, whose functional representation is as

$$f(s) = k_p \Delta P_m(s) + \sum_{i=1}^3 \Delta P_i(s) k_e i - C(n_f(s)) k_f + n_c(s) k_c \quad (1)$$

where:

k_p is a group of parameters that defines the installation points and the control of the capacitor banks;

ΔP_i is the peak power loss cost in \$/kW;

$k_e i$ is the energy loss cost for each level ($i = 1, 2, 3$) in \$/kWh;

k_f is the fixed capacitors cost (\$/kvar) that may aggregate capital, labor, components and accessories costs;

k_c is the switched capacitor bank cost (\$/kvar) that may aggregate capital, labor, pieces and accessories costs;

n_f is the number of fixed capacitors;

n_c is the number of switched capacitor banks;

C is the power per module of capacitor bank (kvar);

ΔP_m is the peak power loss reduction in kW;

ΔP_i is the power losses reduction at each level ($i = 1, 2, 3$), in kW;

Δt_i is the annual duration of each load level ($i = 1, 2, 3$), in hours.

Any problem solution (not necessarily optimal) is defined by a group of values, s , corresponding to the location and capacity of the banks energized during the time corresponding to load duration of each level. An interesting solution is the one for which the value expressed by equation 1) is maximum, subject to voltage restrictions. That is to say, bus voltages should be within a range of acceptable values.

3 SOLUTION METHODS

In order to find the optimal solution of reactive compensation problem as formulated in the previous section, we propose a two-step method. Initially, using

fuzzy logic, all distribution system buses are appraised to determine the ones which are more adequate to have banks installed on them. Thus, the search space, or the number of viable solutions to be considered in the next step by a microgenetic algorithm, is decreased. The microgenetic algorithm uses the binary code to represent solutions.

3.1 Microgenetic Algorithms

The genetic algorithms, proposed in Holland (1975), are inspired in the species evolution and according to Darwin's theory they develop an extensive search in order to find the strongest and the most well adapted chromosome to its environment. The best group of genes is selected by crossover and mutation from others. Genetic algorithms are simple, robust, flexible and able to find the global optimal solution. They are especially useful in finding solution to problems for which other optimization techniques encounter difficulties (Goldberg, 1989). A basic genetic algorithm is constituted by a random creation of an initial population and a cycle of three stages namely:

- Evaluation of each chromosome;
- Chromosomes selection for reproduction and
- Genetic manipulation to create a new population, which includes crossover and mutation.

Each time this cycle is completed, it is said that a generation has occurred. The selection of chromosomes for reproduction and mutation are made by random mechanisms. Besides, the survival criterion is based on a fitness function that evaluates the adaptation of each chromosome from population to the environmental conditions. The disadvantage of GAs is the high processing or execution time associated. That is due to its evolutionary conception, based on random processes that make the algorithm quite slow. However, different methods for reducing processing time have already been proposed, such as more appropriate choice of solution coding and reduction of search space using the specialist knowledge. One of these means is known as microgenetic algorithms, whose processing time is considerably smaller as shown in Delfanti et al (2000) and Chakravarty et al (2001).

Most of GAs produce bad results when populations are small, because insufficient information is processed about the problem and as a consequence premature convergence to a local optimum happens. Population size generally varies from 30 to 300 individuals. In contrast, MGAs explore the possibility to work with small populations (from 5 to 20 individuals usually) in order to reduce the processing time. From a genetic point of view it is known that frequent reproductions inside a small population may disseminate hereditary diseases rarely found in large populations. On the other hand, small populations can act as natural laboratories where desirable genetic characteristics quickly can emerge. In MGAs mutations are unnecessary

use after a certain number of generations the best chromosome is maintained and the rest substituted by randomly generated ones. But, on the other hand, it requires definition of some preventive strategy against loss of diversity in population.

Fuzzy Logic

Fuzzy logic allows a computational representation of tacistic knowledge about a specific problem. Ever since when Zadeh proposed FL, it has been extensively used in several areas of knowledge to solve mainly control and optimization problems (Zadeh, 1965). In power systems area, it has been applied for stability studies (Liu et al., 1992), to solve the problem of electrical energy supply re-establishment (Delbem et al., 1998), for reactive power compensation in distribution network (Salama et al., 2000) among others. Fuzzy logic has also shown good results when combined with genetic algorithms, as presented in Su et al. (1999) and Herrera & Lozano (2001).

Finally, it is necessary to identify the main variables that influence on the decisions to be taken and quantify its relevance levels. A relationship function establishes the profile of these variables by expressing the compatibility degree of each one of them with previously defined information. According to these situations, rules are established and necessary actions to a solution are determined. A process called defuzzification, which consists in all variables interaction through stochastic techniques, obtains final values. In the capacitor allocation problem, rules are established to determine the convenience of installing a bank installed in a particular bus or not. The bus voltage and maximum economy are used to establish the group of fuzzy rules. Relationship functions of these variables are shown in figure 2. Those variables indicate lack of capacitive reactive in the distribution network and determine the allocation sensibility degree of buses, as shown in figure 3. The summary of fuzzy rules is presented in table 1.

A Hybrid Method

In our studies and experiments with several methods presented in the literature, we propose still another method which consists of the following steps:

Calculate bus voltages, power and energy losses considering the original feeder configuration, or in other words, without any capacitor which is supposed to be installed;

Calculate the maximum savings obtained with capacitor installation at one single bus;

Calculate the maximum savings obtained with capacitor installation at several buses;

4. Apply fuzzy heuristics to determine a subgroup of buses in which capacitor banks installation would be more advantageous;
5. Adopt the economic savings expressed in equation (1) as fitness function;

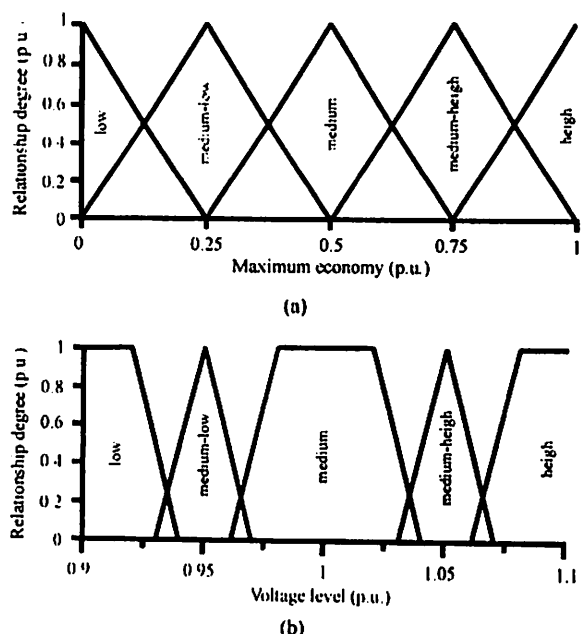


Figure 2 - Input relationship functions: (a) maximum economy, (b) bus voltage.

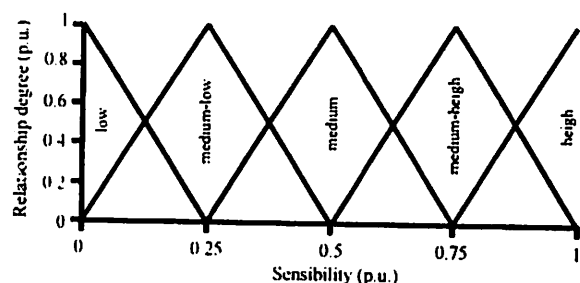


Figure 3 - Relationship function of bus allocation sensibility.

Table 1 - Summary of Fuzzy Decision Rules

Voltage ↴	low	medium low	medium	medium high	high
economy ↴	low	medium low	medium	medium high	high
Low	medium low	medium low	low	low	low
medium low	medium	medium low	medium low	low	low
Medium	medium	medium	medium low	low	low
medium high	medium high	medium high	medium	medium low	low
High	high	medium high	medium	medium low	medium low

- Based on the subgroup determined in step 4, randomly create a n size initial population and go to step 8;
- Based on the subgroup determined in step 4, randomly create an $n-1$ population and add to it the best chromosome from the last generation;
- Determine the fitness function of each chromosome;
- Choose m chromosomes from the present population using the tournament method. Make crossover operation using pairs of chromosomes from this subgroup;
- Calculate the adaptation index of the new chromosomes;
- Repeat steps 9 and 10 until the population reaches an homogeneous degree previously chosen;
- Find the best chromosome, keep it and discard the others;
- Repeat steps 7 to 12 g times or until the best individual is identified after h consecutive generations.

The number m of chromosomes chosen for crossover is previously determined, as are g and h . The tournament method is a process in which a population subgroup is randomly formed and from which the most well adapted individual is elected for crossover.

In this work, information from each bus is coded in one byte. The lower two bits are related to the peak load level, the next three to the intermediate load level and the last three to the light load level. An example of chromosome is shown in figure 4. At bus 1 there is no capacitor bank; at bus 2 there are two switched banks in intermediate load and three in peak load; at bus n there are two fixed banks, five switched banks in intermediate load and two switched banks in peak load.

The genes that are copied from parents to their off springs are randomly chosen as shown in figure 5. A logical mask is applied to one of the parents and the complementary

bus 1			bus 2			bus n		
1	2	3	1	2	3	1	2	3
0	0	0	0	0	0	0	1	0

Figure 4 - The chromosome structure.

Parent 1			Child 1		
1	2	3	1	2	3
1	0	1	0	1	1
T	T	F	T	F	F
Parent 2			Child 2		
1	2	3	1	2	3
0	1	1	1	0	0
F	F	T	T	T	T

Figure 5 - The reproduction mechanism used.

mask is applied to the other one.

4 APPLICATION

The hybrid method is applied to a 104-bus feeder whose line and load data can be found in tables 2 and 3. This system is derived from a portion of a distribution system from the northeast of Brazil. The line voltage in substation is 13.8 kV and the power factor is 0.96 for all loads. A five-

Table 2 – 104-Branch System Data

Section from	c a to b	Length. (km)	Load (kVA)	Section from	c a to b	length. (km)	Load (kVA)
SI: 4512	1	0,278	45,0	3878	3920	2	0,03
4512 3440	1	0,384	75,0	3920	3921	2	0,036
3440 897	1	0,08	75,0	3934	2995	2	0,068
897 3690	2	0,178	30,0	2995	3780	2	0,108
3440 4009	1	0,246	45,0	3780	4388	2	0,21
4009 895	2	0,072	75,0	4388	4702	2	0,134
895 896	2	0,194	45,0	4388	3995	2	0,254
896 4010	2	0,06	75,0	3995	3996	2	0,184
4009 4522	1	0,198	75,0	2989	879	3	0,186
4522 1236	2	0,182	75,0	879	3738	2	0,13
1236 2519	2	0,124	75,0	879	4206	3	0,076
1236 4931	2	0,068	45,0	4206	1553	2	0,074
4931 4932	2	0,128	75,0	4206	876	3	0,106
4522 4460	1	0,442	300,0	876	877	2	0,118
4460 3741	1	0,042	75,0	877	878	2	0,148
3741 3813	2	0,132	45,0	878	1264	2	0,148
3741 889	2	0,154	75,0	876	3431	3	0,498
889 4414	2	0,106	75,0	3431	829	3	0,02
4414 2676	2	0,072	45,0	3431	827	3	0,086
2676 891	2	0,342	75,0	827	828	3	0,098
3741 887	1	0,148	0,0	828	825	3	0,126
887 886	2	0,248	75,0	825	822	3	0,106
887 884	1	0,062	45,0	822	4013	2	0,17
884 883	1	0,196	0,0	4013	824	2	0,198
883 2511	2	0,038	75,0	822	821	3	0,106
2511 2514	2	0,018	75,0	821	4211	3	0,1
2514 2943	2	0,072	112,5	4211	2941	3	0,048
2943 3410	2	0,034	75,0	2941	820	2	0,316
3410 3429	2	0,182	112,5	2941	819	2	0,15
3429 2525	2	0,072	75,0	4211	816	3	0,158
2525 2526	2	0,078	75,0	816	817	2	0,11
2526 2524	2	0,062	30,0	817	4023	2	0,064
3429 3430	2	0,04	75,0	816	807	3	0,038
3430 2527	2	0,02	75,0	807	1275	3	0,322
2527 2528	2	0,09	75,0	1275	4766	3	0,156
2528 2529	2	0,066	75,0	4766	4275	2	0,348
883 882	1	0,144	45,0	4275	4276	2	0,14
882 1594	3	0,09	30,0	4276	4684	2	0,148
1594 881	3	0,058	30,0	4684	4278	2	0,196
881 2725	3	0,162	0,0	4278	4279	2	0,306
2725 4839	2	0,254	15,0	807	808	2	0,048
4839 3130	2	0,034	225,0	808	809	2	0,146
2725 4220	3	0,19	45,0	809	810	2	0,164
4220 880	3	0,044	0,0	810	811	2	0,08
880 4441	3	0,084	300,0	811	813	2	0,138
4441 2989	3	0,094	0,0	813	4924	2	0,142
2989 2992	2	0,224	150,0	813	812	2	0,068
2992 3934	2	0,054	0,0	813	815	2	0,236
3934 3877	2	0,07	0,0	815	3110	2	0,188
3877 4085	2	0,148	15,0	815	4262	2	0,2
3877 3878	2	0,108	150,0	4262	4263	2	0,204
				4263	4264	2	0,22
							75,0

planning horizon is considered. A yearly load growth 1.0% is assumed. Table 4 shows the load levels according to the loads presented in table 2), number of in operation and energy loss cost. The annual cost of power loss (k_p) is \$ 260/kW/year. Modules of 50 kvar form the capacitor banks. The costs are indicated in 5. For validation purposes the problem is also solved genetic algorithm and a microgenetic one.

A basic genetic algorithm uses a 300-chromosome population with crossover and mutation rates of 60% and respectively. The microgenetic algorithms crossover is 80% and their populations are constituted by 20 chromosomes (without FL) and 10 chromosomes (with FL).

The proposed hybrid method gave the result shown in table 4 it is being compared to the results given by the other techniques. Fixed capacitors (type 1) predominate in three solutions and are followed by type 3 switched capacitors. Type 3 are the ones that operate only during intervals.

Incorporating fuzzy logic in the microgenetic algorithm makes it more efficient because it reaches a better result in small processing time. From the 104 buses, 57 are previously selected for possible capacitor banks installation (%). This pre-selection is related to the feeder configuration and its load conditions.

Table 3 - Impedance Values of Conductors

Cab	Conductor	R (ohms/km)	X (ohms/km)
1	336.4 MCM	0,1904	0,3766
2	4 CA	1,5325	0,4705
3	4/0 CAA	0,3687	0,4574

Table 4 - Load Levels, Hours of Operation and Energy Loss Cost

Load Level			Hours of Operation			Energy Loss Cost (\$/kWh)		
L ₁	L ₂	L ₃	T ₁	T ₂	T ₃	K _{F1}	K _{F2}	K _{F3}
1,0	0,7	0,4	1829	3150	3661	0,2	0,24	0,4

Table 5 - Capacitor Banks Cost

type	cost (\$/kvar)
fixed	1.0
switched	1.3

Table 6 - The Solutions Given by Different Methods

algorithm	economic savings	processing time, min	capacitors
			1 2 3
Basic genetic	\$23.571	68	7 1 5
Microgenetic	\$23.574	14	7 1 5
Hybrid	\$23.588	8,5	7 1 4

5 CONCLUSION

The genetic algorithms are very appropriate to solve the size, location and control problems of capacitor banks in distribution networks. However, microgenetic algorithms are more efficient to solve this kind of problem because they are faster and give nearly global optimal solutions.

The microgenetic algorithms become even more efficient when specialist's knowledge about the problem is included. This is possible by using fuzzy logic. In this way, it is possible to reduce the search space and consequently decrease the execution time, increasing the chance to reach the global optimal solution.

Currently, the hybrid method is being applied to longer feeders and the relationship functions are being tuned. The results obtained from these new studies confirm the efficiency of the method and make it promising in the solution of complex reactive compensation problems in electrical distribution networks.

REFERENCES

- Baldick, R. and F.F. Wu, (1990). Efficient Integer Optimization Algorithms for Optimal Coordination of Capacitors and Regulators. EUA, *IEEE Transactions on Power Systems*, Vol. 5, No. 3, pp. 805-812.
- C Su, C.T., G.R. Lii, C.C. Tsai. (2001). Optimal Capacitor Allocation Using Fuzzy Reasoning and Genetic Algorithms for Distribution Systems, *Mathematical and Computer Modelling*, EUA, Vol. 33: pp. 745-757.
- Chakravarty, S., R. Mitra and N. R. Willians. (2001). On the Application of the Microgenetic Algorithm to the Design of Broad-Band Microwave Absorbers Comprising Frequency-Selective Surfaces Embedded in Multilayered Dielectric Media. *IEEE Transactions on Microwave Theory and Techniques*, EUA, Vol. 49, No. 6, pp. 1050-1059.
- Cook, R. F. (1959). Analysis of Capacitor Application as Affected by Load Cycle. *AIEE Transactions*, EUA, Vol. 78, No. 10, pp. 950-957.
- Cris, M., M. M. A. Salama and S. Jayaram. (1997). Capacitor Placement in Distribution Systems Using Heuristic Search Strategies. *IEE Proceedings Generation, Transmission and Distribution*, UK, Vol. 144, No. 2, pp. 225-230.
- Delbem, A. C. B., N.G. Bretts and A. O. Carvalho. (1998). Um Algoritmo de Inteligência Artificial com Heurísticas Fuzzy para Restabelecimento de Energia

- em Sistemas de Distribuição Radiais. *XII Congresso Brasileiro de Automática*, pp. 1703-1708.
- Delfanti, M., P. G. Granelli, P. Marannino and M. Montagna. (2000). Optimal Capacitor Placement Using Deterministic and Genetic Algorithms. *IEEE Transactions on Power Systems*, EUA, Vol. 15, No. 3, pp. 1041-1046.
- Duran, H. (1968). Optimun Number, Location and Size of Shunt Capacitors in Radial Distribution Feeders, A Dynamic Programming Approach. *IEEE Trans. Power Apparatus and Systems*, EUA, Vol. 87, No. 9, pp. 1769-1774.
- Elawzi, T.H., S. M. El-Sobki and M.A. Abdel-Halim. (1983). New Approach for the Aplication of Shunt Capacitors to the Promary Distribution Feeders. *IEEE Trans. Power Apparatus and Systems*, EUA, Vol. 102, No. 1, pp. 10-13.
- Ferreira, H. A., B. A. Souza and H. N. Alves. (2002). Optimal Capacitor in Electrical Distribution Systems Using a Genetic Algorithm, *Latin America IEEE/PES T&D 2002*, São Paulo, 18-22 of march, paper 188.
- Goldberg, D. E. (1989). Genetic Algorithms in Search, Optimization and Machine Learning. Addison-Wesley, 412p.
- Gönen, T. (1986). Electric Power Distribution Systems Engineering, , McGraw-Hill Book Co., New York, 739p.
- Herrera, F. and M. Lozano. (2001). Adaptive Genetic Operators Based on Coevolution with Fuzzy Behaviors. *IEEE Transactions on Evolutionary Computation*, EUA, Vol. 5, No. 2, pp. 149-165.
- Holland, J. H. (1976). Adaptation in Natural and Artificial Systems. University of Michigan Press, 211p.
- Istu, Y. and H. Huang, (1995). Distribution System Service Restoration Using the Artificial Neural Network Approach and Pattern Recognition Method. *IEE Proc. Gener. Transm. Distrib.*, vol. 142, No. 5, pp. 251-256.
- Cagan, N. and C. C. B. Oliveira. (1998). Utilização de algoritmos genéticos para a minimização de perdas em redes de distribuição de energia elétrica, Brasil, *III Congresso Latino Americano de Distribuição de Energia Elétrica*, pp. 587-591.
- Mantovani, J.R.S. and A.V. Garcia. (1995) A Heuristic Method For Reactive Power Planning. *The 1995 IEEE Power Engineering Society Winter Meeting*, EUA, Paper 95 Wm 132-1 Pwrs.
- Neagle, N. M. and D. R. Samson (1956). Loss Reduction from Capacitors Installed on Primary Feeders. *AIEE Transactions*, EUA, Vol. 75, pp. 950-959.
- Ng, H. N. M. M. A. Salama and A. Y. Chikhani. (2000). Classification of Capacitor Allocation Techniques. *IEEE Transactions on Power Delivery*, EUA, Vol. 15, No. 1, pp. 387-392.
- Rao, A. S. G., K. R. Rao and T. Ananthapadmanabha, A.D. Kulkarni. (1996). Knowledge-Based Expert System for Optimal Reactive Power Control in Distribution Systems, *Electrical Power & Energy Systems*, Vol. 18, No. 1, pp. 27-31.
- Salama, M. M. A. and A. Y. Chikhani, H. N. Ng. (2000). Capacitor Allocation by Approximate Reasoning: Fuzzy Capacitor Placement. *IEEE Transactions on Power Delivery*, EUA, Vol. 15, No. 1, pp. 393-398.
- Zadeh, L. A. (1965). Fuzzy Sets, Information and Control, 8:338-353.